

SEP

SERVITÓRIO DE
EDUCACIÓN PÚBLICA



TECNOLÓGICO NACIONAL DE MÉXICO
Instituto Tecnológico de la Laguna

DIVISIÓN DE ESTUDIOS DE POSGRADO E INVESTIGACIÓN

**“Control de marcha del robot humanoide
NAO”**

POR
Ing. Gerardo Manuel Ruiz López

TESIS

**PRESENTADA COMO REQUISITO PARCIAL PARA OBTENER EL
GRADO DE MAESTRO EN CIENCIAS EN INGENIERÍA ELÉCTRICA**

DIRECTOR DE TESIS

Dr. Víctor Adrián Santibáñez Dávila

CODIRECTOR DE TESIS

M. C. Edmundo Javier Ollervides Vázquez

ISSN: 0188-9060



RIITEC: (18)-TMCIE-2015

Torreón, Coahuila, México
Diciembre 2015

SEP

SECRETARÍA DE
EDUCACIÓN PÚBLICA



TECNOLÓGICO NACIONAL DE MÉXICO
Instituto Tecnológico de La Laguna

"2015, Año del Generalísimo José María Morelos y Pavón"

Torreón, Coah., 11/Diciembre/2015

Dependencia: DEPI/CPCIE

Oficio: DEPIJ/CPCIE/236/2015

Asunto: Autorización de impresión
de tesis.

C. Gerardo Manuel Ruiz López

CANDIDATO AL GRADO DE MAESTRO EN CIENCIAS EN INGENIERÍA ELÉCTRICA.

PRESENTE

Después de haber sometido a revisión su trabajo de tesis titulado:

"Control de marcha del robot humanoide NAO"

Habiendo cumplido con todas las indicaciones que el jurado revisor de tesis hizo, se le comunica que se le concede la autorización con número de registro **RIITEC: (18)-TMCIE-2015**, para que proceda a la impresión del mismo.

ATENTAMENTE

EDUCACIÓN TECNOLÓGICA FUENTE DE INNOVACIÓN

DR. JOSÉ LUIS MEZA MEDINA

Jefe de la División de Estudios de Posgrado e Investigación
del Instituto Tecnológico de la Laguna

JLM/RHSR



Bvd. Revolución y Czda. Cuauhtémoc s/n Col. Centro C.P. 27000
Torreón, Coah. Tel. /051313, e-mail: wmaster@itlaguna.edu.mx
www.itlaguna.edu.mx



60-201-002
R03274 Verchino 2014-12-28

Gerardo Manuel Ruiz López, con número de control **M1313062** y habiendo cumplido con todas las correcciones

Dedicatoria

A mi esposa Isamar Martínez Pacheco. A mis padres Gerardo Ruiz y Martha López. A mi familia y amigos quienes de alguna u otra forma me han apoyado y han estado siempre a mi lado.

Agradecimientos

Agradezco al Instituto Tecnológico de La Laguna por hacer posible esta clase de estudios de posgrado. A la DGEST (ahora Tecnológico Nacional de México) por apoyar los proyectos de investigación de los cuales esta tesis forma parte. Al CONACYT por la financiación del proyecto 134534 y además de apoyarme durante este tiempo al otorgarme una beca de estudios.

Agradezco a mi director de tesis Dr. Víctor Adrián Santibáñez Dávila, por su entera confianza y gran apoyo, además de sus valiosos consejos y enseñanzas durante esta etapa. Al Dr. Víctor Samuel de León Gómez por su gran apoyo y amistad durante la realización de este trabajo. Al Dr. José Alfonso Pármases García, quien compartió gran parte de sus conocimientos y experiencias para llevar a cabo este proyecto. A Mi coasesor el MC. Edmundo Javier Oliervides Vázquez por sus comentarios y observaciones que han permitido enriquecer este trabajo.

Quisiera agradecer a todo el personal docente del área de posgrado del Instituto Tecnológico de la Laguna y a todos aquellos investigadores de quienes he aprendido lo bueno y lo malo de esta maravillosa profesión. A todos ellos mi cariño, admiración y respeto.

Agradezco a mis compañeros de posgrado por su amistad, compañerismo con los cuales comparto muchas alegrías, experiencias y consejos.

Agradezco a mi familia quienes han sido pieza fundamental en el transcurso de mi vida. A mis hermanas Itzel Ruiz, Arleth Ruiz, y Nallely Ruiz y muy especialmente a mis padres Gerardo Ruiz y Martha López por todo su cariño y enseñanzas que me han dado en toda mi vida.

Agradezco a mi amiga y esposa Isamar Martínez Pacheco por todo su apoyo, paciencia y comprensión que me ha dado durante este proyecto de vida, pero sobre todo por su amor incondicional y compañerismo.

Finalmente agradezco a DIOS por todas las bendiciones que he recibido durante mi vida.

Resumen

Este trabajo está orientado al estudio de patrones de marcha, modelado y control para la realización del caminado del robot humanoide NAO. Primeramente se realiza el estudio del estado del arte de robots humanoides, el cual sirve de base para el desarrollo de nuevas propuestas de caminado y control. Se presentan los modelos de la cinemática directa e inversa, así como también el modelado dinámico del robot mediante las ecuaciones de Euler Lagrange. Se propone un patrón de marcha, el cual está basado en movimientos translacionales de la pelvis y del pie libre, que especifica un caminado factible del robot NAO. Para la realización del estudio aquí presentado, se desarrolla un diagrama alambre en Matlab. Además, se realiza un control de marcha mediante seguimiento de trayectorias usando un controlador PID, y finalmente se hacen pruebas experimentales con el robot NAO.

Abstract

This work focuses into the survey of gait patterns, modeling and control of walking gaits of the humanoid robot NAO. First, the state of art of humanoid robots is reviewed, which it is useful for the development of new walking and control proposes. The forward and inverse kinematics modeling as well as dynamic modeling by Euler Lagrange equations of the robot are presented. A gait pattern which is based on translational movement of the pelvis and the free foot, which specifies a feasible walked of the NAO is proposed. To carry out the study presented here is developed a wire diagram in Matlab. Moreover, a gait control is performed by path tracking using a PID controller and finally tests are done with the NAO robot.

Índice general

1. Introducción	1
1.1. Antecedentes	2
1.2. Desarrollo de robots humanoides	2
1.3. Locomoción dinámica pasiva	5
1.4. Locomoción dinámica activa	6
1.5. El método de dinámica cero híbrida	7
1.6. Objetivo de la Tesis	7
1.6.1. Objetivos específicos	8
1.7. Contenido de la tesis	9
2. Descripción del robot humanoide NAO	10
2.1. Marcha del robot humanoide NAO	10
2.2. Movimiento	11
2.3. Visión	12
2.4. Audio	13
2.5. Sonares	14
2.6. Conectividad	14
2.7. Parámetros geométricos del robot NAO	14
3. Modelado del robot NAO	16
3.1. Identificación de la cadena cinemática	17
3.2. Modelo cinemático directo	17
3.3. Modelado cinemático inverso de posición	24
3.3.1. Modelo cinemático inverso de posición de los brazos izquierdo y derecho	24
3.3.2. Modelado cinemático inverso de posición de las piernas	28
3.4. Modelo de velocidad y aceleración de las piernas de robot NAO	31
3.5. Modelado dinámico mediante las ecuaciones de Euler-Lagrange	35
4. Patrón de Marcha del Robot NAO	42
5. Control de marcha mediante seguimiento de trayectorias	45
5.1. Ley de control PID	45

ÍNDICE GENERAL

6. Simulaciones	48
7. Evaluación experimental	66
8. Conclusión	75
Bibliografía	78
9. Anexos	83

Índice de figuras

1.1.	Robots bipedos	3
1.2.	Robots Humanoides	4
1.3.	Mecanismo inventado por McGeer	5
1.4.	Robots bípedos	7
1.5.	Robot RABBIT	8
2.1.	Robot NAO	11
2.2.	Descripción del Robot NAO	12
2.3.	Camaras del robot NAO	13
2.4.	Micrófonos del robot NAO	13
2.5.	Sonares del robot NAO	14
2.6.	Parámetros geométricos de los brazos del robot NAO	15
2.7.	Parámetros geométricos del robot NAO	15
3.1.	Marcos asignados a los eslabones del robot NAO	18
3.2.	Diagrama alambre del robot NAO	24
3.3.	Posiciones de los centros de masa del robot NAO	36
3.4.	Modelo geométrico del robot NAO	37
4.1.	Marcos de las piernas en cada apoyo	42
5.1	Diagrama a bloques del control de marcha mediante seguimiento de trayectorias del robot NAO	46
5.2.	Control de seguimiento de trayectorias	47
6.1.	Vista frontal del caminado del robot NAO	50
6.2.	Vista lateral del caminado del robot NAO	50
6.3.	Posiciones articulares de θ_1 a θ_6 durante el caminado del robot NAO	51
6.4.	Posiciones articulares de θ_7 a θ_{12} durante el caminado del robot NAO	51
6.5.	Velocidades articulares de $\dot{\theta}_1$ a $\dot{\theta}_6$ durante el caminado del robot NAO	52
6.6.	Velocidades articulares de $\dot{\theta}_7$ a $\dot{\theta}_{12}$ durante el caminado del robot NAO	52
6.7.	Aceleraciones articulares de $\ddot{\theta}_1$ a $\ddot{\theta}_6$ durante el caminado del robot NAO	53
6.8.	Aceleraciones articulares de $\ddot{\theta}_7$ a $\ddot{\theta}_{12}$ durante el caminado del robot NAO	53

ÍNDICE DE FIGURAS

6.9. Posición articular θ_1 contra la posición deseada θ_{1d} de la pierna durante la tarea se seguimiento.	54
6.10. Posición articular θ_2 contra la posición deseada θ_{2d} de la pierna durante la tarea se seguimiento.	54
6.11. Posición articular θ_3 contra la posición deseada θ_{3d} de la pierna durante la tarea se seguimiento.	54
6.12. Posición articular θ_4 contra la posición deseada θ_{4d} de la pierna durante la tarea se seguimiento.	55
6.13. Posición articular θ_5 contra la posición deseada θ_{5d} de la pierna durante la tarea se seguimiento	55
6.14. Posición articular θ_6 contra la posición deseada θ_{6d} de la pierna durante la tarea se seguimiento	55
6.15. Posición articular θ_7 contra la posición deseada θ_{7d} de la pierna durante la tarea se seguimiento	56
6.16. Posición articular θ_8 contra la posición deseada θ_{8d} de la pierna durante la tarea se seguimiento	56
6.17. Posición articular θ_9 contra la posición deseada θ_{9d} de la pierna durante la tarea se seguimiento	56
6.18. Posición articular θ_{10} contra la posición deseada θ_{10d} de la pierna durante la tarea se seguimiento	57
6.19. Posición articular θ_{11} contra la posición deseada θ_{11d} de la pierna durante la tarea se seguimiento	57
6.20. Posición articular θ_{12} contra la posición deseada θ_{12d} de la pierna durante la tarea se seguimiento	57
6.21. Error de posición articular durante la realización de la tarea de seguimiento $\hat{\theta}_1$	58
6.22. Error de posición articular durante la realización de la tarea de seguimiento $\hat{\theta}_2$	58
6.23. Error de posición articular durante la realización de la tarea de seguimiento $\hat{\theta}_3$	58
6.24. Error de posición articular durante la realización de la tarea de seguimiento $\hat{\theta}_4$	59
6.25. Error de posición articular durante la realización de la tarea de seguimiento $\hat{\theta}_5$	59
6.26. Error de posición articular durante la realización de la tarea de seguimiento $\hat{\theta}_6$	59
6.27. Error de posición articular durante la realización de la tarea de seguimiento $\hat{\theta}_7$	60
6.28. Error de posición articular durante la realización de la tarea de seguimiento $\hat{\theta}_8$	60
6.29. Error de posición articular durante la realización de la tarea de seguimiento $\hat{\theta}_9$	60

ÍNDICE DE FIGURAS

6.30. Error de posición articular durante la realización de la tarea de seguimiento $\hat{\theta}_{10}$	61
6.31. Error de posición articular durante la realización de la tarea de seguimiento $\hat{\theta}_{11}$	61
6.32. Error de posición articular durante la realización de la tarea de seguimiento $\hat{\theta}_{12}$	61
6.33. Par articular τ_1	62
6.34. Par articular τ_2	62
6.35. Par articular τ_3	62
6.36. Par articular τ_4	63
6.37. Par articular τ_5	63
6.38. Par articular τ_6	63
6.39. Par articular τ_7	64
6.40. Par articular τ_8	64
6.41. Par articular τ_9	64
6.42. Par articular τ_{10}	65
6.43. Par articular τ_{11}	65
6.44. Par articular τ_{12}	65
 7.1. Posiciones iniciales del caminado	67
7.2. Patrón de marcha para el caminado del robot	68
7.3. Código en Python 1	69
7.4. Código en Python 2	69
7.5. Código en Python 3	69
7.6. Posiciones articulares de θ_1	70
7.7. Posiciones articulares de θ_2	70
7.8. Posiciones articulares de θ_3	71
7.9. Posiciones articulares de θ_4	71
7.10. Posiciones articulares de θ_5	71
7.11. Posiciones articulares de θ_6	72
7.12. Posiciones articulares de θ_7	72
7.13. Posiciones articulares de θ_8	72
7.14. Posiciones articulares de θ_9	73
7.15. Posiciones articulares de θ_{10}	73
7.16. Posiciones articulares de θ_{11}	73
7.17. Posiciones articulares de θ_{12}	74
7.18. Secuencia de configuraciones del robot NAO durante la ejecución de dos pasos de la marcha con el patrón propuesto	74

Índice de tablas

3.1.	Parámetros Denavit-Hartenberg del las piernas del robot NAO	19
3.2.	Parámetros Denavit-Hartenberg del brazo derecho del robot NAO	19
3.3.	Parámetros Denavit-Hartenberg del brazo Izquierdo del robot NAO	20
3.4.	Parámetros Denavit-Hartenberg de la cabeza del robot NAO	20
3.5.	Valores de los parámetros geométricos de las piernas	20
3.6.	Valores de los parámetros geométricos de los brazos	20
3.7.	Valores de los parámetros geométricos de la cabeza	20
3.8.	Posiciones de los centros de masa de cada eslabón respecto al marco Σ_{tc} unido a la articulación anterior más cercana	38
3.9.	Valores de las masas de los eslabones del robot NAO	38
3.10.	Valores de los tensores de inercias respecto al marco unido al centro de masa de su eslabón	38
6.1.	Parámetros Del Patrón de marcha del robot NAO	49
7.1.	Parámetros Del Patrón de marcha del robot NAO	67

Capítulo 1

Introducción

Durante varios años, la necesidad de construir máquinas capaces de realizar actividades monótonas, de gran precisión o de alto riesgo para los seres, motivó al desarrollo de autómatas con objetivos particulares y características muy distintas a las de los seres humanos, tales como los manipuladores robóticos. Si bien su estudio aún persiste, el propio progreso en la robótica clásica, así como la inquietud por construir mecanismos semejantes a los organismos biológicos y los beneficios que estos implican, han motivado la investigación en robots biológicamente inspirados. Los investigadores, persuadidos por la idea de que en un futuro los robots convivirán con humanos y, por lo tanto, deberán ser capaces de desenvolverse en los mismos entornos, han mantenido gran interés por el desarrollo de robots humanoides. Gracias al impacto de humanoides como ASIMO y HRP-2, a la necesidad de contar con robots capaces de encargarse de tareas donde nuestra sociedad tiene deficiencias y a las aportaciones en el estudio y análisis de la locomoción bípeda humana, el desarrollo de los robots humanoides no ha cesado y ha llevado a la definición de nuevos conceptos y a la generación de nuevos métodos para solucionar problemas de diseño, estabilidad y control de robots humanoides, donde han emergido nuevos desafíos; algunos, incluso, imposibles de resolver usando métodos tradicionales, impulsando la adopción de enfoques multidisciplinarios, que abarcan tanto campos de la ingeniería que van desde la robótica, el control y la electrónica, hasta la inteligencia artificial y la computación gráfica como campos de otras áreas, entre ellas la biología, la psicología y las neurociencias [1]. Mientras las primeras investigaciones en la robótica bípeda y humanoide se enfocaban en la generación de ciclos de marcha que guardaran una estabilidad estática, en la actualidad los temas se han ampliado con el propósito de emplear a los humanoides como robots de servicio, que, en un futuro, transformarán la vida de las personas, realizarán una gran cantidad de tareas en beneficio de la humanidad y ayudarán a resolver problemas sociales y de salud, cuidarán de personas de edad avanzada, ayudarán y asistirán a discapacitados, vigilarán y patrullarán zonas públicas y, además, colaborarán en actividades de la vida cotidiana [1] y [2].

Se espera que los desafíos que implica el desarrollo de la robótica humanoide estimulen el progreso tecnológico; la necesidad de los robots humanoides por contar con sistemas

1. Introducción

mecánicos lo suficientemente sofisticados como para desenvolverse en entornos humanos, incluso interactuar con ellos y emplear sus mismas herramientas, con algoritmos avanzados para la generación de movimientos versátiles y sincronizados, con sistemas inteligentes y esquemas de control robustos que actúen frente a perturbaciones y situaciones imprevistas, y con sistemas artificiales que simulen el comportamiento del cerebro humano. Esto producirá un importante avance científico y tecnológico, además de ampliar el conocimiento que tenemos de nosotros mismos [1] y [2].

La robótica humanoide, al igual que la industria automotriz y de las computadoras, vista como tal, tendrá en el futuro un efecto multiplicador, generando industrias proveedoras y consumidoras que impulsarán el desarrollo de los países que inviertan y se coloquen a la vanguardia de ellas [2]. El desarrollo de robots bípedos y humanoides tiene grandes beneficios y consecuencias, estimula la investigación científica e impulsa el progreso tecnológico, motiva la sinergia entre diversos campos de la ingeniería y de otras ciencias, propone alternativas a problemas sociales y de salud. Los robots humanoides, por la capacidad de adaptarse a entornos humanos así como de emplear sus mismas herramientas, por la capacidad de interacción y convivencia con otros robots y con los seres humanos, además de sus habilidades y destrezas motoras, no solo representan una área de investigación, sino una nueva industria que invierte en su desarrollo, promoviendo su comercialización, tanto de robots de servicio como de entretenimiento.

1.1. Antecedentes

En los últimos 30 años el estudio de la marcha de los robots bípedos ha sido de gran interés para numerosos investigadores, ya que representa un problema complejo. El objetivo principal de este tipo de robots es realizar caminatas estables de manera similar a la marcha humana. En el caso de ambientes con soportes discontinuos, tales como pendientes rocosas, peldaños y escalones en escaleras, es indiscutible pensar que la locomoción más apropiada y versátil es utilizando las piernas. Las piernas permiten evadir discontinuidades del suelo al pasar sobre ellas, además son una opción obvia para la locomoción en ambientes diseñados para los humanos. La motivación de estudiar los robots humanoides en particular surge de diversos intereses sociológicos y comerciales, que van desde el deseo de reemplazar humanos en ocupaciones peligrosas (remoción de minas, inspección en plantas de energía nuclear, intervenciones militares, etc.), hasta la restauración de movimiento en personas discapacitadas (prótesis inferiores controladas dinámicamente, rehabilitación robótica) [3].

1.2. Desarrollo de robots humanoides

En la actualidad existen múltiples prototipos de robots humanoides, con atributos diversos, que han sido presentados a la comunidad científica en foros especializados. El robot

1. Introducción

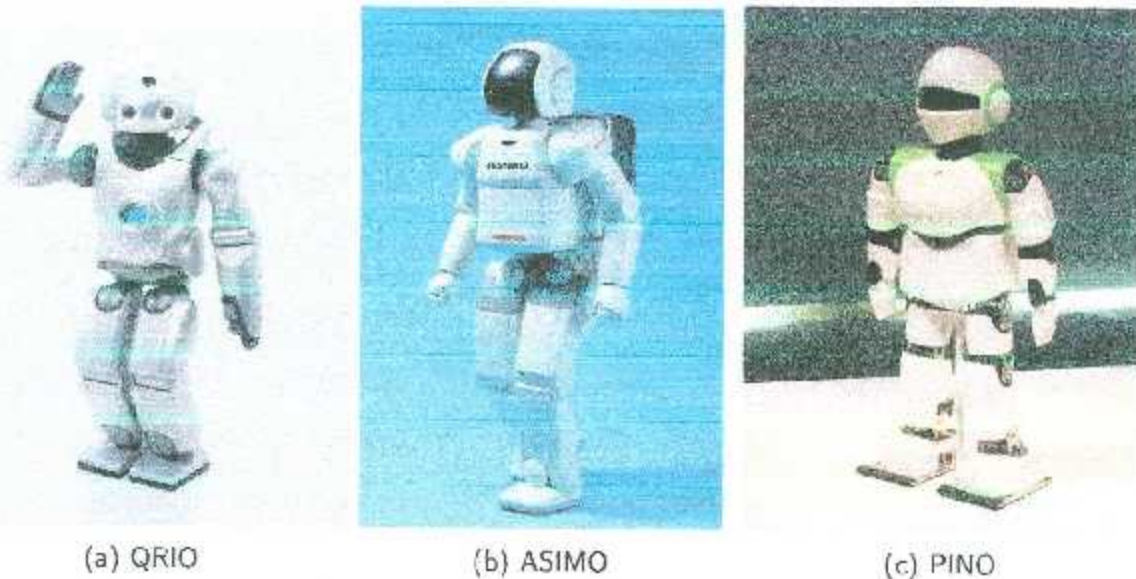


Figura 1.1: Robots bípedos

QRIO de Sony [4] fue diseñado para interactuar con gente en actividades de entretenimiento (ver Figura 1.1a); posee 48 grados de libertad (gdl), de los cuales 4 corresponden al cuello; mide 58 centímetros de altura y pesa aproximadamente 6.5 kg. El robot ASIMO, de la compañía Honda [5], es el robot con el más avanzado desempeño mecánico actualmente; es el primer robot capaz de subir escaleras y correr; tiene 26 gdl (ver Figura 1.1b), mide 120 cm de altura, y pesa aproximadamente 52 kg. El robot PINO [6] es un humanoide para investigación sobre aspectos de percepción y comportamiento, usando múltiples canales de percepción; su altura es equivalente a la de un niño de 1.5 años de edad (70 cm); posee 26 gdl y 4.5 kg (ver Figura 1.1c). El robot HRP-3 [7] es de 30 gdl, 1.54 m de estatura y pesa 58 Kg; es uno de los humanoides más utilizados actualmente en laboratorios de investigación (ver Figura 1.2a).

El robot iCub es un humanoide que se desarrolla en la Unión Europea con la participación de diversas universidades y centros de investigación [8]. Este robot pesa 23 kg, tiene una altura de aproximadamente 90 cm (características equivalentes a las de un niño de 2 años de edad), y cuenta con 53 grados de libertad en total (ver Figura 1.2b). El cuello tiene 3 gdl y los ojos también 3 gdl. Es el humanoide con más movilidad de sus partes que se ha diseñado hasta la fecha. Sus especificaciones se basan en datos anatómicos del ser humano [9], y sus atributos sobre percepción del entorno del robot son probablemente los más avanzados [10]. Un estudio sobre la cinemática de la cabeza y los ojos del robot iCub, fue publicado recientemente [11].

Los progresos que se han alcanzado en el desarrollo de humanoides, como los citados precedentemente, son considerables. En particular, la locomoción de humanoides bípedos ha sido estudiada ampliamente en la literatura científica. Los principales enfoques que han

1. Introducción

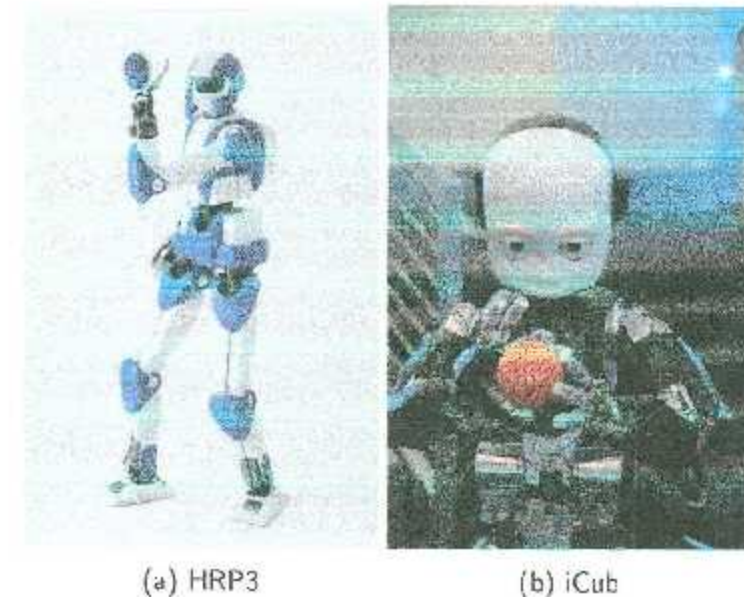


Figura 1.2: Robots Humanoides

sido propuestos se pueden clasificar en tres grupos, dependiendo del control ejercido sobre las articulaciones del robot: locomoción activa, pasiva e híbrida (en trabajos previos se pueden encontrar aplicaciones típicas de estos enfoques [12], [13], [14] y [15]).

En múltiples trabajos sobre la marcha bípeda destaca la aplicación del criterio de estabilidad basado en el punto de momento cero, término acuñado en lengua inglesa como zero moment point ZMP [16]; se trata de un punto de la planta del pie de apoyo en el cual la suma de los momentos producidos por las fuerzas de inercia y la acción de la gravedad sobre los elementos físicos del cuerpo debe anularse con el momento producido por la fuerza reactiva del suelo sobre el pie durante la fase de simple apoyo. Para que un patrón de marcha de un humanoide sea factible, la ruta del ZMP debe permanecer dentro del polígono de sustentación del robot con uno o dos pies; sin embargo, el margen disponible para satisfacer dicha condición es relativamente pequeño desde el punto de vista geométrico [17], toda vez que las plantas de los pies deben ser de un tamaño moderado de tal manera que no se penalice su movilidad. Teniendo en cuenta lo anterior, las características del patrón de movimientos que se le especifique al robot, en términos del desplazamiento del torso y del pie libre, deben contribuir al logro de un nivel adecuado de estabilidad (considerada ésta como la capacidad del bípedo para soportar perturbaciones sin perder el equilibrio) durante la marcha [18], [19].

Algunos autores han tratado el tema de la generación de patrones de marcha de bípedos con base en las características del caminado humano [20] y [21]; otros han sintetizado trayectorias a partir de criterios tales como la estabilidad de la marcha [22], [23], [24], [25] y de la optimización del desempeño del robot, pero con limitaciones diversas. Ch. L. Shih

y colegas [26] sintetizan las trayectorias articulares óptimas de un robot, minimizando el desplazamiento del ZMP, lo cual privilegia su estabilidad; sin embargo, las trayectorias generadas no garantizan una marcha sin impactos, lo cual, desafortunadamente, penaliza la estabilidad y el desempeño mecánico del robot. En otro estudio [27], se proponen funciones polinomiales de 6^o orden para caracterizar los movimientos 3D de la cadera y del pie libre; en este caso sí se consideran restricciones para la prevención de impactos; no obstante, el número de parámetros requeridos por los polinomios es grande, lo cual complica la identificación de sus valores óptimos. Páramo y Núñez [28] propusieron patrones de marcha de tipo cicloidal para un robot plano de 6 gdl, los cuales se aplicaron en otro trabajo [29] para el caminado en el plano sagital de un prototipo experimental, asegurando la prevención de impactos. En esas referencias no se consideraron movimientos espaciales de la pelvis y del pie libre del robot.

1.3. Locomoción dinámica pasiva

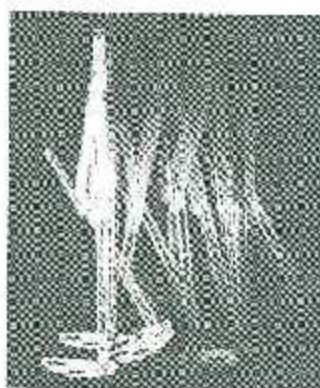


Figura 1.3: Mecanismo inventado por McGeer

El concepto de locomoción pasiva ("Passive Walking"), es decir, sin actuadores, fue introducido por primera vez en 1988 por Tad McGeer [30], [31], [32] y [33], quien estudió y construyó un caminador pasivo.

La virtud de este mecanismo es que no necesita energía externa ni ningún tipo de control para caminar por una pendiente, el movimiento viene impulsado por la energía gravitacional de la bajada. El sistema actúa como dos péndulos acoplados. La pierna soporte es un péndulo invertido, y la pierna oscilante es un péndulo normal unido a la pierna soporte. Con la distribución de masas y longitudes adecuada, se consigue un ciclo límite estable, una trayectoria nominal que se repite. Inicialmente el mecanismo no tenía rodillas, pero una mejora posterior implementó esta articulación manteniendo la estabilidad. El movimiento lateral se inhibe al contar con cuatro piernas.

1. Introducción

McGeer hizo un estudio exhaustivo de la mecánica y dinámica del caminador. Demos-tró las condiciones necesarias para asegurar la estabilidad del ciclo límite. Cabe destacar una diferencia sustancial respecto al algoritmo ZMP, el caminador pasivo describe trayectorias inestables (por definición, se comporta como un péndulo invertido inestable), manteniendo el ciclo límite estable.

También es de gran interés el hecho que los movimientos de este simple mecanismo, que no tienen actuación ni control, tengan una gran semejanza al de los humanos. Esto sugiere la idea de que los humanos aprovechamos las dinámicas propias de nuestro cuerpo para optimizar el consumo energético de la locomoción.

Este descubrimiento abrió una nueva puerta de investigación: robots que aprovechen los mismos conceptos de la locomoción pasiva aplicándolos para conseguir locomoción sobre llanos y subidas, lógicamente añadiendo elementos actuadores y de control. Esto se conoce como caminata dinámica (*dynamical walking*).

1.4. Locomoción dinámica activa

Steve Collins y sus compañeros hicieron interesantes estudios de robots humanoides que usan los conceptos de la locomoción pasiva [34]. Desarrollaron tres robots diferentes, sustituyendo la propulsión gravitacional por actuadores simples.

El bípedo "CORNELL" (ver Figura 1.4a) está basado en el mecanismo pasivo, y propulsado por motores eléctricos y muelles que ayudan al movimiento de los tobillos cuando se levantan los pies. Tiene cinco grados de libertad (dos tobillos, dos rodillas y la cadera), los brazos están unidos mecánicamente a la pierna opuesta. El bípedo "DELFT" (ver Figura 1.4b) tiene una morfología similar, pero con actuación neumática. El último (ver Figura 1.4c) fue desarrollado en el MIT (Massachusetts Institute of Technology). Tiene la peculiaridad de estar controlado mediante un aprendizaje con refuerzo ("reinforcement learning"), que converge automáticamente a la estrategia de control óptima.

El bípedo "CORNELL" está específicamente diseñado para minimizar la energía de propulsión. Mediante una política adecuada en los actuadores se consigue que siempre aporten trabajo positivo y no se uses como disipadores. Este hecho está en contra posición con el problema que presentan muchos otros robots. En el momento en el que el pie impacta en el suelo se disipa energía debido a que el robot está frenando, afectando así al rendimiento, ya que luego hay que recuperarla. Aunque los robots "MIT" y "DELFT" no fueron diseñados específicamente para usar poca energía, ambos tienen las ventajas inherentes de los caminadores pasivos en lo que respecta a bajo consumo.

1. Introducción

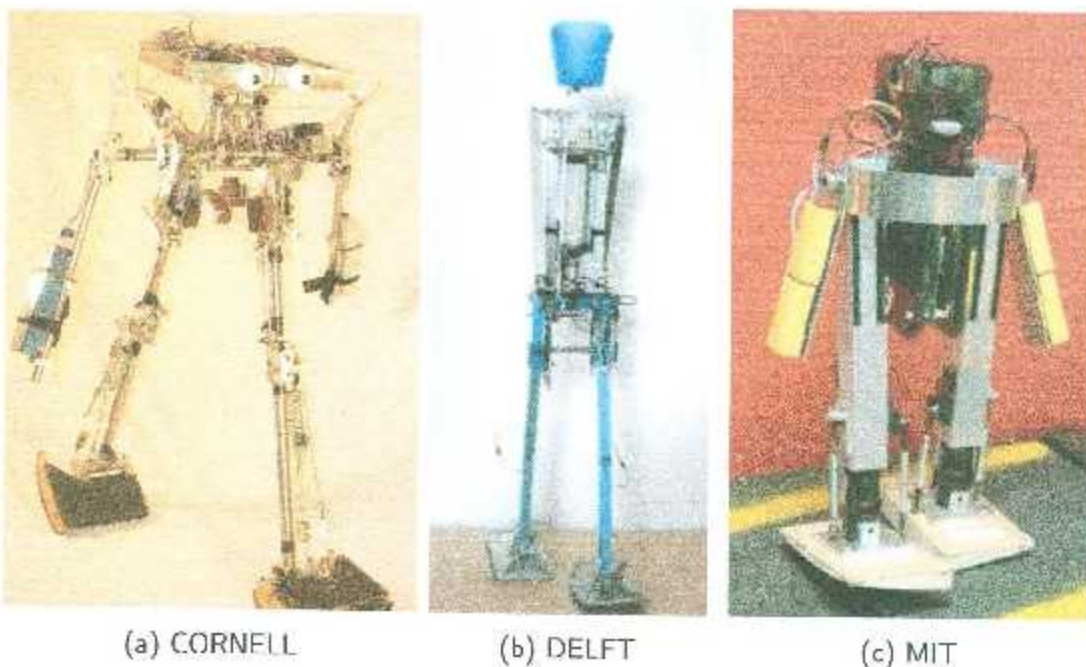


Figura 1.4: Robots bipedos

1.5. El método de dinámica cero híbrida

Una estrategia alternativa para controlar la locomoción bipeda concebida por Grizzle, Westervelt, Chevallereau, y otros en los 90's, es el método de dinámica cero híbrida [35], [36]. Esta técnica consiste en seleccionar un conjunto de funciones de las variables articulares. Este conjunto de configuraciones correspondientes a las funciones que son idénticamente cero definen una variedad, y las trayectorias que forman órbitas cerradas en la variedad cero corresponden a los ciclos de caminado para el bípedo. El control es entonces aplicado para hacer la variedad cero invariante y exponencialmente estabilizar las órbitas cerradas en la variedad. La propuesta de dinámica cero híbrida ha sido probada extensamente en el bípedo RABBIT [37] (ver Figura 1.5), y ha llamado mucho el interés de investigadores en la comunidad de control debido a las elegantes pruebas de estabilidad. Desafortunadamente, al igual que las propuestas de planificación y seguimiento de trayectorias, las estrategias de dinámica cero híbridas sufren de ineficiencia de energía.

1.6. Objetivo de la Tesis

En el presente tema de tesis se pretende abordar los puntos necesarios para la puesta en marcha del robot humanoide NAO, desde la explicación del funcionamiento del hardware y software proporcionado por el fabricante, el desarrollo del modelado cinemático y dinámico del robot, hasta la aplicación de algunos controladores propuestos en la literatura de

1. Introducción

robots bípedos.

Se pretende realizar simulaciones y pruebas experimentales que avalen la teoría previamente estudiada.

1.6.1. Objetivos específicos

Como objetivos específicos tenemos:

- Modelado cinemático directo de posición.
- Modelado cinemático inverso de posición.
- Modelado dinámico.
- Estudio sobre el control de caminado.

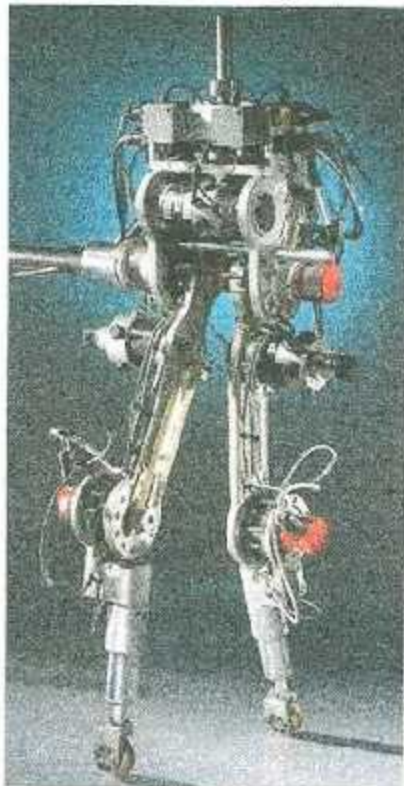


Figura 1.5: Robot RABBIT

1.7. Contenido de la tesis

En capítulo 2 se presenta la descripción del robot NAO, en este capítulo se explica de manera individual los componentes principales del robot NAO como lo son la visión, el audio, los sonares, el tipo de comunicación que utiliza para poder comunicarse con el usuario, como también el patrón de marcha que utiliza para poder caminar y finalmente se describen los parámetros geométricos del robot. En el capítulo 3 se obtienen los parámetros de Denavit-Hartenberg, para poder obtener los modelados cinemáticos directo e inverso de posición del robot NAO. El modelo cinemático inverso de posición, de los brazos y cabeza se obtienen aplicando el método de PAUL, mientras que el modelado inverso de posición de las piernas se obtiene aplicando una metodología propuesta en [43], finalmente se obtiene el modelo dinámico mediante las ecuaciones de Euler-Lagrange. En el capítulo 4 se propone un patrón de marcha basado en leyes de movimiento de tipo cicloidal, estos patrones están basados en la propuesta [47] y [48], también se definen los parámetros del patrón de marcha para realizar un caminado con el robot NAO. En el capítulo 5 se realiza un control de marcha mediante seguimiento de trayectorias utilizando los patrones de marcha, el modelado dinámico y las ecuaciones cinemáticas descritos en el capítulo 3 y 4, se hacen simulaciones en Simulink/MATLAB que permitan evaluar los pares aplicados a los motores durante un caminado del robot NAO. En el capítulo 6 se presentan las simulaciones del caminado del robot NAO realizadas en MATLAB, también se presentan las gráficas de las posiciones, velocidades y aceleraciones articulares durante todo el caminado del robot NAO, y finalmente se presentan las gráficas de los resultados obtenidos del control de seguimiento de trayectorias. En el capítulo 7 se hacen pruebas experimentales físicamente con el robot NAO, se obtienen las gráficas de las posiciones deseadas obtenidas con los parámetros del patrón de marcha, las cuales fueron graficadas en MATLAB para poder ser comparadas con las gráficas de las posiciones reales leídas por los encoders del robot con la finalidad de comprobar que el robot siguiera las posiciones articulares deseadas. En el capítulo 8 se mencionan las conclusiones finales de la tesis, y finalmente se presentan las bibliografías utilizadas en esta tesis y en la parte de anexos se proporciona el código realizado en MATLAB para hacer las simulaciones del patrón de marcha.

Capítulo 2

Descripción del robot humanoide NAO

2.1. Marcha del robot humanoide NAO

Un primer estudio de simulación de la marcha del robot humanoide NAO a partir de los patrones de marcha de tipo cíclico fue presentado recientemente [52]. En las simulaciones efectuadas en esta referencia, a fin de simplificar el modelado de la cinemática inversa y teniendo en cuenta la arquitectura del NAO, se asumió que el movimiento de la pelvis es traslacional y que la recta normal a la superficie de la suela del pie oscilante, al momento de aterrizar en cada paso, se mantiene perpendicular a la superficie del piso. Los resultados mostraron que las consideraciones son correctas toda vez que se verifica la condición impuesta a las articulaciones de la pelvis por el hecho de que ambas son movidas por un solo motor. En [53] se desarrolló un algoritmo de control para conseguir que el robot humanoide NAO realizara un caminado, esto se llevó a cabo mediante un algoritmo que aprovecha las oscilaciones propias del sistema para generar la locomoción y así tener una dinámica de locomoción más eficiente el cual llevaba hacer estudios de frecuencia de oscilaciones del robot y atractores en el espacio. En la referencia [54] se ocupa de la generación de trayectorias para los centros de masa del robot NAO, mientras el pie sigue un patrón de marcha omnidireccional, las trayectorias son generadas siguiendo el criterio de estabilidad dinámica, asegurando analíticamente que el ZMP (Zero Moment Point) del robot se encuentre dentro del polígono de soporte. En [49] se centran en el modelado dinámico mediante las ecuaciones de Euler-Lagrange del robot humanoide NAO, además se realiza un análisis de la cinemática directa e inversa del robot, luego se proponen trayectorias para que el robot NAO realice un caminado y finalmente se analizan los pares aplicados a los motores mediante el modelado dinámico obtenido.

NAO es un robot humanoidre programable y autónomo, desarrollado por Aldebaran Robotics, una compañía de robótica francesa con sede en París. El desarrollo comenzó con el lanzamiento del proyecto NAO en 2004. NAO sustituye al perro robot Aibo de Sony como plataforma estándar para la RoboCup (“Robot Soccer World Cup”). La Edición Académica fue desarrollada para las universidades y laboratorios con fines de investigación y educación. Dicha edición fue lanzada a las instituciones en 2008, y se puso a disposición

2. Descripción del robot humanoide NAO

antes del 2011. El modelo de robot, perteneciente al Laboratorio de Mecatrónica y Control del Instituto Tecnológico de la Laguna, es el NAO H-25; cuenta con 25 grados de libertad (gdl): 5 en cada brazo, 1 en cada mano, 2 en el cuello, más 11 en las dos piernas, su altura es de 57 centímetros y tiene un peso de 5.2 kg, véase Figura 2.1.



Figura 2.1: Robot NAO

El robot NAO cuenta con una red de sensores que incluyen dos cámaras, cuatro micrófonos, sonares, dos emisores y receptores infrarrojos, una tarjeta de medición inercial, nueve sensores táctiles y 8 sensores de presión. Tiene distintos dispositivos de comunicación que incluye sintetizador de voz, luces led, y dos altavoces de alta fidelidad. La unidad central de procesamiento es una intel ATOM 1.6 GHz, localizado en la cabeza. Este procesador utiliza Linux Kernel y soporta el middleware propiedad de Aldebaran, NAOqi. NAO cuenta además con un segundo CPU localizado en el torso. La batería es de 27.6 watts-hora que provee a NAO con 1.5 horas de autonomía dependiendo del uso, véase Figura 2.2.

2.2. Movimiento

El caminado de NAO usa un modelo dinámico simple (péndulo lineal invertido) y programación cuadrática. Es estabilizado por la retroalimentación de los sensores de las articulaciones. Esto hace que el caminado sea robusto y resistente a pequeños disturbios, además de que las oscilaciones del torso en el plano frontal y lateral sean absorbidas. NAO puede caminar en diferentes superficies como alfombra, mosaico y madera. Además, puede resistir la transición entre estas superficies mientras camina. El módulo de movimiento de

2. Descripción del robot humanoide NAO

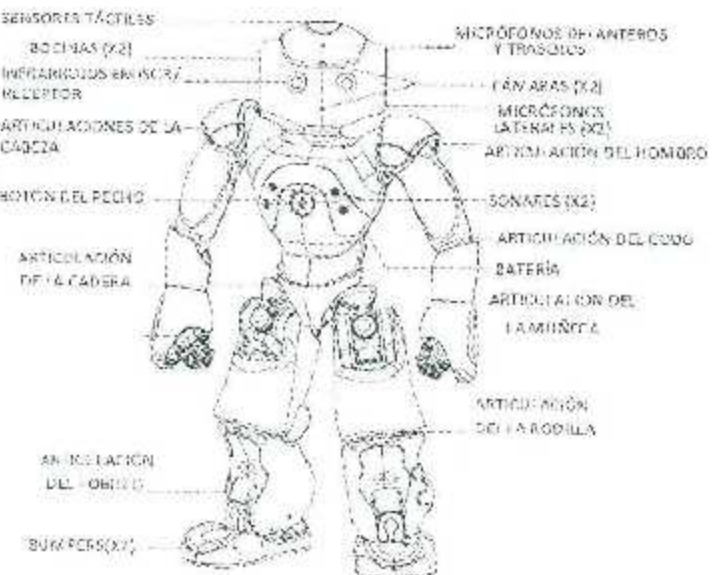


Figura 2.2: Descripción del Robot NAO

NAO está basado en un modelo generalizado de cinemática inversa, que maneja coordenadas cartesianas, control de articulaciones, equilibrio, redundancia y propiedad de tareas. El administrador de caídas protege a NAO cuando se cae. Su función principal es detectar cuándo el centro de masa de NAO está fuera del polígono de soporte. Cuando una posible caída es detectada, los movimientos se paran y, dependiendo de la dirección, los brazos de NAO asumen la posición de protección, el centro de masa es bajado y la rigidez del robot es reducida a cero.

2.3. Visión

Tiene implementada dos cámaras que pueden seguir, aprender y reconocer imágenes y caras. NAO usa dos cámaras de 920p que pueden capturar hasta 30 imágenes por segundo. La cámara localizada en la frente de NAO escanea el horizonte, mientras que la cámara localizada al nivel de la boca escanea los alrededores inmediatos (ver Figura 2.3). Para procesar la información, NAO cuenta con algoritmos enfocados a usar la menor cantidad de recursos para detectar y reconocer caras y formas. El SDK (Kit de Desarrollo de Software) de NAO permite al usuario desarrollar sus propios módulos para hacer la interfaz con OpenCV.

2. Descripción del robot humanoide NAO

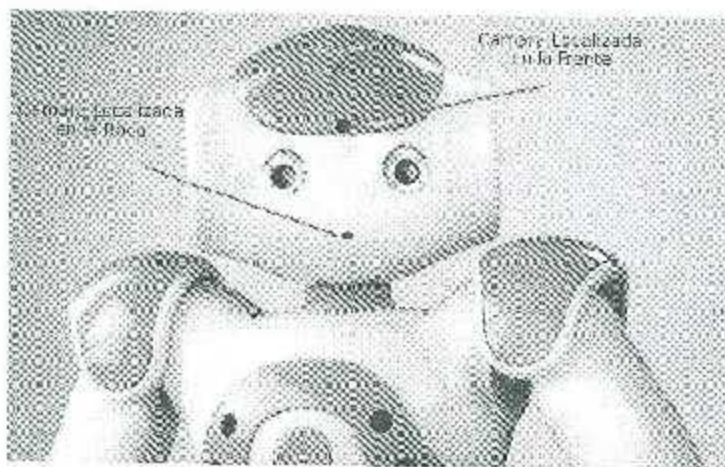


Figura 2.3: Cámaras del robot NAO

2.4. Audio

NAO usa cuatro micrófonos para rastrear sonidos y sus habilidades de reconocimiento de voz y conversación de texto a voz le permiten comunicarse en 8 idiomas (ver Figura 2.4).

NAO realiza la localización de la fuente del sonido basado en un enfoque robusto conocido como "Diferencia de tiempo de llegada". Cuando una fuente cercana emite un sonido, cada uno de los cuatro micrófonos de NAO recibe la onda de sonido en diferentes tiempos. Estas diferencias, llamadas diferencia de tiempo inter-aural (ITD, por sus siglas en inglés), pueden ser matemáticamente procesadas para determinar la localización de la fuente emisora.

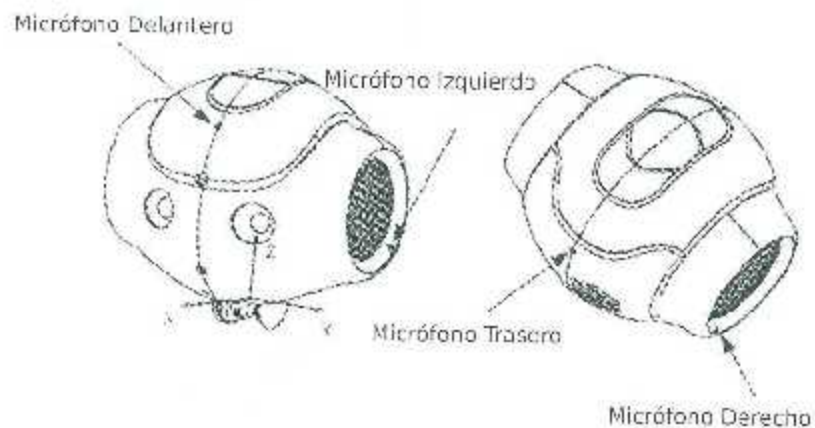


Figura 2.4: Micrófonos del robot NAO

2.5. Sonares

El NAO está equipado con dos canales de sonares, dos transmisores y dos receptores que permiten estimar distancias a obstáculos en el entorno. La distancia de detección es de 0-70 cm. A una distancia menor de 15 cm no hay información en la detección (ver Figura 2.5).

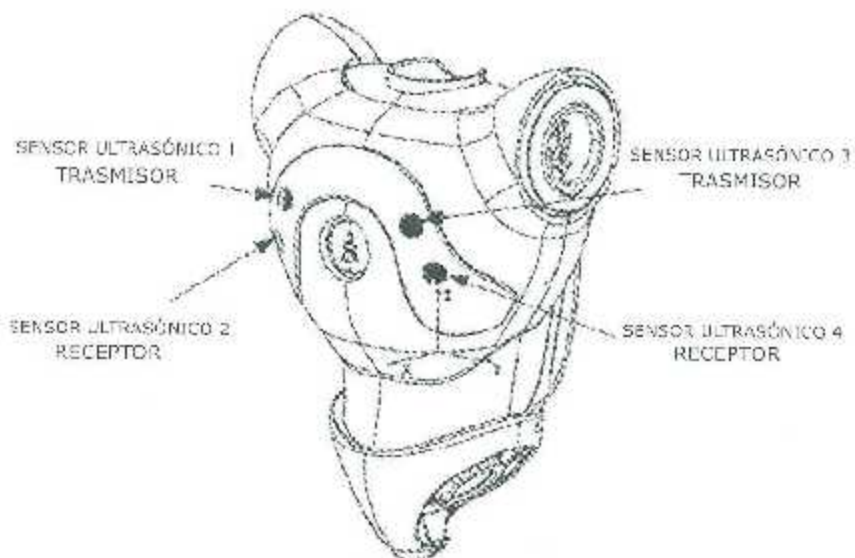


Figura 2.5: Senares del robot NAO

2.6. Conectividad

Actualmente el NAO soporta Wi-Fi (a, b, g) y Ethernet. Además, cuenta con transceptores infrarrojos en los ojos que le permiten conectarse a otros objetos en el entorno. NAO es compatible con el estándar Wi-Fi IEEE 802.11g y puede ser usado con redes WPA y WEP, haciendo posible que se pueda conectar a la mayoría de las redes de casa y oficina. El sistema operativo de NAO soporta conexiones Ethernet y Wi-Fi, requiriendo para esta última sólo la contraseña de conexión. Usando infrarrojo, NAO puede comunicarse con otros NAO y dispositivos que soportan infrarrojos. Se puede configurar a NAO para que utilice infrarrojo para controlar otros dispositivos. Además, puede recibir instrucciones de emisores infrarrojos. NAO también puede detectar si la señal infrarroja proviene del lado derecho o izquierdo.

2.7. Parámetros geométricos del robot NAO

En las Figuras 2.6 y 2.7 se presentan los parámetros geométricos del robot NAO. Dichos parámetros se utilizarán para hacer los cálculos del modelado cinemático y dinámico

2. Descripción del robot humanoide NAO

del robot NAO así como también las simulaciones hechas en MATLAB.

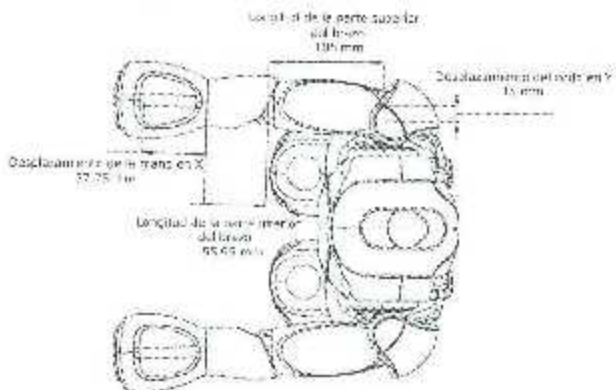


Figura 2.6: Parámetros geométricos de los brazos del robot NAO

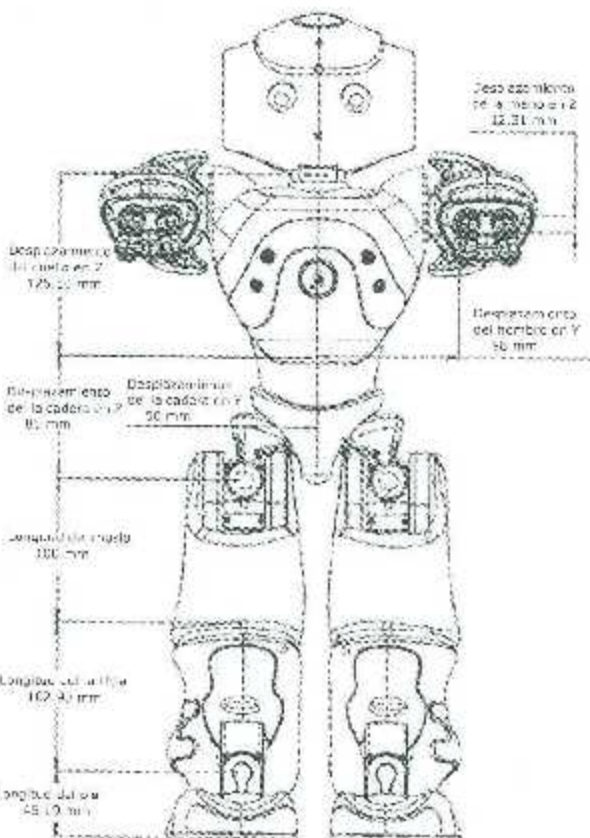


Figura 2.7: Parámetros geométricos del robot NAO

Capítulo 3

Modelado del robot NAO

Las actividades de investigación científica relacionadas con el desarrollo de robots humanoides han sido aceleradas a lo largo de las últimas décadas. Específicamente, la cinemática inversa de robots humanoides, que poseen generalmente 12 grados de libertad en piernas [38] y [39] se ha resuelto bajo diversos enfoques. En robots con piernas de menos grados de libertad, en los que la movilidad de la pelvis y del pie libre están limitadas, es posible resolver el problema inverso considerando las restricciones de manera explícita [40], [41]. En contraste con los casos de los robots considerados en las referencias precedentes, la cinemática inversa del robot NAO es particularmente compleja debido a su arquitectura. En efecto, el robot humanoide NAO, durante el caminado, no puede mover arbitrariamente la pelvis y el pie en desplazamiento, debido a que sólo posee 11 grados de libertad en sus piernas. El diseño mecánico del robot es tal que la transmisión de potencia hacia las dos articulaciones oblicuas de la pelvis (articulaciones 6 y 7 de la cadena cinemática del robot (ver Figura 3.1)) parte de un solo motor y, en consecuencia, obliga a éstas a mantener una relación constante entre sus correspondientes desplazamientos articulares. Esta restricción limita la movilidad de la pelvis y del pie libre, de tal manera que si se especifican libremente sus posiciones en un proceso de marcha, sus orientaciones estarán construidas y, eventualmente, se podría comprometer la factibilidad de la marcha bajo un criterio cinemático. En este capítulo se efectúa un estudio preliminar sobre la cinemática del robot NAO que prueba implícitamente que, si los desplazamientos de la pelvis y del pie libre permanecen con movimiento de traslación pura (es decir, con orientación constante), en una marcha sobre un plano horizontal, es posible generar una marcha factible especificando solamente los desplazamientos lineales de esas partes del robot. El procedimiento consiste, por una parte, en resolver la cinemática inversa del robot, considerándolo como si fuera de 12 grados de libertad y, por otra parte, en verificar que los movimientos articulares obtenidos cumplen la restricción impuesta a las articulaciones 6 y 7 por la transmisión de potencia. Los resultados obtenidos permiten planificar una marcha factible del robot a partir de un cierto número de parámetros del movimiento de la pelvis y del pie libre.

3.1. Identificación de la cadena cinemática

Para la descripción de la cadena cinemática de las piernas, brazos y cabeza del robot NAO, a los eslabones de estos se les asignan marcos de referencia ortonormales aplicando la convención modificada de Denavit-Hartenberg (Khalil y Kleifinger, 1986) [42]. Bajo esta convención, dichos marcos se numeran de manera consecutiva. Para el caso de la cadena cinemática de las piernas del robot se numeran desde el eslabón fijo (pie de apoyo), hasta el 12, asignado al eslabón que corresponde al pie en desplazamiento (pie libre). En el caso de los brazos izquierdo y derecho del robot, el eslabón fijo sería el (hombro), hasta el 5, asignado al eslabón que corresponde a la mano; y por último para el caso de la cabeza del robot el eslabón fijo sería el (cuello) hasta el eslabón que corresponde a la cabeza véase Figura. 3.1.

3.2. Modelo cinemático directo

El modelado directo consiste en el establecimiento de las funciones que hacen posible determinar las coordenadas operacionales de un robot a partir de sus coordenadas articulares. Puesto que las relaciones existentes entre las coordenadas operacionales y las variables articulares de un robot dependen de la estructura geométrica de éste, resulta de interés establecer un procedimiento normalizado para la descripción de dicha estructura, y de esa manera simplificar el tratamiento de los problemas del modelado directo e inverso. En esta sección nos referimos a la Figura 3.1 para presentar un procedimiento para tal propósito basado en los parámetros de Denavit-Hartenberg modificados. Los ejes del j -ésimo marco de referencia se asignan conforme a la siguiente convención:

- El eje z_j se define a lo largo del eje de la articulación, tipo R (rotacional), o el de deslizamiento de la corredera en el caso de una articulación tipo P (prismática). En este último caso la posición de z_j se fijará arbitrariamente.
- El eje x_j se define a lo largo de la perpendicular común a z_j y a z_{j-1} . Si estos dos ejes son paralelos, x_j no se puede definir de manera única; en tal caso se recomienda seguir un criterio de simetría o de simplicidad para definir la ubicación de este eje. Por supuesto, el punto de intersección de x_j y z_j define al origen o_j del marco.
- El eje y_j se define a partir de los ejes x_j y z_j , de tal manera que se complete un marco de manz derecha.

Una vez asignado un marco a cada eslabón, se definirán los parámetros geométricos que especifican la posición y orientación de cada marco respecto al precedente:

- α_j es el ángulo de z_{j-1} a z_j , medido respecto a x_{j-1} conforme a la regla de la manz derecha.
- d_j es la distancia entre z_{j-1} y z_j , a lo largo de x_{j-1} .

3. Modelado del robot NAO

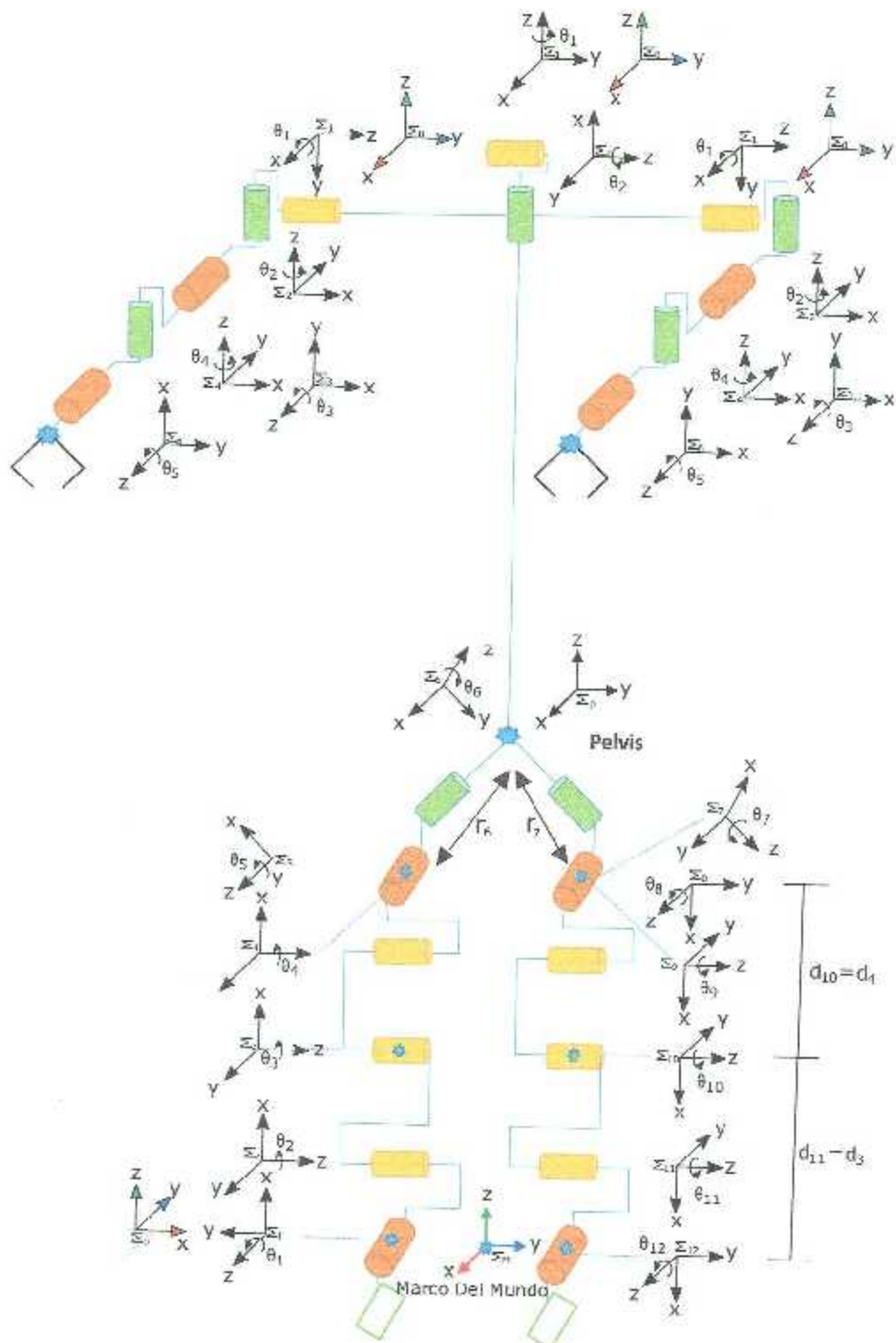


Figura 3.1: Marcos asignados a los eslabones del robot NAO

3. Modelado del robot NAO

- θ_j es el ángulo de x_{j-1} a x_j , medido respecto a z_j conforme a la regla de la mano derecha.
- r_j es la distancia entre x_{j-1} y x_j a lo largo de z_j .

El modelo directo de posición del robot NAO permite determinar la posición y orientación de los brazos, piernas y cabeza del robot con respecto al marco del mundo, el cual se asume que se encuentra en medio de las dos piernas del robot NAO durante su primer paso. A continuación se obtienen los parámetros de Denavit-Hartenberg para la cadena cinemática de los brazos, piernas y cabeza del robot, de igual forma se especifican los valores de los parámetros geométricos del robot NAO.

Las tablas 3.1 a 3.4 muestran los parámetros de Denavit-Hartenberg de las piernas, brazos y cabeza del robot NAO. Las tablas 3.5 a 3.7 muestran sus valores geométricos.

Tabla 3.1: Parámetros Denavit-Hartenberg de las piernas del robot NAO

i	α_i	d_i	θ_i	r_i
1	90	0	θ_1	0
2	90	0	θ_2	0
3	0	d3	θ_3	0
4	0	d4	θ_4	0
5	-90	0	θ_5	0
6	90	0	θ_6	r_6
7	-90	0	θ_7	r_7
8	90	0	θ_8	0
9	-90	0	θ_9	0
10	0	d10	θ_{10}	0
11	0	d11	θ_{11}	0
12	90	0	θ_{12}	0

Tabla 3.2: Parámetros Denavit-Hartenberg del brazo derecho del robot NAO

i	α_i	d_i	θ_i	r_i
1	90	0	θ_1	0
2	90	0	θ_2	0
3	90	-d3I	θ_3	r3I
4	-90	0	θ_4	0
5	90	0	θ_5	0

3. Modelado del robot NAO

Tabla 3.3: Parámetros Denavit-Hartenberg del brazo Izquierdo del robot NAO

i	α_i	d_i	θ_i	r_i
1	-90	0	θ_1	0
2	90	0	θ_2	0
3	90	d3I	θ_3	r3I
4	-90	0	θ_4	0
5	90	0	θ_5	0

Tabla 3.4: Parámetros Denavit-Hartenberg de la cabeza del robot NAO

i	α_i	d_i	θ_i	r_i
1	0	0	θ_1	0
2	-90	0	θ_2	0

Tabla 3.5: Valores de los parámetros geométricos de las piernas

Dimensiones mm	d3	d4	d10	d11	r6	r7
	102.90	100	102.90	100	70.7106	70.7106

Tabla 3.6: Valores de los parámetros geométricos de los brazos

Dimensiones mm	d3I	r3I
	13	105

Tabla 3.7: Valores de los parámetros geométricos de la cabeza

Dimensiones mm	L1	L2	L3
	53.9	67.9	161.5

Habiendo definido los parámetros de Denavit-Hartenberg, se pueden conformar las matrices de transformación elementales del robot, las cuales describen la posición y orientación del marco \sum_j con respecto al \sum_{j-1} . Dicha matriz está dada por:

$$T_j^{j-1} = \begin{bmatrix} c_{\theta_j} & -s_{\theta_j} & 0 & d_j \\ c_{\alpha_j}s_{\theta_j} & c_{\alpha_j}c_{\theta_j} & -s_{\alpha_j} & r_j s_{\alpha_j} \\ s_{\alpha_j}s_{\theta_j} & s_{\alpha_j}c_{\theta_j} & c_{\alpha_j} & r_j c_{\alpha_j} \\ 0 & 0 & 0 & 1 \end{bmatrix}, \quad (3.1)$$

donde c representa la función coseno y s la función seno, es decir $c_{\theta_j} = \cos(\theta_j)$, $s_{\theta_j} = \sin(\theta_j)$, $c_{\alpha_j} = \cos(\alpha_j)$, $s_{\alpha_j} = \sin(\alpha_j)$.

A continuación se muestran las matrices de transformación elementales que describen la posición y orientación de la cabeza con respecto al marco fijo (cuello):

$$T_1^0 = \begin{bmatrix} c_{\theta_1} & -s_{\theta_1} & 0 & 0 \\ s_{\theta_1} & c_{\theta_1} & 0 & 0 \\ 0 & 0 & 1 & 0 \\ 0 & 0 & 0 & 1 \end{bmatrix}$$

3. Modelado del robot NAO

$$T_0^1 = \begin{bmatrix} c_{\theta_2} & -s_{\theta_2} & 0 & 0 \\ 0 & 0 & -1 & 0 \\ s_{\theta_2} & c_{\theta_2} & 0 & 0 \\ 0 & 0 & 0 & 1 \end{bmatrix}$$

Las matrices de transformación elementales que describen la posición y orientación del brazo derecho con respecto al marco fijo (hombro derecho) son:

$$T_1^0 = \begin{bmatrix} c_{\theta_1} & -s_{\theta_1} & 0 & 0 \\ 0 & 0 & 1 & 0 \\ -s_{\theta_1} & -c_{\theta_1} & 0 & 0 \\ 0 & 0 & 0 & 1 \end{bmatrix}$$

$$T_2^1 = \begin{bmatrix} -s_{\theta_2} & -c_{\theta_2} & 0 & 0 \\ 0 & 0 & -1 & 0 \\ c_{\theta_2} & -s_{\theta_2} & 0 & 0 \\ 0 & 0 & 0 & 1 \end{bmatrix}$$

$$T_3^2 = \begin{bmatrix} c_{\theta_3} & -s_{\theta_3} & 0 & -d3I \\ 0 & 0 & -1 & -r3I \\ s_{\theta_3} & c_{\theta_3} & 0 & 0 \\ 0 & 0 & 0 & 1 \end{bmatrix}$$

$$T_4^3 = \begin{bmatrix} c_{\theta_4} & -s_{\theta_4} & 0 & 0 \\ 0 & 0 & 1 & 0 \\ -s_{\theta_4} & -c_{\theta_4} & 0 & 0 \\ 0 & 0 & 0 & 1 \end{bmatrix}$$

$$T_5^4 = \begin{bmatrix} c_{\theta_5} & -s_{\theta_5} & 0 & 0 \\ 0 & 0 & 1 & 0 \\ s_{\theta_5} & c_{\theta_5} & 0 & 0 \\ 0 & 0 & 0 & 1 \end{bmatrix}$$

Las matrices de transformación elementales que describen la posición y orientación del brazo izquierdo con respecto al marco fijo (hombro izquierdo) son:

$$T_1^0 = \begin{bmatrix} c_{\theta_1} & -s_{\theta_1} & 0 & 0 \\ 0 & 0 & 1 & 0 \\ -s_{\theta_1} & -c_{\theta_1} & 0 & 0 \\ 0 & 0 & 0 & 1 \end{bmatrix}$$

$$T_2^1 = \begin{bmatrix} -s_{\theta_2} & -c_{\theta_2} & 0 & 0 \\ 0 & 0 & -1 & 0 \\ c_{\theta_2} & -s_{\theta_2} & 0 & 0 \\ 0 & 0 & 0 & 1 \end{bmatrix}$$

$$T_3^2 = \begin{bmatrix} c_{\theta_3} & s_{\theta_3} & 0 & d3I \\ 0 & 0 & -1 & -r3I \\ s_{\theta_3} & c_{\theta_3} & 0 & 0 \\ 0 & 0 & 0 & 1 \end{bmatrix}$$

$$T_4^3 = \begin{bmatrix} c_{\theta_4} & -s_{\theta_4} & 0 & 0 \\ 0 & 0 & 1 & 0 \\ -s_{\theta_4} & -c_{\theta_4} & 0 & 0 \\ 0 & 0 & 0 & 1 \end{bmatrix}$$

$$T_5^4 = \begin{bmatrix} c_{\theta_5} & -s_{\theta_5} & 0 & 0 \\ 0 & 0 & -1 & 0 \\ s_{\theta_5} & c_{\theta_5} & 0 & 0 \\ 0 & 0 & 0 & 1 \end{bmatrix}$$

Para el caso de la cadera cinemática de las piernas del robot, es necesario determinar la posición y orientación de la pelvis y del pie libre con respecto al marco del mundo, el cual se asume que se encuentra en medio de las dos piernas.

$$T_1^0 = \begin{bmatrix} c_{\theta_1} & -s_{\theta_1} & 0 & 0 \\ 0 & 0 & -1 & 0 \\ s_{\theta_1} & c_{\theta_1} & 0 & 0 \\ 0 & 0 & 0 & 1 \end{bmatrix}$$

$$T_2^1 = \begin{bmatrix} c_{\theta_2} & -s_{\theta_2} & 0 & 0 \\ 0 & 0 & 1 & 0 \\ s_{\theta_2} & c_{\theta_2} & 0 & 0 \\ 0 & 0 & 0 & 1 \end{bmatrix}$$

$$T_3^2 = \begin{bmatrix} c_{\theta_3} & -s_{\theta_3} & 0 & d3 \\ s_{\theta_3} & c_{\theta_3} & 0 & 0 \\ 0 & 0 & 1 & 0 \\ 0 & 0 & 0 & 1 \end{bmatrix}$$

$$T_4^3 = \begin{bmatrix} c_{\theta_4} & -s_{\theta_4} & 0 & d4 \\ s_{\theta_4} & c_{\theta_4} & 0 & 0 \\ 0 & 0 & 1 & 0 \\ 0 & 0 & 0 & 1 \end{bmatrix}$$

$$T_5^4 = \begin{bmatrix} c_{\theta_5} & -s_{\theta_5} & 0 & 0 \\ 0 & 0 & 1 & 0 \\ -s_{\theta_5} & c_{\theta_5} & 0 & 0 \\ 0 & 0 & 0 & 1 \end{bmatrix}$$

$$T_6^5 = \begin{bmatrix} c_{\theta_6} & -s_{\theta_6} & 0 & 0 \\ 0 & 0 & -1 & r_6 \\ s_{\theta_6} & c_{\theta_6} & 0 & 0 \\ 0 & 0 & 0 & 1 \end{bmatrix}$$

$$T_7^6 = \begin{bmatrix} c_{\theta_7} & -s_{\theta_7} & 0 & 0 \\ 0 & 0 & 1 & r_7 \\ -s_{\theta_7} & c_{\theta_7} & 0 & 0 \\ 0 & 0 & 0 & 1 \end{bmatrix}$$

$$T_8^7 = \begin{bmatrix} c_{\theta_8} & -s_{\theta_8} & 0 & 0 \\ 0 & 0 & -1 & 0 \\ s_{\theta_8} & c_{\theta_8} & 0 & 0 \\ 0 & 0 & 0 & 1 \end{bmatrix}$$

$$T_9^8 = \begin{bmatrix} c_{\theta_9} & -s_{\theta_9} & 0 & 0 \\ 0 & 0 & 1 & 0 \\ -s_{\theta_9} & c_{\theta_9} & 0 & 0 \\ 0 & 0 & 0 & 1 \end{bmatrix}$$

$$T_{10}^9 = \begin{bmatrix} c_{\theta_{10}} & -s_{\theta_{10}} & 0 & d10 \\ s_{\theta_{10}} & c_{\theta_{10}} & 0 & 0 \\ 0 & 0 & 1 & 0 \\ 0 & 0 & 0 & 1 \end{bmatrix}$$

$$T_{11}^{10} = \begin{bmatrix} c_{\theta_{11}} & -s_{\theta_{11}} & 0 & d_{11} \\ s_{\theta_{11}} & c_{\theta_{11}} & 0 & 0 \\ 0 & 0 & 1 & 0 \\ 0 & 0 & 0 & 1 \end{bmatrix}$$

$$T_{12}^{11} = \begin{bmatrix} c_{\theta_{12}} & -s_{\theta_{12}} & 0 & 0 \\ 0 & 0 & 1 & 0 \\ s_{\theta_{12}} & c_{\theta_{12}} & 0 & 0 \\ 0 & 0 & 0 & 1 \end{bmatrix}$$

Ya obtenidas las matrices elementales de cada miembro del robot NAO, se procede a obtener los elementos de la matriz homogénea que se utiliza para especificar la posición y orientación deseada de cada miembro del robot, con respecto al marco del mundo Σ_M , el cual se encuentra colocado en medio de las dos piernas.

En el caso de la cabeza del robot NAO, los elementos de la matriz homogénea T_2^0 describen la posición y orientación de la cabeza (marco de referencia Σ_2), con respecto al cuello (marco de referencia Σ_1).

$$T_2^0 = T_1^c T_2^1 \quad (3.2)$$

En el caso del brazo derecho e izquierdo del robot NAO, los elementos de la matriz homogénea T_6^5 describen la posición y orientación de la mano (marco de referencia Σ_5) con respecto al hombro (marco de referencia Σ_6).

$$T_5^0 = T_1^0 T_2^1 T_3^2 T_4^3 T_5^4 \quad (3.3)$$

En el caso de la cadena cinemática de las piernas del robot NAO, hay que determinar la posición y orientación de la pelvis y del pie libre con respecto al marco del mundo, el cual se asume que se encuentra en medio de las dos piernas.

Los elementos de la matriz T_6^0 describen la posición y orientación de la cadera (marco de referencia Σ_P) con respecto al pie fijo (marco de referencia Σ_0).

$$T_6^0 = T_1^0 T_2^1 T_3^2 T_4^3 T_5^4 T_6^5 T_7^6 T_8^7 T_9^8 T_{10}^9 T_{11}^{10} T_{12}^{11} \quad (3.4)$$

Por último, los elementos de la matriz homogénea T_{12}^0 , que definen la posición y orientación del pie móvil (marco de referencia Σ_{12}), con respecto al pie fijo, (marco de referencia Σ_0).

$$T_{12}^0 = T_1^0 T_2^1 T_3^2 T_4^3 T_5^4 T_6^5 T_7^6 T_8^7 T_9^8 T_{10}^9 T_{11}^{10} T_{12}^{11} \quad (3.5)$$

Una vez obtenidas las matrices elementales del modelo directo, se procede a realizar el diagrama alambre en MATLAB (ver Anexo A), dicho diagrama nos ayudará para poder hacer simulaciones tanto para el modelado cinemático directo e inverso del robot así como también su modelado dinámico. En La Figura 3.2 se puede observar el diagrama alambre del robot NAO.

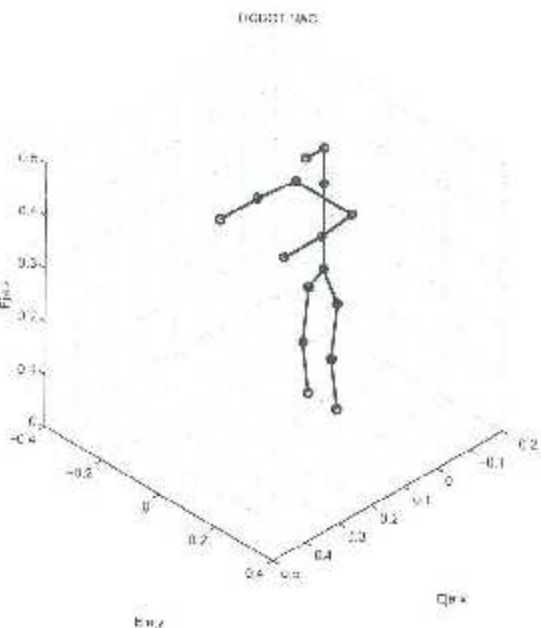


Figura 3.2: Diagrama alambre del robot NAO

3.3. Modelado cinemático inverso de posición

En el modelado inverso, se deducen las expresiones para calcular las coordenadas articulares que configuran al robot, de tal manera que se coloque a su órgano terminal en una situación especificada previamente por el usuario.

3.3.1. Modelo cinemático inverso de posición de los brazos izquierdo y derecho

La obtención del modelado inverso de posición de los brazos izquierdo y derecho se realizó mediante el método de Paul, basado en el uso de las matrices elementales, las cuales permiten obtener sucesivamente las variables articulares a partir de la siguiente ecuación.

$$U_0 = T_n^0 \quad (3.6)$$

Recordando que la matriz T_n^0 resulta del producto de las matrices elementales, se puede escribir como:

$$U_0 = T_1^0 T_2^1 \dots T_{n-1}^{n-2} T_n^{n-1} \quad (3.7)$$

donde los elementos de la matriz conocida U_0 se definirán de la siguiente manera:

$$U_0 = \begin{bmatrix} s_x & r_x & a_x & p_x \\ s_y & r_y & a_y & p_y \\ s_z & r_z & a_z & p_z \\ 0 & 0 & 0 & 1 \end{bmatrix} \quad (3.8)$$

Se observa que de la ecuación (3.7) resultan 12 ecuaciones escalares no triviales, conteniendo como incógnitas las variables articulares del manipulador. Estas ecuaciones son altamente no lineales, lo cual complica significativamente su resolución. El enfoque de Paul permite simplificar el aislamiento de cada variable articular mediante el principio que se ilustra para θ_1 como sigue:

Pre multiplique ambos miembros de la ecuación (3.7) por T_0^1 . Así se obtiene

$$T_0^1 U_0 = T_2^1 \dots T_{n-1}^1 T_n^1. \quad (3.9)$$

En esta ecuación se observa que el producto del lado derecho queda en función de las incógnitas $\theta_1, \theta_2, \dots, \theta_5$ mientras que el lado izquierdo contiene solamente a θ_1 , quedando así aislada esta incógnita. Entonces, de las 12 ecuaciones escalares que resultan, se busca una que facilite la determinación de θ_1 . Aplicando de manera reiterada el procedimiento anterior, es posible obtener todas las variables articulares.

Para el brazo derecho:

Obtención de θ_1

$$\theta_1 = \text{atan2}(-E_1 p_z, E_1 p_x)$$

donde

$$E_1 = 1$$

Obtención de θ_2

$$\theta_2 = \text{atan2}(A_2, B_2)$$

donde

$$\begin{aligned}
 E_2 &= 1 \\
 a_2 &= r_3 \\
 b_2 &= -d_3 \\
 c_2 &= p_2 c_{\theta_1} - p_3 s_{\theta_1} \\
 A_2 &= b_2 c_2 + E_2 a_2 \sqrt{a_2^2 + b_2^2 - c_2^2} \\
 B_2 &= a_2 c_2 - E_2 b_2 \sqrt{a_2^2 + b_2^2 - c_2^2}
 \end{aligned}$$

Obtención de θ_3

$$\theta_3 = \text{atan2}(A_2, B_2)$$

donde

$$\begin{aligned}
 A_3 &= a_2 c_{\theta_1} - a_3 s_{\theta_1} \\
 B_3 &= a_3 c_{\theta_2} - a_2 c_{\theta_1} s_{\theta_2} + a_2 s_{\theta_1} s_{\theta_2}
 \end{aligned}$$

Obtención de θ_4

$$\theta_4 = \text{atan2}(A_4, B_4)$$

donde

$$\begin{aligned}
 A_4 &= a_y c_{\theta_2} c_{\theta_3} + a_z (c_{\theta_3} s_{\theta_1} s_{\theta_2} + c_{\theta_1} s_{\theta_2}) + a_x (- (c_{\theta_1} c_{\theta_3} s_{\theta_2}) + s_{\theta_1} s_{\theta_2}) \\
 B_4 &= a_x c_{\theta_1} c_{\theta_2} - a_z c_{\theta_2} s_{\theta_1} + a_y s_{\theta_2}
 \end{aligned}$$

Obtención de θ_5

$$\theta_5 = \text{atan2}(A_5, B_5)$$

donde

$$\begin{aligned}
 A_5 &= -(s_y c_{\theta_1} s_{\theta_2}) + s_x (c_{\theta_1} s_{\theta_2} + c_{\theta_1} s_{\theta_2} s_{\theta_3}) - s_z (c_{\theta_2} c_{\theta_3} - s_{\theta_2} s_{\theta_1} s_{\theta_3}) \\
 B_5 &= -(n_y c_{\theta_1} s_{\theta_3}) + n_x (c_{\theta_1} s_{\theta_1} + c_{\theta_2} s_{\theta_2} s_{\theta_3}) + n_z (c_{\theta_1} c_{\theta_3} - s_{\theta_1} s_{\theta_2} s_{\theta_3})
 \end{aligned}$$

3. Modelado del robot NAO

En el caso del brazo izquierdo, se obtuvieron los siguientes resultados:

Obtención de θ_1

$$\theta_1 = \text{atan2}(-E_1 p_z, E_1 p_x)$$

donde

$$E_1 = 1$$

Obtención de θ_2

$$\theta_2 = \text{atan2}(A_2, B_2)$$

donde

$$E_2 = 1$$

$$a_2 = r_3$$

$$b_2 = -d_3$$

$$c_2 = p_x c_{\theta_1} - p_z s_{\theta_1}$$

$$A_2 = b_2 c_2 + E_2 a_2 \sqrt{a_2^2 + b_2^2 - c_2^2}$$

$$B_2 = a_2 c_2 - E_2 b_2 \sqrt{a_2^2 + b_2^2 - c_2^2}$$

Obtención de θ_3

$$\theta_3 = \text{atan2}(A_3, B_3)$$

donde

$$A_3 = a_z c_{\theta_1} - a_x s_{\theta_1}$$

$$B_3 = a_y c_{\theta_2} - a_x c_{\theta_1} s_{\theta_2} + a_z s_{\theta_1} s_{\theta_2}$$

Obtención de θ_4

$$\theta_4 = \text{atan2}(A_4, B_4)$$

donde

$$\begin{aligned} A_4 &= a_y c_{\theta_2} c_{\theta_3} - a_x (c_{\theta_1} s_{\theta_2} s_{\theta_3} + c_{\theta_1} s_{\theta_3}) + a_z (-c_{\theta_1} c_{\theta_2} s_{\theta_3}) - s_{\theta_1} s_{\theta_3} \\ B_4 &= a_x c_{\theta_1} c_{\theta_2} - a_z c_{\theta_2} s_{\theta_1} - a_y s_{\theta_2} \end{aligned}$$

Obtención de θ_5

$$\theta_5 = \text{atan2}(A_5, B_5)$$

donde

$$\begin{aligned} A_5 &= -(s_y c_{\theta_2} s_{\theta_3}) + s_x (c_{\theta_2} s_{\theta_1} + c_{\theta_1} s_{\theta_2} s_{\theta_3}) + s_z (c_{\theta_1} c_{\theta_2} - s_{\theta_1} s_{\theta_2} s_{\theta_3}) \\ B_5 &= -(n_y c_{\theta_2} s_{\theta_3}) + n_x (c_{\theta_2} s_{\theta_1} + c_{\theta_1} s_{\theta_2} s_{\theta_3}) - n_z (c_{\theta_1} c_{\theta_2} - s_{\theta_1} s_{\theta_2} s_{\theta_3}) \end{aligned}$$

3.3.2. Modelado cinemático inverso de posición de las piernas

A partir de las matrices elementales de las piernas del robot, se resuelve el modelo inverso de posición de éstas, con el cual se calculan los valores de las variables articulares que permiten obtener la posición y la orientación deseada tanto de la pelvis, como del pie oscilante del robot. La derivación de las ecuaciones del mencionado modelo se basó en el enfoque propuesto en [13], que a su vez, se inspira en el principio del que parte el método de Paul [44].

La matriz de transformación homogénea que se utiliza para especificar la posición y orientación deseada de la pelvis del robot, con respecto al marco del mundo Σ_M , está dada por:

$$T_p^M = \begin{bmatrix} t_{11} & t_{12} & t_{13} & x_p \\ t_{21} & t_{22} & t_{23} & y_p \\ t_{31} & t_{32} & t_{33} & z_p \\ 0 & 0 & 0 & 1 \end{bmatrix}$$

A partir de esta matriz, y de las matrices elementales de las piernas del robot, se obtienen las siguientes ecuaciones del modelo inverso de posición de la pierna de apoyo del robot:

$$\begin{aligned}
a_6 &= c_{\theta_1}t_{21} - s_{\theta_1}t_{31} \\
b_6 &= -c_p c_{\theta_1}t_{22} - c_p s_{\theta_1}t_{32} - s_p c_{\theta_1}t_{23} - s_p s_{\theta_1}t_{33} \\
E_6 &= 1 \\
\theta_6 &= \text{atan2}(F_6 a_6, -E_6 b_6) \\
a_1 &= c_p r_6 t_{23} - y_p - d_r - r_6 s_p t_{22} \\
b_1 &= c_p r_6 t_{33} - z_p - r_6 s_p t_{32} \\
E_1 &= 1 \\
\theta_1 &= \text{atan2}(E_1 a_1, -E_1 b_1) \\
s_5 &= s_6(c_{\theta_1}t_{21} + s_{\theta_1}t_{31}) + c_{\theta_6}c_6(c_{\theta_1}t_{22} + s_{\theta_1}t_{32}) \\
&\quad - c_{\theta_6}s_6(c_{\theta_1}t_{23} + s_{\theta_1}t_{33}) \\
c_5 &= c_p(c_{\theta_1}t_{23} + s_{\theta_1}t_{33}) - s_p(c_{\theta_1}t_{22} + s_{\theta_1}t_{32}) \\
\theta_5 &= \text{atan2}(s_5, c_5) - \frac{\pi}{4} \\
x_{1z} &= z_{pet}c_{\theta_1} - d_r s_{\theta_1} - d_z c_{\theta_1} - y_{pet} s_{\theta_1} - d_{77}(t_{33}c_{\theta_1} - t_{23}s_{\theta_1}) \\
z_{1z} &= x_{pet} - t_{13}d_{77} \\
r_{14} &= \sqrt{x_{14}^2 + z_{14}^2} \\
x_{14}/u &= \frac{z_{14}}{r_{14}} \\
z_{14}/u &= \frac{x_{14}}{r_{14}} \\
r_{st} &= \dot{a}_3 \\
r_{sf} &= \dot{a}_4 \\
g &= \frac{r_{st}^2 - r_{sf}^2 - r_{14}^2}{2r_{14}} \\
h &= \sqrt{r_{st}^2 - g^2} \\
F_2 &= 1 \\
r_{str} &= F_2 h x_{14/u} + g z_{14/u} \\
r_{sly} &= -F_2 h z_{14/u} + g x_{14/u} \\
r_{sfz} &= z_{14} - r_{stx} \\
r_{sfy} &= x_{14} - r_{sty} \\
\theta_{st} &= \text{atan2}(r_{sly}, r_{sfz}) \\
\theta_{sf} &= \text{atan2}(r_{sfy}, r_{sfz}) \\
\theta_2 &= \theta_{st} - \frac{\pi}{2} \\
\theta_3 &= \theta_{sf} - \theta_{st} \\
s_{234} &= -t_{13}(c_p s_{\theta_1} - c_{\theta_6} c_{\theta_6} s_p) + t_{12}(s_{\theta_1} s_p + c_{\theta_6} c_{\theta_6} c_p) + c_{\theta_1} s_{\theta_6} t_{11} \\
c_{234} &= -c_p s_{\theta_6} t_{11} + c_{\theta_1} t_{11} - s_{\theta_6} s_p t_{13} \\
\theta_{234} &= \text{atan2}(s_{234}, c_{234}) \\
\theta_4 &= \theta_{234} - \theta_2 - \theta_3
\end{aligned}$$

3. Modelado del robot NAO

La matriz de transformación homogénea que se utiliza para especificar la posición y orientación deseadas del pie oscilante del robot, con respecto al marco de la pelvis \sum_p , se calcula mediante:

$$T_{12}^P = T_M^P T_{12}^M, \quad (3.10)$$

donde T_M^P es la matriz conocida que determina la posición y la orientación deseada del marco del mundo con respecto a la pelvis, mientras que T_{12}^M especifica la posición y orientación deseada del pie oscilante con respecto al marco del mundo \sum_M . Los elementos de la matriz T_{12}^P , calculada mediante la ecuación (3.10), se designan de la siguiente manera:

$$T_P^M = \begin{bmatrix} s_{fpz} & n_{fpz} & a_{fpz} & p_{fpz} \\ s_{fpz} & n_{fpz} & a_{fpz} & p_{fpz} \\ s_{fpz} & n_{fpz} & a_{fpz} & p_{fpz} \\ 0 & 0 & 0 & 1 \end{bmatrix}$$

Siguiendo la misma metodología utilizada para la pierna de apoyo, se obtienen las siguientes ecuaciones del modelo inverso de posición de la pierna oscilante:

$$\begin{aligned} a_7 &= a_{fpz}p_{fpz}s_p^2 - c_{fpz}p_{fpz}s_p^2 + a_{fpz}c_p r_7 - a_{fpz}r_7 s_p \\ &\quad - a_{fpz}c_p^2 p_{fpz} - a_{fpz}c_p^2 p_{fpz} \\ b_7 &= a_{fpz}r_7 - a_{fpz}c_p p_{fpz} + a_{fpz}c_p p_{fpz} - a_{fpz}p_{fpz}s_p \\ &\quad + a_{fpz}p_{fpz}s_p \\ E_7 &= 1 \\ \theta_7 &= \text{atan2}(E_7 a_7, -E_7 b_7) \\ a_8 &= r_7 - p_{fpz}c_p - p_{fpz}s_p \\ b_8 &= -p_{fpz}c_{97}s_p + p_{fpz}c_{97}c_p + p_{fpz}s_{97} \\ E_8 &= 1 \\ \theta_8 &= \text{atan2}(E_8 a_8, -E_8 b_8) - \frac{3\pi}{4} \\ r_{812_x} &= p_{fpz}s_{\theta_8} - d_{77}s_{\theta_8} + p_{fpz}c_{\theta_8}c_{\theta_7} + p_{fpz}s_{\theta_8}c_{\theta_7} \\ r_{812_z} &= p_{fpz}c_{\theta_7} - p_{fpz}s_{\theta_7} \\ r_{812} &= \sqrt{r_{812_x}^2 + r_{812_z}^2} \\ r_{812/v_x} &= \frac{r_{812_x}}{r_{812}} \\ r_{812/v_z} &= \frac{r_{812_z}}{r_{812}} \\ r_{wf} &= d_{10} \\ r_{wl} &= d_{11} \end{aligned}$$

$$\begin{aligned}
 g_w &= \frac{r_{wI}^2 - r_{wt}^2 - r_{812}^2}{2r_{812}} \\
 h_w &= \sqrt{r_{wI}^2 - g_w^2} \\
 E_9 &= 1 \\
 r_{wfz} &= E_9 h_w r_{812/w_z} + g_w r_{812/w_z} \\
 r_{wfy} &= -E_9 h_w r_{812/w_z} - g_w r_{812/w_z} \\
 r_{wtx} &= r_{812_x} - r_{wfz} \\
 r_{wty} &= r_{812_y} - r_{wfx} \\
 \theta_{wf} &= \text{atan2}(r_{wfy}, r_{wtx}) \\
 \theta_{wt} &= \text{atan2}(r_{wty}, r_{wtx}) \\
 \theta_3 &= \theta_{wf} - \frac{\pi}{2} \\
 \theta_{10} &= \theta_{wt} - \theta_{wf} \\
 s_{12} &= s_{\theta_p} s_{\theta_q} s_{fpz} - s_{fpz} (c_{\theta_p} s_{\theta_q} - c_{\theta_p} c_{\theta_q} s_{fpz}) \\
 &\quad - s_{fpz} (c_{\theta_p} c_{\theta_q} + c_{\theta_p} s_{\theta_q} s_{fpz}) \\
 c_{12} &= n_{fpz} s_{\theta_p} s_{\theta_q} - n_{fpz} (c_{\theta_p} s_{\theta_q} - c_{\theta_p} c_{\theta_q} s_{fpz}) \\
 \theta_{12} &= \text{atan2}(s_{12}, c_{12}) \\
 a_1 &= c_{\theta_{910}} \\
 b_1 &= -s_{\theta_{910}} \\
 f_{11} &= a_{fpz} c_{\theta_p} - a_{fpz} c_p s_{\theta_p} + a_{fpz} s_{\theta_p} s_{\theta_p} \\
 E_{11} &= 1 \\
 s_{11} &= \frac{b_{11} f_{11} + E_1 a_{11} \sqrt{a_{11}^2 - b_{11}^2 - f_{11}^2}}{a_{11}^2 + b_{11}^2} \\
 c_{11} &= \frac{a_{11} f_{11} - E_1 b_{11} \sqrt{a_{11}^2 + b_{11}^2 - c_{11}^2}}{a_{11}^2 + b_{11}^2} \\
 &\quad - n_{fpz} (c_{\theta_p} c_{\theta_q} + c_{\theta_p} s_{\theta_q} s_{fpz}) \\
 \theta_{11} &= \text{atan2}(s_{11}, c_{11})
 \end{aligned}$$

3.4. Modelo de velocidad y aceleración de las piernas de robot NAO

El modelo de velocidad y aceleración del robot se expresa mediante la ecuación general de la cinemática de manipuladores seriales. Sin embargo, es necesario tener en cuenta que la velocidad y aceleración del robot se especifica mediante dos vectores de velocidades

3. Modelado del robot NAO

operacionales: el primero correspondiente al movimiento de la pelvis, y el segundo asociado al movimiento del pie libre. Así, se tienen las dos ecuaciones siguientes del modelo de velocidad del robot.

Para el estado de la velocidad de la pelvis:

$$\dot{x}_{pel} = J_{pa}(\theta_{pa})\dot{\theta}_{pa}, \quad (3.11)$$

Para el estado de velocidad del pie libre :

$$\dot{x}_{pl/pel} = J_{pl}(\theta_{pl})\dot{\theta}_{pl}, \quad (3.12)$$

donde $J(\theta) \in \mathbb{R}^{n \times n}$ es la matriz jacobiana y $\dot{\theta} \in \mathbb{R}^n$ es el vector de velocidades articulares de la cadena cinemática de la pierna que corresponda del robot ($n=6$), mientras que $\dot{x} \in \mathbb{R}^n$ denota el estado de velocidad (velocidad lineal y velocidad angular) del sólido correspondiente. Los subíndices **pel** y **pie** se utilizan para referirse a la pelvis o al pie libre, respectivamente; **pl** y **pa** indica pierna libre y pierna de apoyo, respectivamente, $\dot{x}_{pel/pl}$ se refiere a la velocidad aparente del pie libre con respecto a la pelvis.

Para obtener el modelo de aceleración, se derivan las ecuaciones (3.11) y (3.12) con respecto al tiempo, así se obtiene el modelo directo de aceleración; el primero corresponde al movimiento de la pelvis, y el segundo asociado al movimiento del pie libre. Así, se tienen las dos ecuaciones siguientes del modelo de aceleración del robot.

Para el estado de la aceleración de la pelvis:

$$\ddot{x}_{pel} = J_{pa}(\theta_{pa})\ddot{\theta}_{pa} + J_{pa}\dot{\theta}_{pa}, \quad (3.13)$$

Para el estado de aceleración del pie libre :

$$\ddot{x}_{pl/pel} = J_{pl}(\theta_{pl})\ddot{\theta}_{pl} + J_{pl}\dot{\theta}_{pl}, \quad (3.14)$$

donde $\ddot{x} \in \mathbb{R}^n$ es el vector aceleración del órgano terminal correspondiente del robot. $\ddot{\theta} \in \mathbb{R}^n$ es el vector de aceleraciones de las articulaciones.

Como se observa en las ecuaciones (3.10) - (3.13) ambos modelos requieren solamente de la determinación de la matriz jacobiana de la pierna de interés. Estas matrices se obtienen aplicando el paquete SYMORO a partir de los parámetros geométricos de las piernas que se establecieron en la Tabla 3.1. A continuación se proporcionan los resultados obtenidos.

Matriz Jacobiana del pie de apoyo a la pelvis,

$$\begin{aligned}
J_{11} &= -(d_3 c_{\theta_2} c_{\theta_3}) - d_4 c_{\theta_1} c_{(\theta_2 + \theta_3)} \\
J_{21} &= -(d_3 c_{\theta_2} s_{\theta_1}) - d_4 s_{\theta_1} c_{(\theta_2 + \theta_3)} \\
J_{31} &= 0 \\
J_{41} &= 0 \\
J_{51} &= 0 \\
J_{61} &= 1 \\
J_{21} &= d_3 s_{\theta_1} s_{\theta_2} + d_4 s_{\theta_1} s_{(\theta_2 + \theta_3)} \\
J_{22} &= -(d_3 c_{\theta_1} s_{\theta_2}) - d_4 c_{\theta_1} s_{(\theta_2 + \theta_3)} \\
J_{32} &= -(d_3 c_{\theta_2}) - d_4 c_{(\theta_2 + \theta_3)} \\
J_{42} &= -c_{\theta_1} \\
J_{52} &= -s_{\theta_1} \\
J_{32} &= 0 \\
J_{13} &= d_4 s_{\theta_1} s_{(\theta_2 + \theta_3)} \\
J_{23} &= -(d_3 c_{\theta_1} s_{(\theta_2 + \theta_3)}) \\
J_{33} &= -(d_1 c_{(\theta_2 + \theta_3)}) \\
J_{43} &= -c_{\theta_1} \\
J_{53} &= -s_{\theta_1} \\
J_{63} &= 0 \\
J_{14} &= 0 \\
J_{24} &= 0 \\
J_{34} &= 0 \\
J_{44} &= -c_{\theta_1} \\
J_{54} &= -s_{\theta_1} \\
J_{64} &= 0 \\
J_{15} &= 0 \\
J_{25} &= 0 \\
J_{35} &= 0 \\
J_{45} &= s_{\theta_1} s_{(\theta_2 + \theta_3 + \theta_4)} \\
J_{55} &= -(c_{\theta_1} s_{(\theta_2 + \theta_3 + \theta_4)}) \\
J_{65} &= -c_{(\theta_2 + \theta_3 + \theta_4 + \theta_5)} \\
J_{16} &= 0 \\
J_{26} &= 0 \\
J_{36} &= 0 \\
J_{46} &= -(c_{\theta_1} c_{(\frac{3\pi}{4} + \theta_5)}) - c_{(\theta_2 + \theta_3 + \theta_4)} s_{\theta_1} s_{(\frac{3\pi}{4} + \theta_5)} \\
J_{56} &= -(s_{\theta_1} c_{(\frac{3\pi}{4} + \theta_5)}) + c_{(\theta_2 + \theta_3 + \theta_4)} c_{\theta_1} s_{(\frac{3\pi}{4} + \theta_5)} \\
J_{66} &= -(s_{(\theta_1 + \theta_2 + \theta_4)} s_{(\frac{3\pi}{4} + \theta_5)})
\end{aligned}$$

3. Modelado del robot NAO

Matriz jacobiana de la pelvis al pie libre

$$\begin{aligned}
 J_{11} &= d_{10}c_{\theta_7}c_{(\frac{3\pi}{4}-\theta_8)}c_{\theta_9} + d_{11}c_{\theta_7}c_{(\frac{3\pi}{4}-\theta_8)}c_{(\theta_{12}+\theta_9)} + d_{10}s_{\theta_7}s_{\theta_9} + d_{11}s_{\theta_7}s_{(\theta_{12}+\theta_9)} \\
 J_{21} &= 0 \\
 J_{31} &= -(d_{10}c_{\theta_7}c_{(\frac{3\pi}{4}-\theta_8)}c_{\theta_9}) - d_{11}s_{\theta_7}c_{(\frac{3\pi}{4}-\theta_8)}c_{(\theta_{12}+\theta_9)} + d_{10}c_{\theta_7}s_{\theta_9} - d_{11}c_{\theta_7}s_{(\theta_{12}+\theta_9)} \\
 J_{41} &= 0 \\
 J_{51} &= 0 \\
 J_{61} &= 0 \\
 J_{12} &= d_{10}c_{\theta_7}s_{\theta_7}s_{(\frac{3\pi}{4}-\theta_8)} + d_{11}c_{(\theta_{12}+\theta_9)}s_{\theta_7}s_{(\frac{3\pi}{4}-\theta_8)} \\
 J_{22} &= -(d_{10}c_{(\frac{3\pi}{4}-\theta_8)}c_{\theta_9}) - d_{11}c_{(\frac{3\pi}{4}-\theta_8)}c_{(\theta_{12}+\theta_9)} \\
 J_{32} &= d_{10}c_{\theta_7}c_{\theta_7}s_{(\frac{3\pi}{4}-\theta_8)} + d_{11}c_{(\theta_{12}+\theta_9)}c_{\theta_7}s_{(\frac{3\pi}{4}-\theta_8)} \\
 J_{42} &= c_{\theta_7} \\
 J_{52} &= 0 \\
 J_{62} &= -s_{\theta_7} \\
 J_{13} &= -(d_{10}c_{\theta_7}c_{\theta_9}) - d_{11}c_{\theta_7}c_{(\theta_{12}+\theta_9)} - d_{10}c_{(\frac{3\pi}{4}-\theta_8)}s_{\theta_7}s_{\theta_9} - d_{11}c_{(\frac{3\pi}{4}-\theta_8)}s_{\theta_7}s_{(\theta_{12}+\theta_9)} \\
 J_{23} &= -(d_{10}s_{(\frac{3\pi}{4}-\theta_8)}s_{\theta_9}) - d_{11}s_{(\frac{3\pi}{4}-\theta_8)}s_{(\theta_{12}+\theta_9)} \\
 J_{33} &= d_{10}s_{\theta_7}c_{\theta_9} + d_{11}s_{\theta_7}c_{(\theta_{12}+\theta_9)} - d_{10}c_{(\frac{3\pi}{4}-\theta_8)}c_{\theta_7}s_{\theta_9} - d_{11}c_{(\frac{3\pi}{4}-\theta_8)}c_{\theta_7}s_{(\theta_{12}+\theta_9)} \\
 J_{43} &= s_{\theta_7}s_{(\frac{3\pi}{4}-\theta_8)} \\
 J_{53} &= -c_{(\frac{3\pi}{4}-\theta_8)} \\
 J_{63} &= c_{\theta_7}s_{(\frac{3\pi}{4}-\theta_8)} \\
 J_{14} &= -d_{11}c_{\theta_7}c_{(\theta_{12}+\theta_9)} - d_{11}c_{(\frac{3\pi}{4}-\theta_8)}s_{(\theta_{12}+\theta_9)}s_{\theta_7} \\
 J_{24} &= -d_{11}s_{(\frac{3\pi}{4}-\theta_8)}s_{(\theta_{12}+\theta_9)} \\
 J_{34} &= d_{11}s_{\theta_7}c_{(\theta_{12}+\theta_9)} - d_{11}c_{(\frac{3\pi}{4}-\theta_8)}s_{(\theta_{12}+\theta_9)}c_{\theta_7} \\
 J_{44} &= s_{\theta_7}s_{(\frac{3\pi}{4}-\theta_8)} \\
 J_{54} &= c_{(\frac{3\pi}{4}-\theta_8)} \\
 J_{64} &= c_{\theta_7}s_{(\frac{3\pi}{4}-\theta_8)} \\
 J_{15} &= 0 \\
 J_{25} &= 0 \\
 J_{35} &= 0 \\
 J_{45} &= s_{\theta_7}s_{(\frac{3\pi}{4}-\theta_8)} \\
 J_{55} &= -c_{(\frac{3\pi}{4}-\theta_8)} \\
 J_{65} &= c_{\theta_7}s_{(\frac{3\pi}{4}-\theta_8)} \\
 J_{16} &= 0 \\
 J_{26} &= 0 \\
 J_{36} &= 0 \\
 J_{46} &= c_{\theta_7}c_{(\theta_{12}+\theta_{11}+\theta_9)} + c_{(\frac{3\pi}{4}-\theta_8)}s_{\theta_7}s_{(\theta_{12}+\theta_{11}+\theta_9)} \\
 J_{56} &= s_{(\frac{3\pi}{4}-\theta_8)}s_{(\theta_{12}+\theta_{11}+\theta_9)} \\
 J_{66} &= -s_{\theta_7}c_{(\theta_{12}+\theta_{11}+\theta_9)} - c_{(\frac{3\pi}{4}-\theta_8)}c_{\theta_7}s_{(\theta_{12}+\theta_{11}+\theta_9)}
 \end{aligned}$$

3.5. Modelado dinámico mediante las ecuaciones de Euler-Lagrange

El modelo dinámico de un robot consiste en una ecuación diferencial (ordinaria) vectorial en términos de las posiciones, velocidades y aceleraciones, ya sean articulares o cartesianas, generalmente de segundo orden [45].

Los parámetros dinámicos del robot NAO (longitudes, masas, e inertias) se encuentran descritos en las Tablas 3.8, 3.9 y 3.10. Es importante señalar que las posiciones locales de los centros de masa encontrados en la literatura, [49] (y mostrados en la Tabla 3.8) son vectores que parten de la articulación anterior más cercana a la masa m_c , con $c = 1, 2, \dots, 6$ (ver Figura 3.4a), pero tomando en cuenta un marco \sum_{b_i} con una orientación idéntica a la del marco del mundo \sum_M (es decir, x hacia el frente, y hacia la derecha y z hacia arriba) cuando el robot NAO se encuentra en posición cero, como se muestra en la Figura 3.3 a; sin embargo para aplicar el método de forma correcta, es necesario encontrar el vector de posición local del centro de masa referido al marco \sum_n más próximo unido a la articulación anterior más cercana (ver Figura 3.3b), para esto es necesario realizar la siguiente rotación constante.

$${}^n l_{m_c} = {}^M R_{(0)} {}^{b_i} l_{m_c}, \quad (3.15)$$

donde ${}^n l_{m_c} \in \mathbb{R}^3$ es el vector de posición de la masa m_c respecto al marco \sum_n más próximo unido a la articulación anterior más cercana a la masa m_c , ${}^M R_{(0)}$ es la matriz de rotación constante del marco \sum_M ¹ al marco \sum_n , con valores $\theta_i = 0$, para $i = 1, 2, \dots, 12$; ${}^{b_i} l_{m_c}$ es el vector de posición de la masa m_c respecto al marco \sum_{b_i} .

Una vez hecho lo anterior, el siguiente paso para obtener el modelo dinámico consiste en calcular las posiciones globales de los centros de masa de cada eslabón con respecto a un marco fijo, en el caso del modelado en simple soporte del robot NAO, se escoge como marco fijo el situado en el pie de apoyo, denominado marco \sum_p , como se muestra en la Figura 3.4.

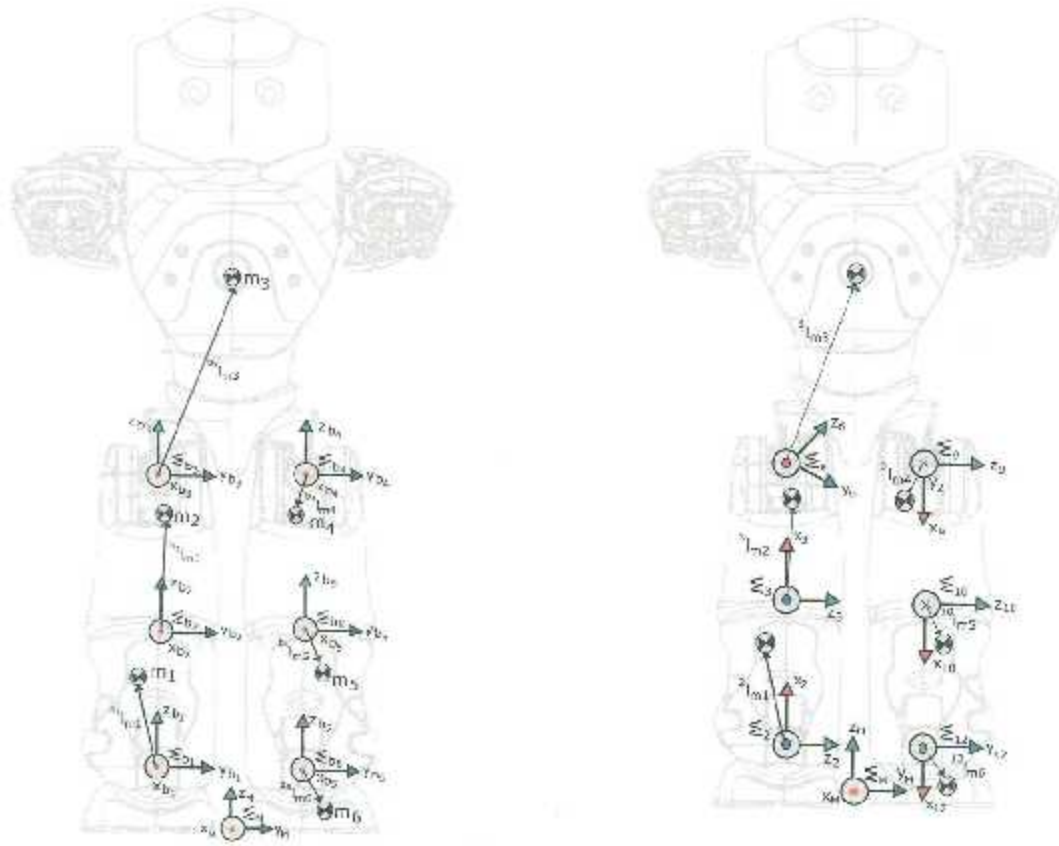
Para el cálculo de las posiciones globales de cada centro de masa del robot, se hará uso de la siguiente ecuación:

$$p_{m_c} = \left(\prod_{j=1}^n T_j^{j-1} \right) {}^n l_{m_c}, \quad (3.16)$$

donde $p_{m_c} = [p_{m_{c_x}}, p_{m_{c_y}}, p_{m_{c_z}}]^T$ es el vector de posición global de la masa m_c , respecto al marco fijo \sum_p , $T_j^{j-1} \in \mathbb{R}^{4 \times 4}$, y representa la matriz de transformación homogénea que

¹Se utiliza \sum_M en lugar de \sum_b ya que tienen la misma orientación.

3. Modelado del robot NAO



(a) Centros de masas con respecto al marco \sum_{b_i} . (b) Centros de masas con respecto al marco \sum_n

Figura 3.3: Posiciones de los centros de masa del robot NAO

indica la posición y orientación del marco \sum_j respecto al marco \sum_{j-1} , los cuales fueron definidos en el Capítulo 3, y finalmente n representa el marco de referencia anterior más cercano a la masa m_c , por lo tanto las posiciones de los 6 centros de masa con respecto al pie de apoyo se calculan de la siguiente manera:

$$p_{m1} = (T_1^0 T_2^1)^2 l_{m1} \quad (3.17)$$

$$p_{m2} = (T_1^0 T_2^1 T_3^2)^3 l_{m2} \quad (3.18)$$

$$p_{m3} = (T_1^0 T_2^1 T_3^2 T_4^3 T_5^4 T_6^5)^6 l_{m3} \quad (3.19)$$

$$p_{m4} = (T_1^0 T_2^1 T_3^2 T_4^3 T_5^4 T_6^5 T_7^6 T_8^7 T_9^8)^9 l_{m4} \quad (3.20)$$

$$p_{m5} = (T_1^0 T_2^1 T_3^2 T_4^3 T_5^4 T_6^5 T_7^6 T_8^7 T_9^8 T_{10}^9)^{10} l_{m5} \quad (3.21)$$

$$p_{m6} = (T_1^0 T_2^1 T_3^2 T_4^3 T_5^4 T_6^5 T_7^6 T_8^7 T_9^8 T_{10}^9 T_{11}^{10} T_{12}^{11})^{12} l_{m6} \quad (3.22)$$

Ahora, obteniendo la derivada temporal de las ecuaciones (3.17) - (3.22), se obtienen las velocidades de cada centro de masa las cuales están dadas por

3. Modelado del robot NAO

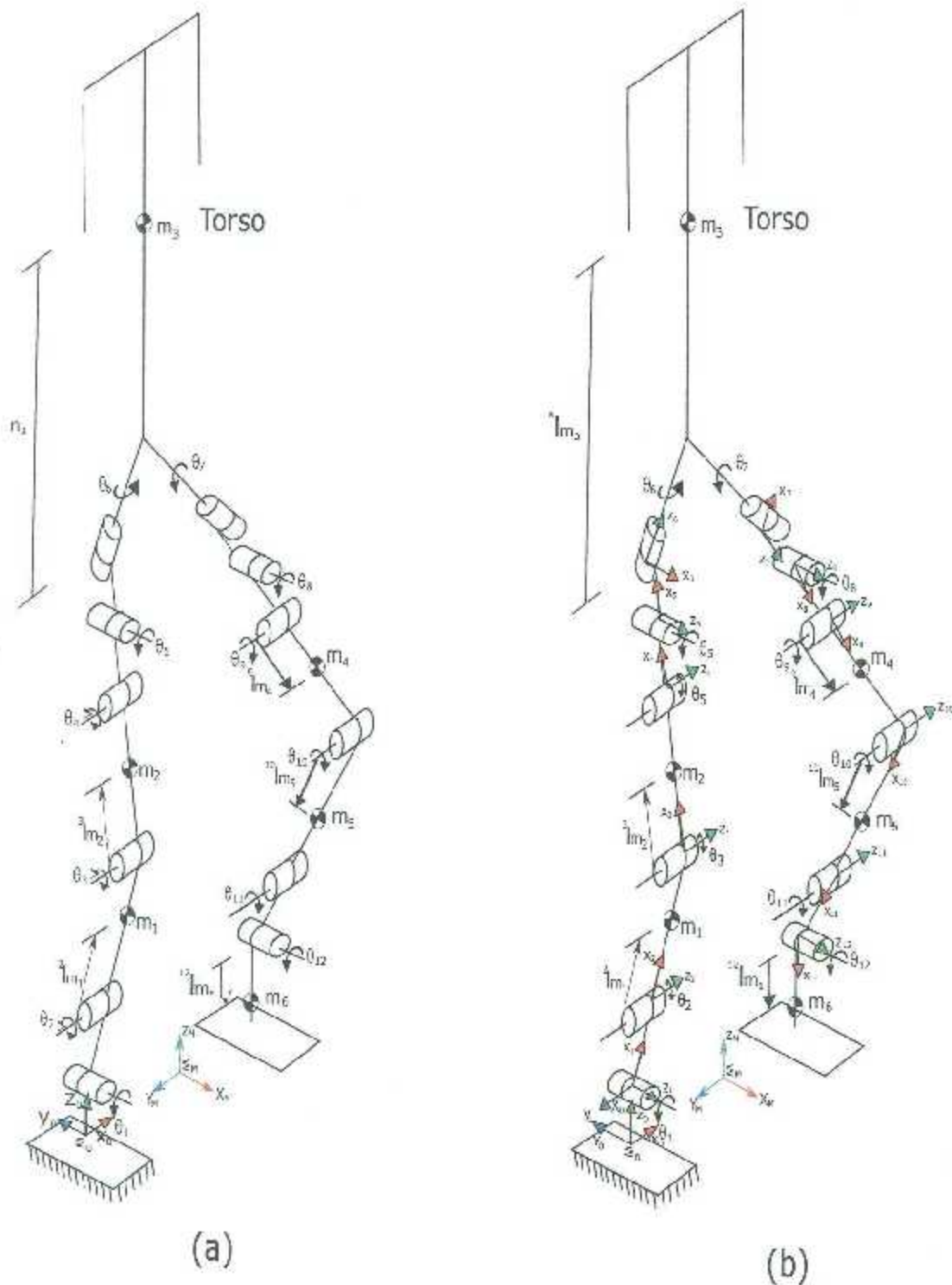


Figura 3.4: Modelo geométrico del robot NAO

3. Modelado del robot NAO

Tabla 3.8: Posiciones de los centros de masa de cada eslabón respecto al marco \sum_{m_i} unido a la articulación anterior más cercana

Vector de centros de masas (mm)
${}^1_m l_{m1} = [3.66, -1.56, 38.72]^T$
${}^2_m l_{m2} = [-3.68, 0.03, 66.79]^T$
${}^3_m l_{m3} = [-4.80, 50.06, 127.27]^T$
${}^4_m l_{m4} = [-3.38, -0.03, -33.21]^T$
${}^5_m l_{m5} = [3.66, 1.52, -64.03]^T$
${}^6_m l_{m6} = [24.89, 3.3, -32.08]^T$

Tabla 3.9: Valores de las masas de los eslabones del robot NAO

Masas (gramos)
$m_1 = 435.98$ (Tibia derecha)
$m_2 = 605.72$ (Fémur derecho)
$m_3 = 1026.28$ (Torso)
$m_4 = 605.72$ (Fémur Izquierdo)
$m_5 = 435.98$ (Tibia derecha)
$m_6 = 216.98$ (Pie libre)

Tabla 3.10: Valores de los tensores de inercias respecto al marco unido al centro de masa de su eslabón

Tensor de inercia
$I_1 = \text{diag}\{I_{xx1}, I_{yy1}, I_{zz1}\} = \text{diag}\{0.0012, 0.0012, 0.0006\}$
$I_2 = \text{diag}\{I_{xx2}, I_{yy2}, I_{zz2}\} = \text{diag}\{0.0018, 0.0018, 0.0010\}$
$I_3 = \text{diag}\{I_{xx3}, I_{yy3}, I_{zz3}\} = \text{diag}\{0.0049, 0.0047, 0.0016\}$
$I_4 = \text{diag}\{I_{xx4}, I_{yy4}, I_{zz4}\} = \text{diag}\{0.0018, 0.0018, 0.0010\}$
$I_5 = \text{diag}\{I_{xx5}, I_{yy5}, I_{zz5}\} = \text{diag}\{0.0012, 0.0012, 0.0006\}$
$I_6 = \text{diag}\{I_{xx6}, I_{yy6}, I_{zz6}\} = \text{diag}\{0.0012, 0.0012, 0.0006\}$

$$v_1 = \dot{p}_{m1} = [\dot{\varphi}_{m1z}, \dot{p}_{m1y}, \dot{p}_{m1x}]^T \quad (3.23)$$

$$v_2 = \dot{p}_{m2} = [\dot{\varphi}_{m2z}, \dot{p}_{m2y}, \dot{p}_{m2x}]^T \quad (3.24)$$

$$v_3 = \dot{p}_{m3} = [\dot{\varphi}_{m3z}, \dot{p}_{m3y}, \dot{p}_{m3x}]^T \quad (3.25)$$

$$v_4 = \dot{p}_{m4} = [\dot{\varphi}_{m4z}, \dot{p}_{m4y}, \dot{p}_{m4x}]^T \quad (3.26)$$

$$v_5 = \dot{p}_{m5} = [\dot{\varphi}_{m5z}, \dot{p}_{m5y}, \dot{p}_{m5x}]^T \quad (3.27)$$

$$v_6 = \dot{p}_{m6} = [\dot{\varphi}_{m6z}, \dot{p}_{m6y}, \dot{p}_{m6x}]^T \quad (3.28)$$

Por otro lado, es necesario también calcular la velocidad angular de cada centro de masa. Para esto, se tiene que:

$$\omega_j = \omega_{j-1} + {}^0 R \dot{\theta}_j^j \hat{z}, \quad (3.29)$$

3. Modelado del robot NAO

donde $j = 1, 2, \dots, 12$, 0R representa la matriz de rotación desde el marco \sum_0 hasta el marco \sum_j , y finalmente el vector ${}^j\dot{z} \in \mathbb{R}^3$ representa el eje sobre el cual tiene lugar la rotación. Las ecuaciones que representan las velocidades angulares de cada una de las articulaciones, con respecto al marco fijo \sum_0 , se muestran a continuación.

$$\omega_1 = \omega_0 + {}^0R\dot{\theta}_1^1 \hat{z} \quad (3.30)$$

$$\omega_2 = \omega_1 + {}^0R\dot{\theta}_2^2 \hat{z} \quad (3.31)$$

$$\omega_3 = \omega_2 + {}^0R\dot{\theta}_3^3 \hat{z} \quad (3.32)$$

$$\omega_4 = \omega_3 + {}^0R\dot{\theta}_4^4 \hat{z} \quad (3.33)$$

$$\omega_5 = \omega_4 + {}^0R\dot{\theta}_5^5 \hat{z} \quad (3.34)$$

$$\omega_6 = \omega_5 + {}^0R\dot{\theta}_6^6 \hat{z} \quad (3.35)$$

$$\omega_7 = \omega_6 + {}^0R\dot{\theta}_7^7 \hat{z} \quad (3.36)$$

$$\omega_8 = \omega_7 + {}^0R\dot{\theta}_8^8 \hat{z} \quad (3.37)$$

$$\omega_9 = \omega_8 + {}^0R\dot{\theta}_9^9 \hat{z} \quad (3.38)$$

$$\omega_{10} = \omega_9 + {}^0R\dot{\theta}_{10}^{10} \hat{z} \quad (3.39)$$

$$\omega_{11} = \omega_{10} + {}^0R\dot{\theta}_{11}^{11} \hat{z} \quad (3.40)$$

$$\omega_{12} = \omega_{11} + {}^0R\dot{\theta}_{12}^{12} \hat{z} \quad (3.41)$$

donde $\omega_0 = [0, 0, 0]^T$ es la velocidad angular del marco \sum_0 .

Una vez que las velocidades lineales y angulares del centro de masa son obtenidas, se procede a calcular la energía cinética del sistema dada por la siguiente ecuación:

$$K = \frac{1}{2}m_1|\mathbf{v}_1|^2 + \frac{1}{2}\omega_2^{xx}I_1\omega_1 - \frac{1}{2}m_2|\mathbf{v}_2|^2 + \frac{1}{2}\omega_3^{xx}I_2\omega_3 + \quad (3.42)$$

$$\frac{1}{2}m_3|\mathbf{v}_3|^2 + \frac{1}{2}\omega_6^{xx}I_3\omega_5 - \frac{1}{2}m_4|\mathbf{v}_4|^2 + \frac{1}{2}\omega_7^{xx}I_4\omega_6 +$$

$$\frac{1}{2}m_5|\mathbf{v}_5|^2 + \frac{1}{2}\omega_{10}^{xx}I_5\omega_9 + \frac{1}{2}m_6|\mathbf{v}_6|^2 + \frac{1}{2}\omega_{12}^{xx}I_6\omega_{11}$$

donde m_1 a m_6 representan las masas del robot NAO, cuyos valores se describen en la Tabla 3.9, 0I_c representa el tensor de inercia del eslabón c con respecto al marco \sum_0 , los cuales son obtenidos mediante la siguiente relación [50].

$${}^0I_c = R_c I_c R_c^T, \quad (3.43)$$

donde

$$R_c = {}^0R({}^M_a R(0)^{-1}), \quad (3.44)$$

3. Modelado del robot NAO

con nR siendo la matriz de relación del marco \sum_0 al marco \sum_n , y ${}^M R(0)$ la matriz de rotación constante ($\theta_i = 0$ para $i = 1, 2, \dots, 12$) del marco \sum_M al marco \sum_n , siendo n el marco anterior al eslabón c . Los valores de los tensores de inercia I_c , de cada eslabón con respecto a su centro de masa, se describen en la Tabla 3.10.

Para el cálculo de la energía potencial V , es necesario calcular la altura de cada centro de masa medida con respecto al marco fijo \sum_0 , la cual se puede expresar como:

$$h_1 = p_{m_{1x}} \quad (3.45)$$

$$h_2 = p_{m_{2x}} \quad (3.46)$$

$$h_3 = p_{m_{3x}} \quad (3.47)$$

$$h_4 = p_{m_{4x}} \quad (3.48)$$

$$h_5 = p_{m_{5x}} \quad (3.49)$$

$$h_6 = p_{m_{6x}} \quad (3.50)$$

Se utiliza la componente en x de p_{mc} ya que como está referido al marco \sum_0 , x_0 indica la altura.

Luego se sustituyen las ecuaciones de (3.45)-(3.50) en la siguiente ecuación

$$V = m_1 g h_1 + m_2 g h_2 + m_3 g h_3 + m_4 g h_4 + m_5 g h_5 + m_6 g h_6 \quad (3.51)$$

donde g representa la magnitud de la fuerza de gravedad.

El siguiente paso es calcular el Lagrangiano del sistema, donde se hará uso de las ecuaciones (3.42) y (3.51), el cual se define como:

$$L = K - V \quad (3.52)$$

Ahora es posible aplicar la ecuación de movimiento de Euler-Lagrange dada por

$$\ddot{r}_i = \frac{d}{dt} \left[\frac{\partial L}{\partial \dot{r}_i} \right] - \frac{\partial L}{\partial \theta_i}, \quad (3.53)$$

donde $i = 1, 2, 3, \dots, 12$ y r_i es el par aplicado en el eje de giro de la coordenada generalizada, esto es, el par aplicado en cada uno de los ejes de giro en el tobillo, la rodilla y la cadera del pie de soporte y en el tobillo, la rodilla y la cadera del pie libre.

3. Modelado del robot NAO

La ecuación generalizada de movimiento de cada actuador considerando $M(\theta)$ para el efecto inercial, $C(\theta, \dot{\theta})$ para efecto centrifugo y de coriolis, y $G(\theta)$ para el efecto gravitatorio se describe en la ecuación (3.54).

$$\tau = M(\theta)\ddot{\theta} + C(\theta, \dot{\theta}) + G(\theta) \quad (3.54)$$

El modelo dinámico obtenido es usado en las simulaciones del Capítulo 6, dado más adelante.

Capítulo 4

Patrón de Marcha del Robot NAO

Para la descripción de la cadena cinemática de las piernas del robot, a los eslabones de éstas se les asignan marcos de referencia ortonormales aplicando la convención modificada de Denavit-Hartenberg (Khalil y Kleisinger, 1986). Bajo esta convención, dichos marcos se numeran de manera consecutiva desde el cero, asignado al eslabón fijo (pie de apoyo), hasta el 12, asignado al eslabón que corresponde al pie en desplazamiento (pie libre) durante la marcha. En consecuencia, y tomando en cuenta que durante el proceso de marcha la función del pie de apoyo y la del pie libre la realizan de manera alternativa los pies izquierdo y derecho, se establecerán dos conjuntos de marcos de referencia a la misma cadena cinemática: el primero se aplicará cuando el pie apoyado sea el derecho (pda), y el segundo sea el pie izquierdo el de soporte (pia).

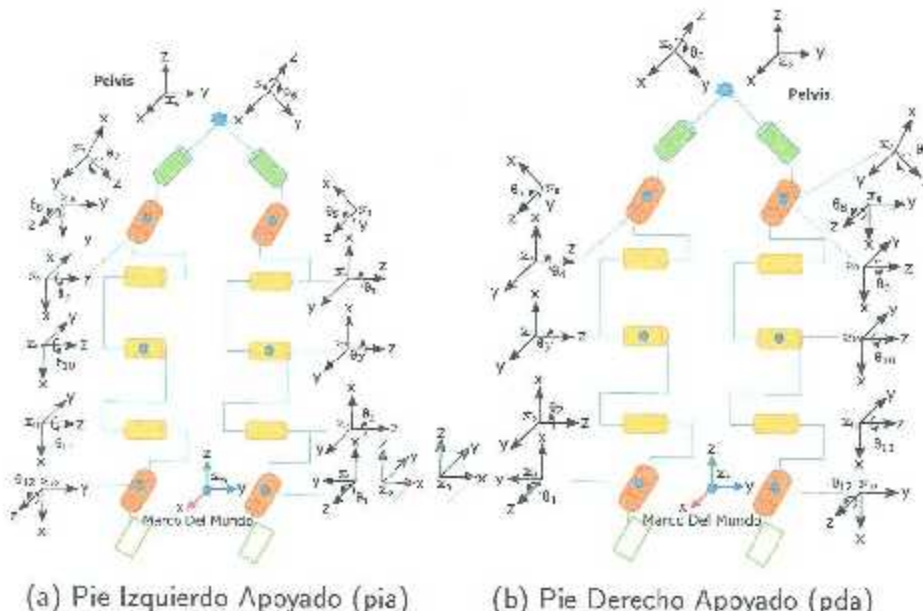


Figura 4.1: Marcos de las piernas en cada apoyo

El patrón de marcha se basa en leyes de movimiento de tipo cíclico. Estos patrones están basados en la propuesta [47] y [48], sin embargo los parámetros que definen estos patrones de marcha, en el caso del robot NAO, han sido elegidos de tal forma que el robot pueda realizar el caminado. Las trayectorias propuestas permiten que el robot inicie en una posición casi vertical y que desplace su cadera hacia un lazo al momento de dar un paso, ayudando de esta forma a posicionar el centro de masa con el polígono de soporte con la finalidad de que la marcha sea estable. Para lograr posicionar el centro de masa con el polígono de soporte, se utilizó el programa "webots for nao". Para el robot NAO estas trayectorias se definen mediante las siguientes ecuaciones:

Para la cadera.

$$x_{\text{pat}} = \begin{cases} x_{ci} + v_c t, & \text{si } 0 < t \leq T_1 \\ x_{ci} + \frac{s}{2}, & \text{si } T_1 < t \leq T \end{cases}$$

$$z_{\text{pat}} = \begin{cases} z_{ci} + h_z \left[\frac{2t}{T_1} - \frac{1}{2\pi} \sin \left(\frac{4t\pi}{T_1} \right) \right], & \text{si } 0 < t \leq \frac{T_1}{2} \\ z_{ci} + h_z \left[1 - \left(\frac{2t - T_1}{T_1} - \frac{1}{2\pi} \sin \left(\frac{4(t-T_1)\pi}{T_1} \right) \right) \right], & \text{si } \frac{T_1}{2} < t \leq T_1 \\ z_{ci}, & \text{si } T_1 < t \leq T \end{cases}$$

$$y_{\text{pat}} = \begin{cases} y_{ci} + f_z \left[\frac{2t}{T_1} - \frac{1}{2\pi} \sin \left(\frac{4t\pi}{T_1} \right) \right], & \text{si } 0 < t \leq \frac{T_1}{2} \\ y_{ci} + f_z \left[1 - \left(\frac{2t - T_1}{T_1} - \frac{1}{2\pi} \sin \left(\frac{4(t-T_1)\pi}{T_1} \right) \right) \right], & \text{si } \frac{T_1}{2} < t \leq T_1 \\ y_{ci}, & \text{si } T_1 < t \leq T \end{cases}$$

Para el pie libre

$$x_{pel} = \begin{cases} x_{pel,i} + s \left[\frac{t}{T_1} - \frac{1}{2\pi} \operatorname{sen} \left(\frac{2\pi t}{T_1} \right) \right], & \text{si } 0 < t \leq T_1 \\ x_{pel,i} + s_i & \text{si } T_1 < t \leq T \end{cases}$$

$$z_{pel} = \begin{cases} h_p \left[\frac{2t}{T_1} - \frac{1}{2\pi} \operatorname{sen} \left(\frac{4t\pi}{T_1} \right) \right], & \text{si } 0 < t \leq \frac{T_1}{2} \\ h_p - h_o \left[1 - \left(\frac{2t - T_1}{T_1} - \frac{1}{2\pi} \operatorname{sen} \left(\frac{4(t-T_1)\pi}{T_1} \right) \right) \right], & \text{si } \frac{T_1}{2} < t \leq T_1 \end{cases}$$

dónde:

$$\begin{aligned} X_{pel} &= \text{Posición deseada de la pelvis en } X_M. \\ x_{oi} &= \text{Posición inicial de la pelvis en } X_M. \\ v_c &= \text{Velocidad de desplazamiento en } X_M. \\ Z_{pel} &= \text{Posición deseada de la pelvis en } Z_M. \\ z_{ci} &= \text{Posición inicial de la pelvis en } Z_M. \\ H_c &= \text{Desplazamiento máximo de la pelvis en } Z_M. \\ Y_{pel} &= \text{Posición deseada de la pelvis en } Y_M. \\ y_{ci} &= \text{Posición inicial de la pelvis en } Y_M. \\ f_c &= \text{Desplazamiento máximo de la pelvis en } Y_M. \end{aligned}$$

$$\begin{aligned} X_{pie} &= \text{Posición deseada del pie libre en } X_M. \\ X_{pini} &= \text{Posición inicial del pie libre en } X_M. \\ S &= \text{Longitud del paso del robot.} \\ Z_{pie} &= \text{Posición deseada del pie libre en } Z_M. \\ H_p &= \text{Altura del pie máxima.} \end{aligned}$$

Capítulo 5

Control de marcha mediante seguimiento de trayectorias

Utilizando los patrones de marcha, el modelado dinámico y las ecuaciones cinemáticas anteriormente descritas, se han realizado simulaciones en Simulink/MATLAB que permiten evaluar los paros aplicados por los motores durante el caminado del robot humanoide NAO. Se probó el funcionamiento del controlador PID simple. El desempeño de este controlador fue probado con una trayectoria de caminado que considera la fase de doble soporte instantánea, además de una posición completamente vertical del robot humanoide NAO.

5.1. Ley de control PID

La ley de control PID está definida por la siguiente ecuación:

$$\tau = K_p \tilde{\theta} + K_v \dot{\tilde{\theta}} - K_i \int_0^t \tilde{\theta}(t) dt \quad (5.1)$$

donde $\tilde{\theta} = \theta_d - \theta$ y $\dot{\tilde{\theta}} = \dot{\theta}_d - \dot{\theta}$ denotan los vectores de error de posición y velocidad articular respectivamente, con $K_p = \text{diag}\{3000, 1700, 750, 300, 600, 500, 200, 40, 200, 30, 100, 50\}$, $K_v = \text{diag}\{3000, 1700, 750, 300, 600, 500, 200, 40, 200, 30, 50, 20\}$, y $K_i = \text{diag}\{3000, 1700, 750, 300, 600, 500, 200, 40, 200, 30, 30, 10\}$ matrices definidas positivas. Estas ganancias fueron ajustadas manualmente de tal forma que el par aplicado por el controlador no fuera demasiado demandante.

En la Figura 5.1 se observa el diagrama a bloques del control del robot NAO; en él se observa el bloque “planificación de trayectorias”. Este bloque contiene las ecuaciones que describen las trayectorias deseadas x_d y velocidades deseadas \dot{x}_d de la pelvis y del pie libre.

5. Control de marcha mediante seguimiento de trayectorias

Estas trayectorias corresponden al patrón de marcha visto en el Capítulo 4. Dichas trayectorias deseadas entran al bloque de la “Cinemática Inversa”, el cual contiene las ecuaciones del modelado cinemático inverso de posición de las piernas, así como también las ecuaciones del modelado de velocidad, por lo tanto en dicho bloque se calculan las posiciones articulares deseadas q_d y las velocidades articulares deseadas \dot{q}_d . Estas variables entran al bloque sumador para poder hacer la diferencia entre la posición y velocidad deseada contra la posición y velocidad actual del robot, para después entrar al bloque de “control”, el cual contiene la ley de control PID. Las salidas del controlador son los pares ejercidos por los motores, estos pares entran al bloque “Modelado Dinámico” para poder calcular las aceleraciones de los motores, después se integran para poder obtener las velocidades y finalmente se vuelven a integrar para poder obtener las posiciones.

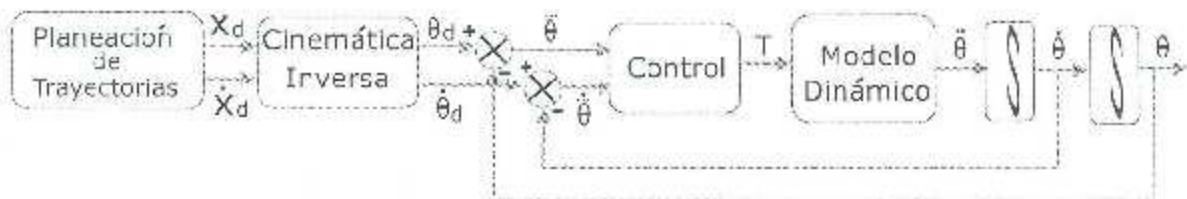


Figura 5.1: Diagrama a bloques del control de marcha mediante seguimiento de trayectorias del robot NAO

En la Figura 5.2 se muestra el controlador PID. Este controlador se realizó en Simulink de MATLAB, siguiendo el diagrama a bloques del controlador NAO. Los resultados obtenidos por este controlador se muestran en el capítulo siguiente.

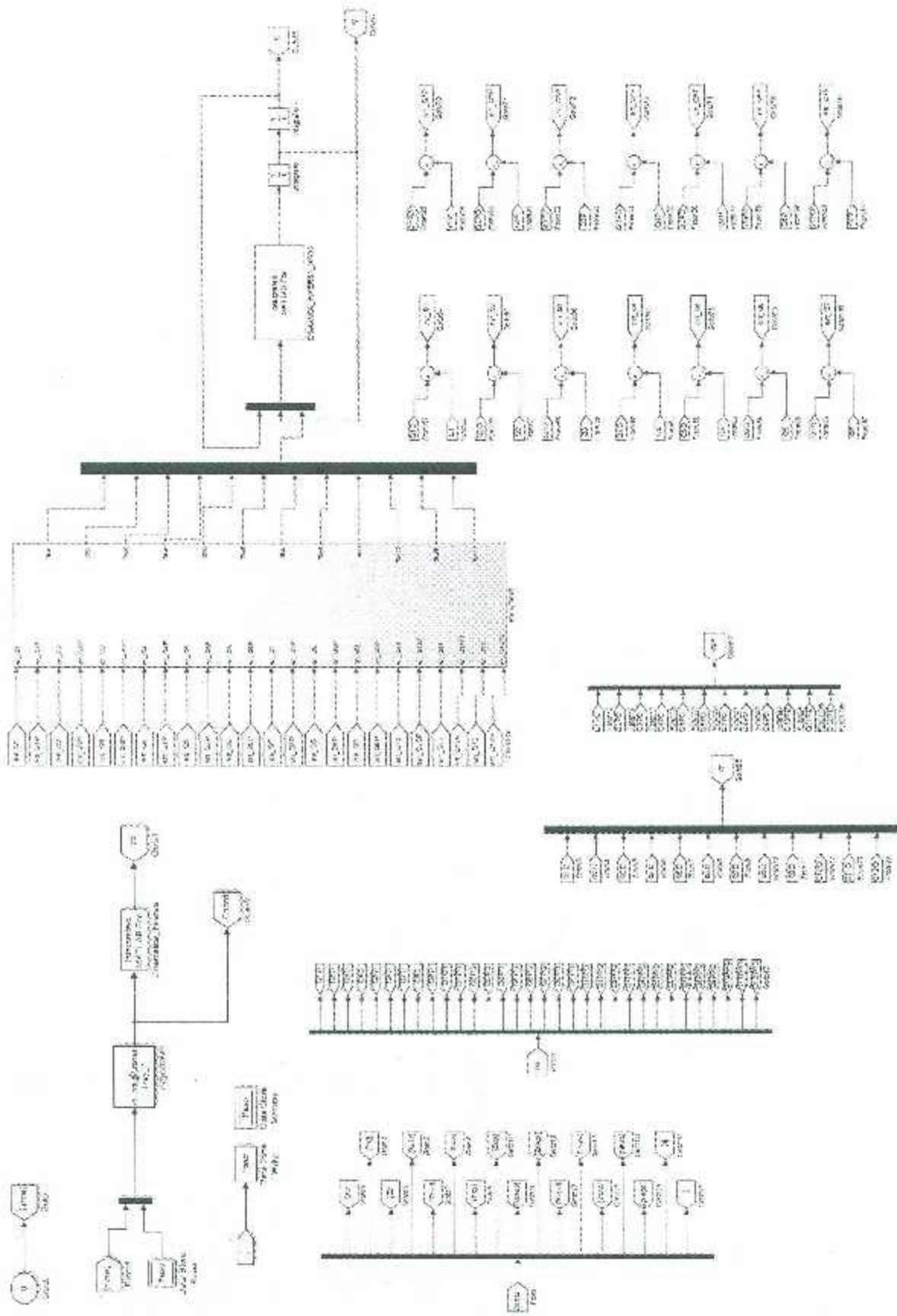


Figura 5.2: Control de seguimiento de trayectorias

Capítulo 6

Simulaciones

Una vez obtenidos los patrones de marcha, las ecuaciones que representan la cinemática directa e inversa, como también las ecuaciones que representan al modelo dinámico descritos anteriormente, se han realizado simulaciones en MATLAB y Simulink que permiten evaluar las posiciones articulares de las piernas del robot NAO durante toda su marcha, como también las velocidades y aceleraciones articulares, y finalmente los pares aplicados por los motores.

Las ecuaciones que especificar el patrón de marcha que se asigna al robot NAO son las que se proporcionan en el Capítulo 4. Los valores que se utilizan para los parámetros del patrón de marcha se proporcionan en la Tabla 6.1.

A continuación, en la Figura 6.1 se muestra la simulación del caminado del robot NAO, realizada en MATLAB; como se puede observar en la figura, el robot dará 4 pasos antes de detener su marcha, también se observa que el robot inclina su cadera hacia la izquierda y hacia la derecha, esto lo hace con la finalidad de posicionar su centro de masa con el polígono de soporte al momento de dar un paso, de lo contrario el robot no podría caminar.

En la Figura 6.2 se muestra que la pelvis siempre permanece cercana en cada instante del caminado, esto es gracias al patrón de marcha especificarlo a fin de generar un caminado cinemáticamente factible sobre un plano horizontal. En la simulación efectuada, a fin de simplificar el modelado de la cinemática inversa y teniendo en cuenta la arquitectura del NAO, se asumió que el movimiento de la pelvis es traslacional y que la normal a la superficie de la suela del pie oscilante, al momento de aterrizar en cada paso, se mantiene perpendicular a la superficie del piso.

En las Figuras 6.3 y 6.4 se muestran las 12 posiciones articulares de las piernas del robot NAO durante todo su caminado. Como se observa en las articulaciones 6 y 7, θ_6 y θ_7 son iguales entre sí en todo instante durante la marcha, condición que es compatible con las restricciones impuestas por la transmisión de potencia hacia las articulaciones 6 y 7 y, por lo tanto, la marcha del robot es factible para el patrón de marcha especificado.

Tabla 6.1: Parámetros Del Patrón de marcha del robot NAO

Parámetros	Unidades	Magnitud
n_s	Pasos	4
x_o	mm	15
v_c	mm/seg	6
z_{ex}	mm	245
h_x	mm	0
y_{zi}	mm	0
f_z	mm	± 40
S	mm	60
h_y	mm	15

Una vez obtenidas las gráficas de posiciones articulares de las 12 articulaciones de las piernas del robot, se procede a obtener las gráficas de velocidad durante cada paso que realiza el robot NAO, estas gráficas se pueden observar en las Figuras 6.5 y 6.6.

Asimismo, ya que se obtuvieron las gráficas de posición y de velocidad, se procedió a obtener las gráficas de aceleraciones articulares, véase las Figuras 6.7 y 6.8, donde se muestran las aceleraciones articulares de cada articulación durante cada paso que realiza el robot NAO durante su marcha.

Los resultados obtenidos del control de marcha mediante seguimiento de trayectorias se presentan a continuación. A partir de las Figura 6.9 a la 6.20 se muestran las posiciones articulares de las piernas durante la tarea de seguimiento, donde la señal de color azul es la señal de referencia, y la señal de color rosa representa la señal de seguimiento del controlador PID. Las Figuras 6.21 - 6.32 muestran los errores de posición articular durante la realización de la tarea de seguimiento. Finalmente las Figuras 6.33 - 6.44 muestran los pares articulares.

6. Simulaciones

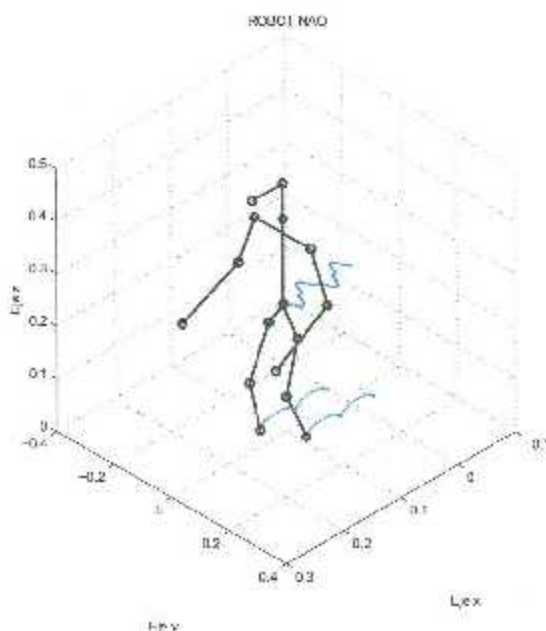


Figura 6.1: Vista frontal del caminado del robot NAO

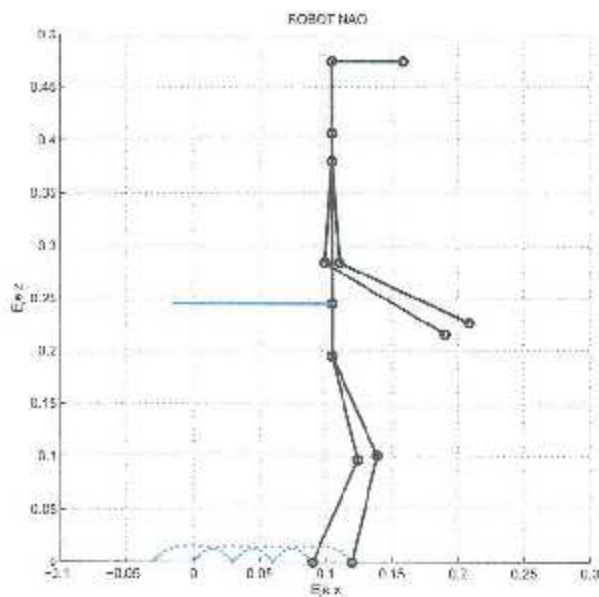


Figura 6.2: Vista lateral del caminado del robot NAO

6. Simulaciones

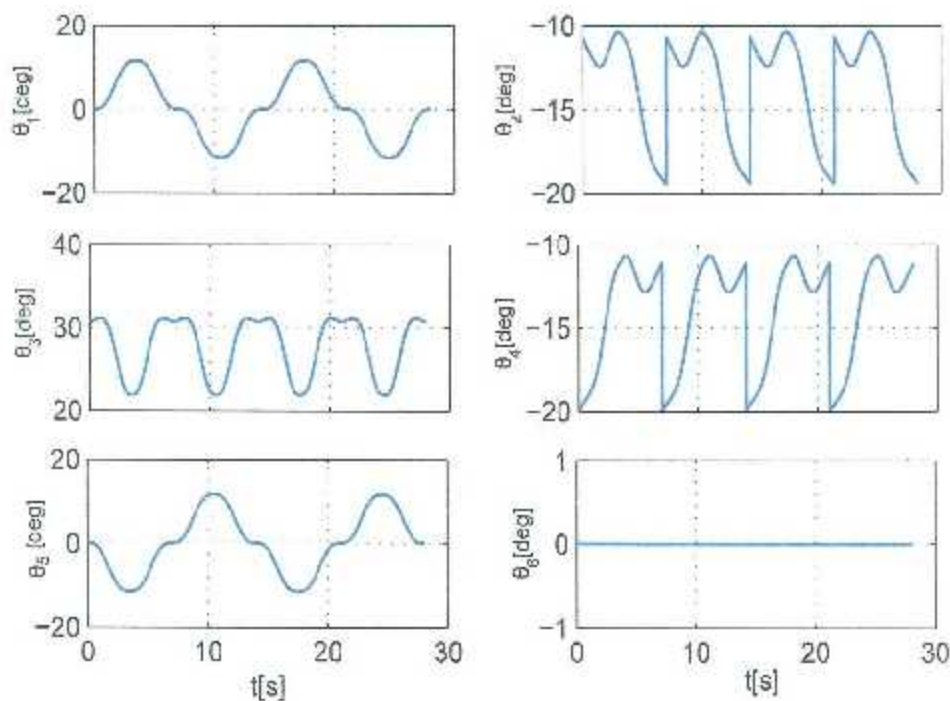


Figura 6.3: Posiciones articulares de θ_1 a θ_6 durante el caminado del robot NAO

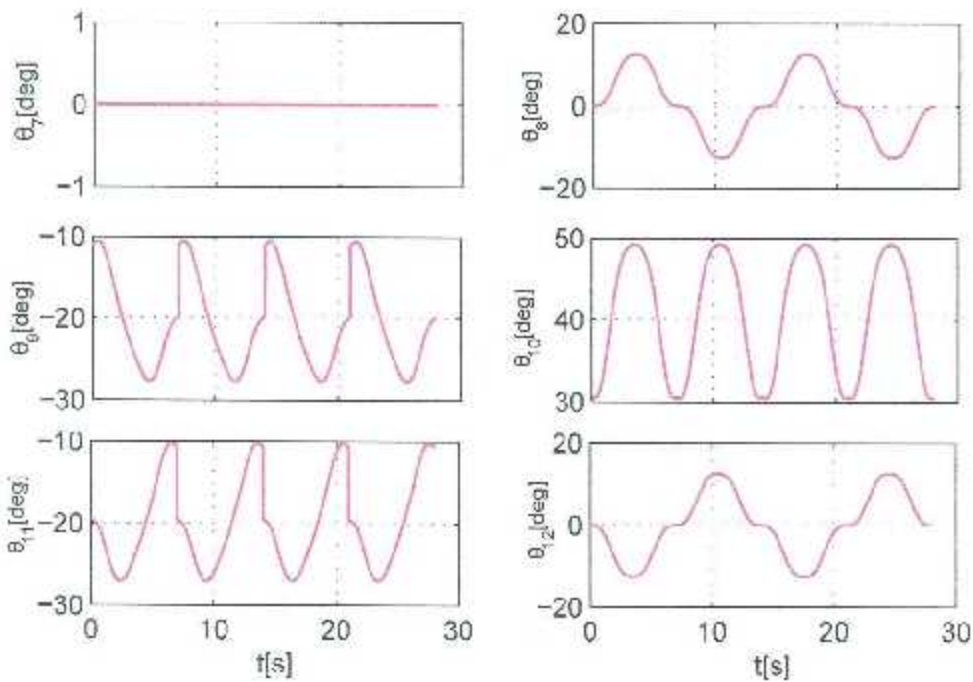


Figura 6.4: Posiciones articulares de θ_7 a θ_{12} durante el caminado del robot NAO

6. Simulaciones

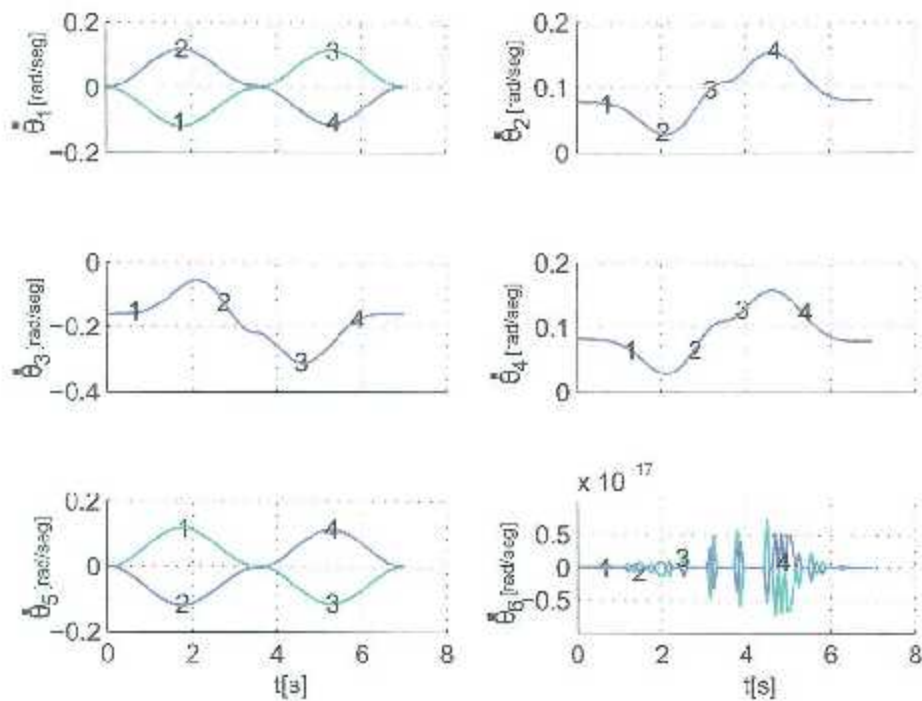


Figura 6.5: Velocidades articulares de $\dot{\theta}_1$ a $\dot{\theta}_6$ durante el caminado del robot NAO

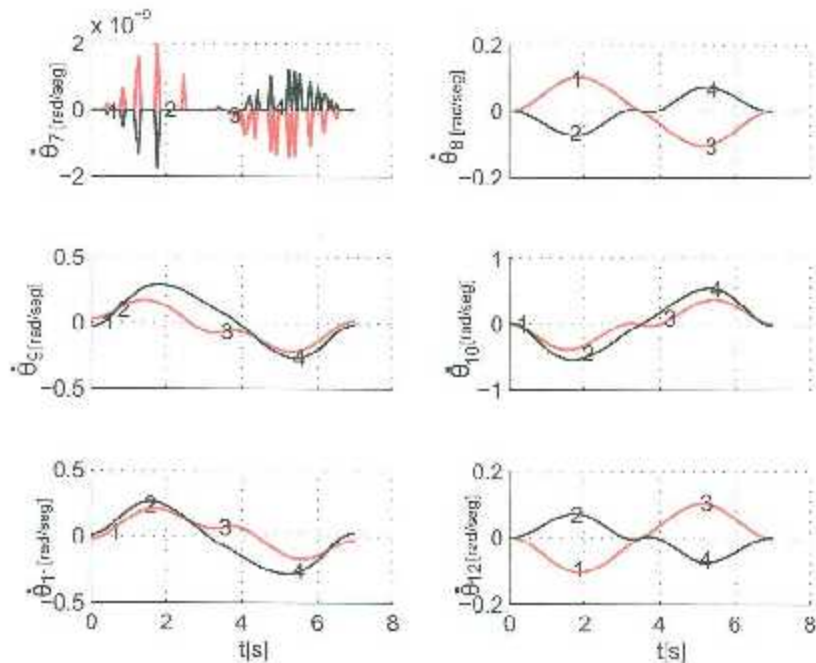


Figura 6.6: Velocidades articulares de $\dot{\theta}_7$ a $\dot{\theta}_{12}$ durante el caminado del robot NAO

6. Simulaciones

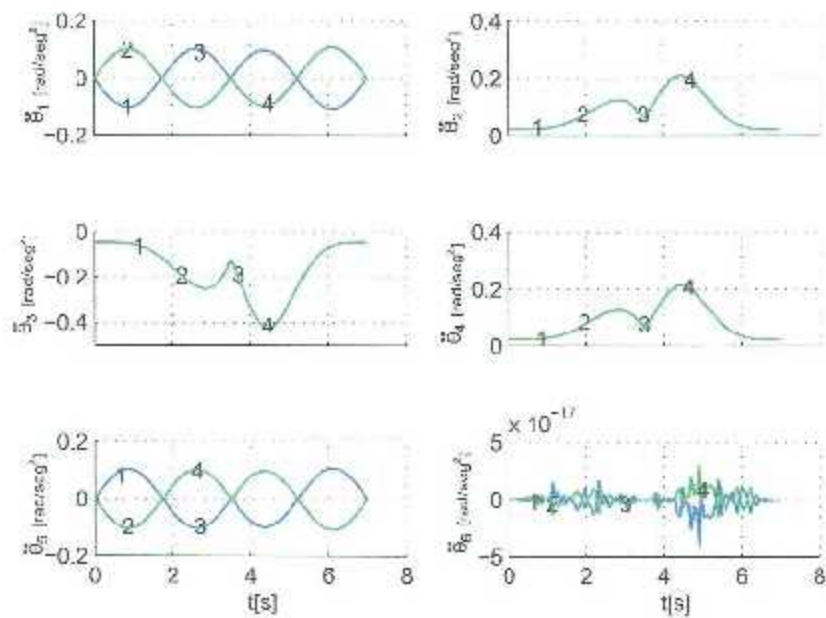


Figura 6.7: Aceleraciones articulares de $\ddot{\theta}_1$ a $\ddot{\theta}_6$ durante el caminado del robot NAO

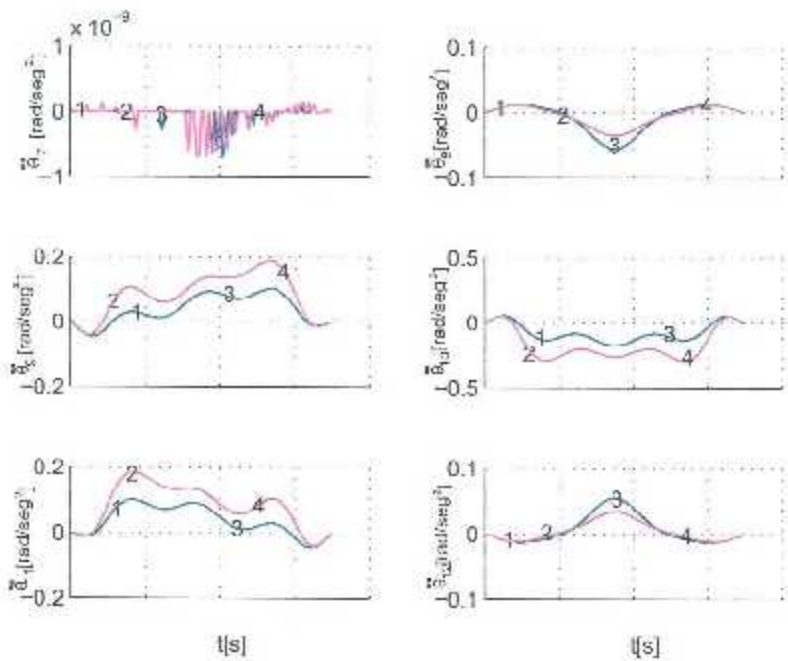


Figura 6.8: Aceleraciones articulares de $\ddot{\theta}_7$ a $\ddot{\theta}_{12}$ durante el caminado del robot NAO

6. Simulaciones

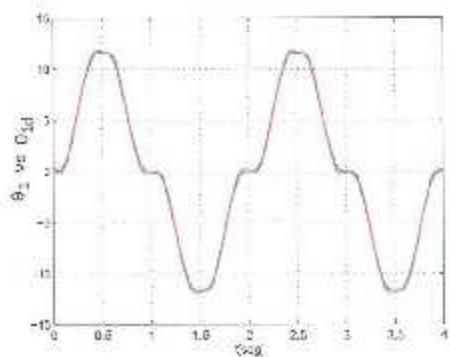


Figura 6.9: Posición articular θ_1 contra la posición deseada θ_{1d} de la pierna durante la tarea se seguimiento.

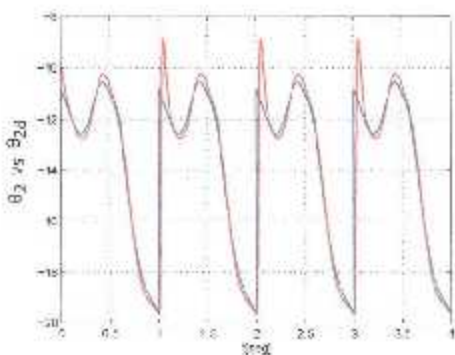


Figura 6.10: Posición articular θ_2 contra la posición deseada θ_{2d} de la pierna durante la tarea se seguimiento.

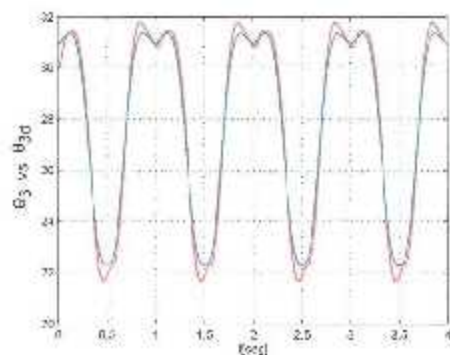


Figura 6.11: Posición articular θ_3 contra la posición deseada θ_{3d} de la pierna durante la tarea se seguimiento.

6. Simulaciones

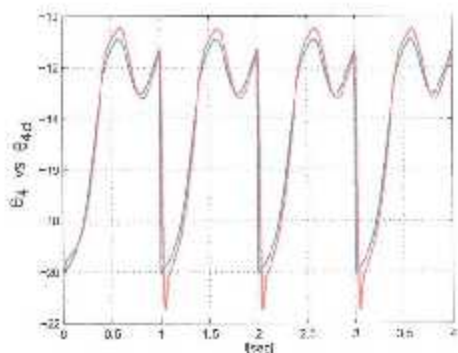


Figura 6.12: Posición articular θ_4 contra la posición deseada θ_{4d} de la pierna durante la tarea se seguimiento.

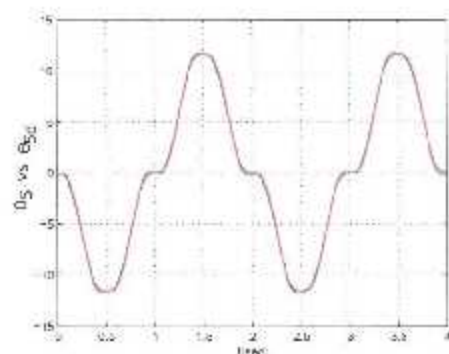


Figura 6.13: Posición articular θ_5 contra la posición deseada θ_{5d} de la pierna durante la tarea se seguimiento

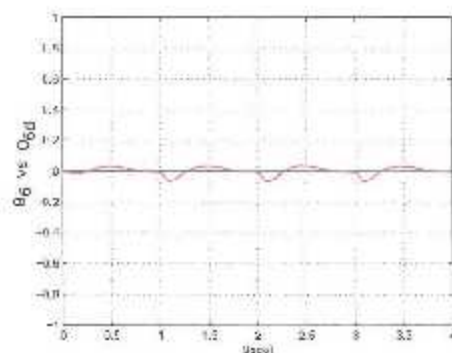


Figura 6.14: Posición articular θ_6 contra la posición deseada θ_{6d} de la pierna durante la tarea se seguimiento

6. Simulaciones

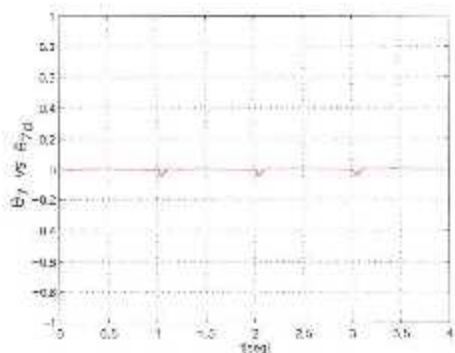


Figura 6.15: Posición articular θ_7 contra la posición deseada θ_{7d} de la pierna durante la tarea se seguimiento

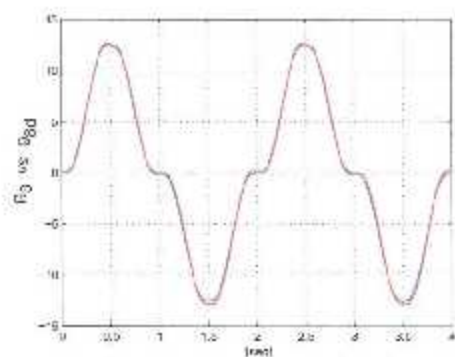


Figura 6.16: Posición articular θ_8 contra la posición deseada θ_{8d} de la pierna durante la tarea se seguimiento

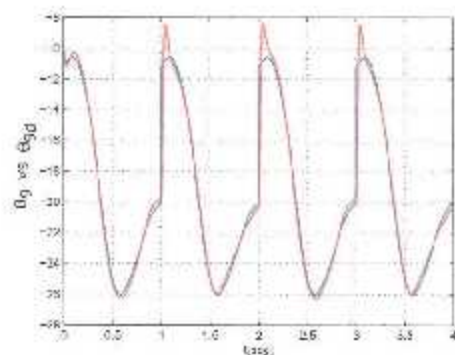


Figura 6.17: Posición articular θ_9 contra la posición deseada θ_{9d} de la pierna durante la tarea se seguimiento

6. Simulaciones

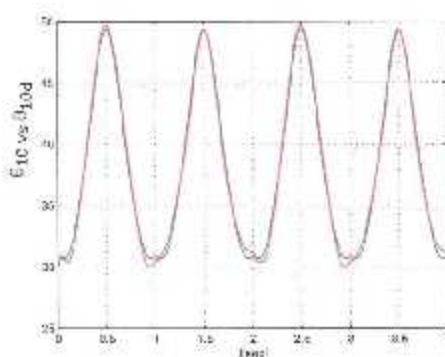


Figura 6.18: Posición articular θ_{10} contra la posición deseada θ_{10d} de la pierna durante la tarea se seguimiento

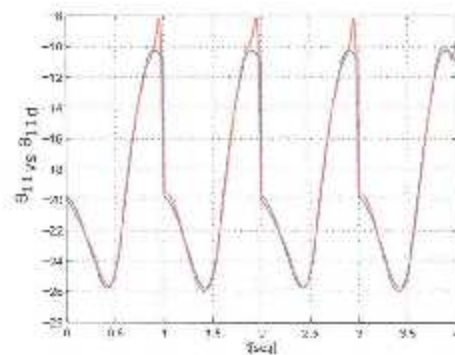


Figura 6.19: Posición articular θ_{11} contra la posición deseada θ_{11d} de la pierna durante la tarea se seguimiento

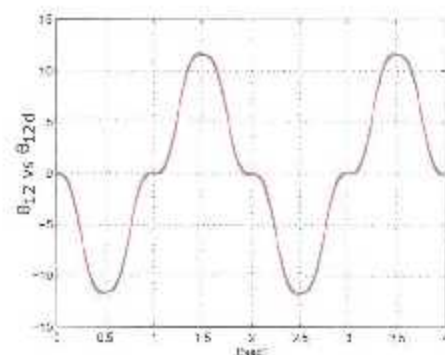


Figura 6.20: Posición articular θ_{12} contra la posición deseada θ_{12d} de la pierna durante la tarea se seguimiento

6. Simulaciones

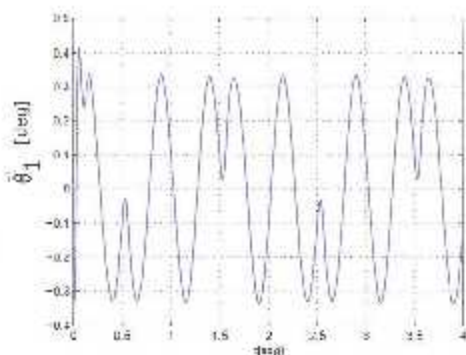


Figura 6.21: Error de posición articular durante la realización de la tarea de seguimiento $\tilde{\theta}_1$

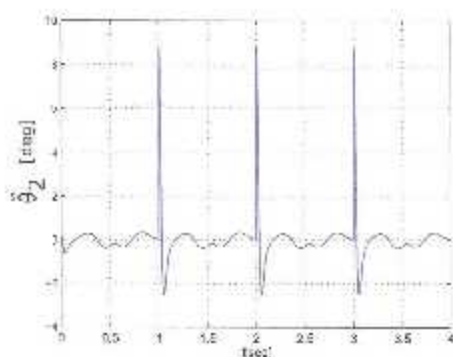


Figura 6.22: Error de posición articular durante la realización de la tarea de seguimiento $\tilde{\theta}_2$

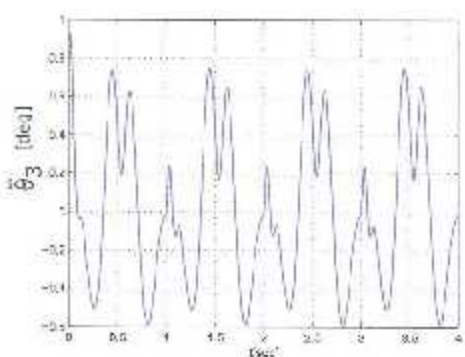


Figura 6.23: Error de posición articular durante la realización de la tarea de seguimiento $\tilde{\theta}_3$

6. Simulaciones

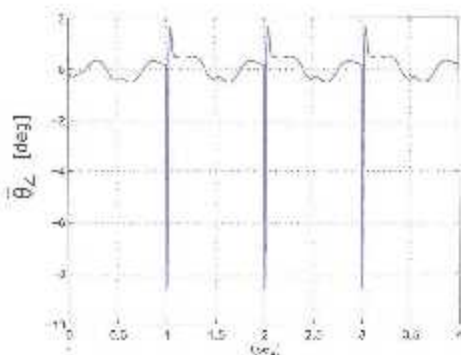


Figura 6.24: Error de posición articular durante la realización de la tarea de seguimiento $\bar{\theta}_4$

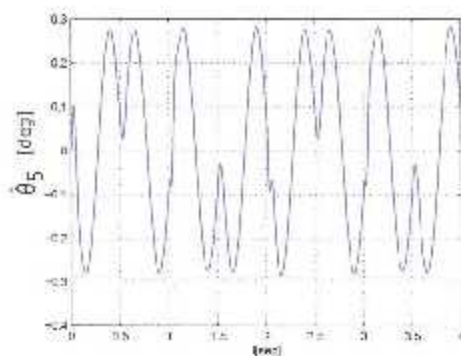


Figura 6.25: Error de posición articular durante la realización de la tarea de seguimiento $\bar{\theta}_5$

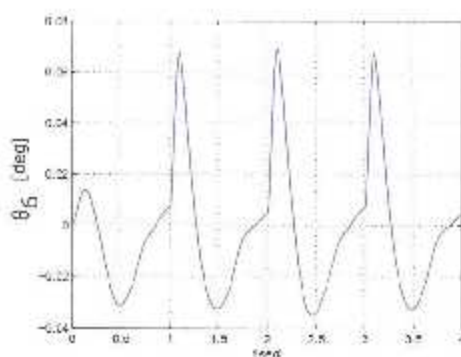


Figura 6.26: Error de posición articular durante la realización de la tarea de seguimiento $\bar{\theta}_6$

6. Simulaciones

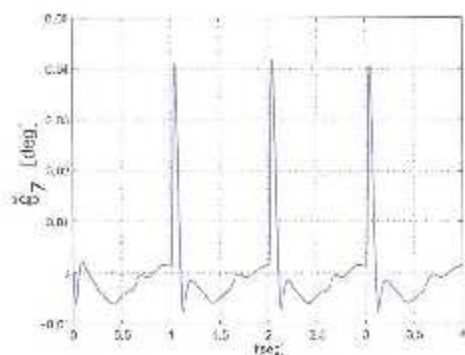


Figura 6.27: Error de posición articular durante la realización de la tarea de seguimiento $\dot{\theta}_7$

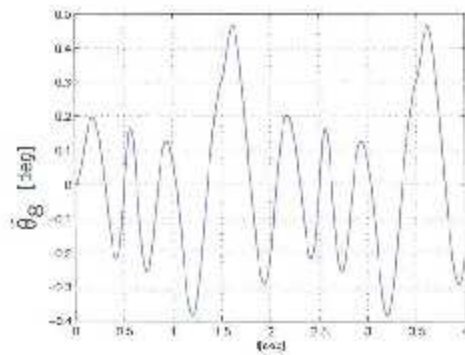


Figura 6.28: Error de posición articular durante la realización de la tarea de seguimiento $\dot{\theta}_8$

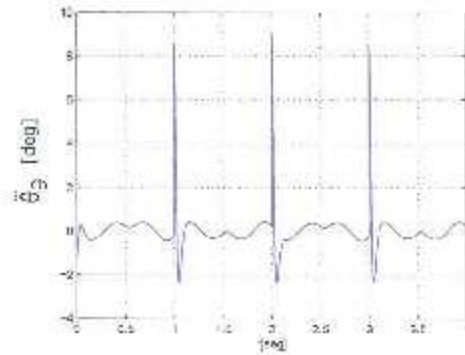


Figura 6.29: Error de posición articular durante la realización de la tarea de seguimiento $\dot{\theta}_9$

6. Simulaciones

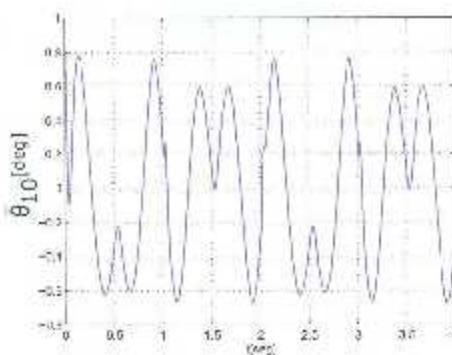


Figura 6.30: Error de posición articular durante la realización de la tarea de seguimiento $\tilde{\theta}_{10}$

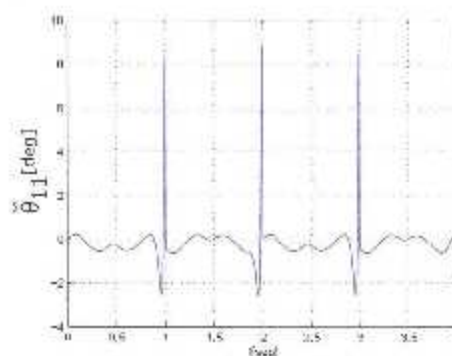


Figura 6.31: Error de posición articular durante la realización de la tarea de seguimiento $\tilde{\theta}_{11}$

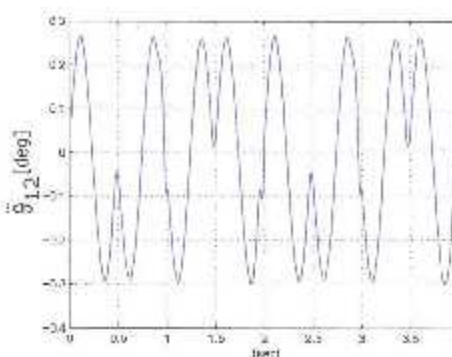


Figura 6.32: Error de posición articular durante la realización de la tarea de seguimiento $\tilde{\theta}_{12}$

6. Simulaciones

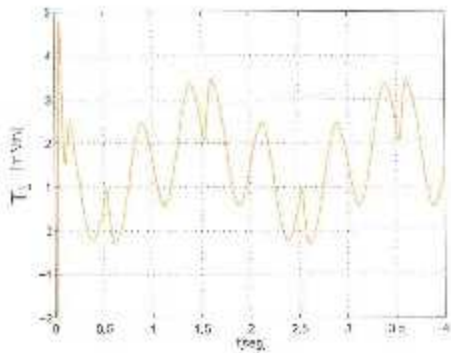


Figura 6.33: Par articular τ_1

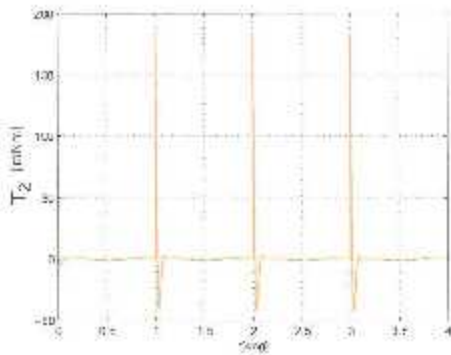


Figura 6.34: Par articular τ_2

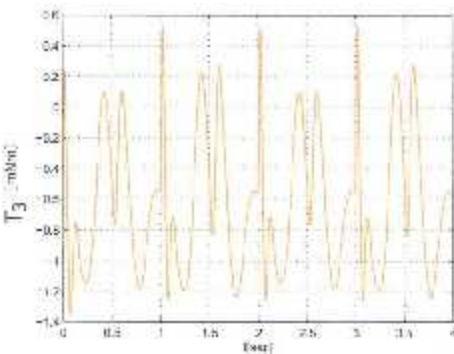


Figura 6.35: Par articular τ_3

6. Simulaciones

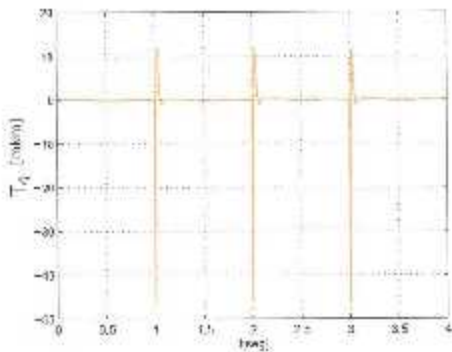


Figura 6.36: Par articular τ_4

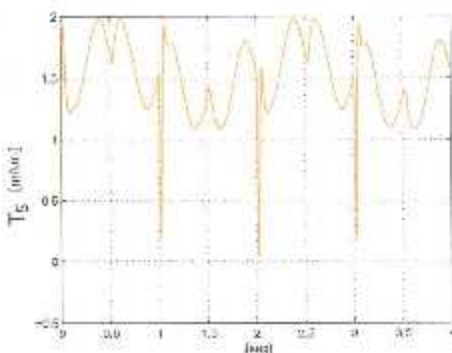


Figura 6.37: Par articular τ_5

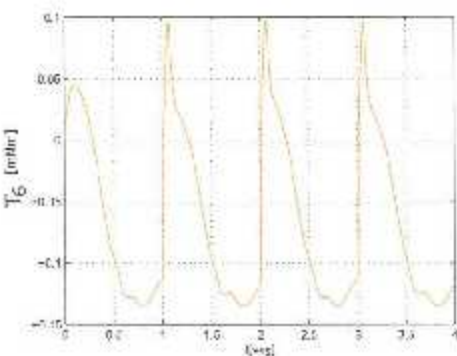


Figura 6.38: Par articular τ_6

6. Simulaciones

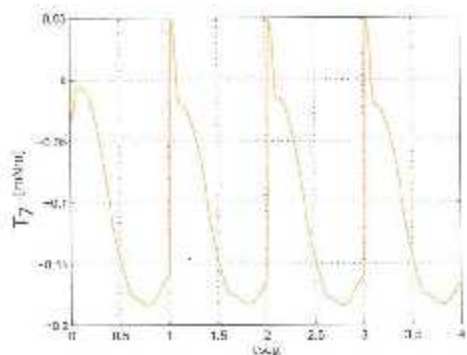


Figura 6.39: Par articular T_7

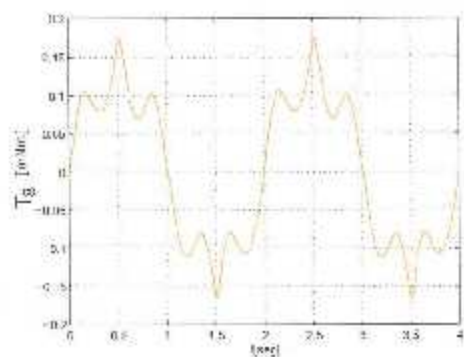


Figura 6.40: Par articular T_8

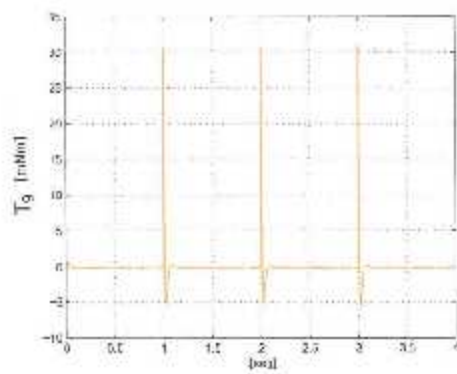


Figura 6.41: Par articular T_9

6. Simulaciones

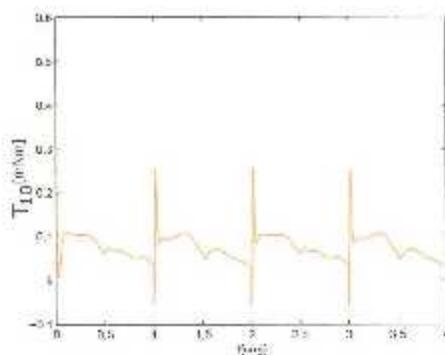


Figura 6.42: Par articular τ_{10}

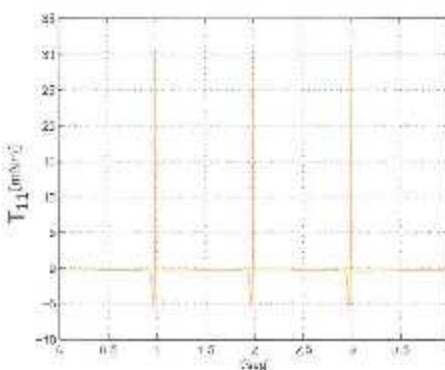


Figura 6.43: Par articular τ_{11}

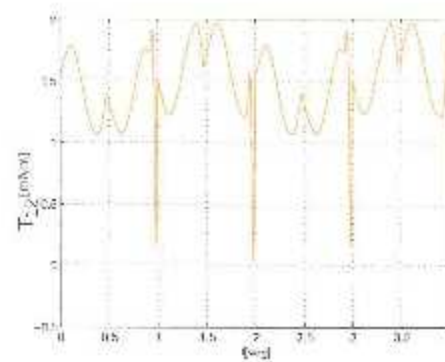


Figura 6.44: Par articular τ_{12}

Capítulo 7

Evaluación experimental

Mediante el programa Webots de NAO, se realizó una serie de experimentos del robot a fin de efectuar un análisis preliminar de la marcha basada en leyes de tipo cicloidal, considerando solamente la cinemática del humanoide. Después de realizar los experimentos en Webost, y con la certeza de que el patrón de marcha es factible, se procedió a realizar el experimento físicamente con el robot NAO. En este capítulo se describen los resultados obtenidos en tales experimentos. Para simplificar el protocolo de comunicación entre la computadora y el robot, se utilizó un programa Python que sirve como módulo de control para transmitir la información por el puerto ethernet del ordenador al robot NAO.

Los pasos que hay que seguir para conectar al robot NAO con nuestro ordenador se presentan a continuación.

1. Remover la cubierta ubicada detrás de la cabeza para tener acceso al puerto Ethernet.
2. Conectar a NAO el router por medio del cable Ethernet.
3. Encender a NAO.
4. Obtener la dirección IP del NAO presionando el botón del torso. Haciendo esto NAO dice su dirección IP.
5. Abrir un explorador de internet.
6. Escribir la dirección IP del NAO en la barra de dirección y presionar enter.
7. Se abrirá la página de NAO. Escribir el usuario y contraseña por default, es decir “nao” para ambos.
8. Listo, el robot NAO está conectado a la red por el puerto ethernet y ya podemos trabajar con dicho robot.

7. Evaluación experimental

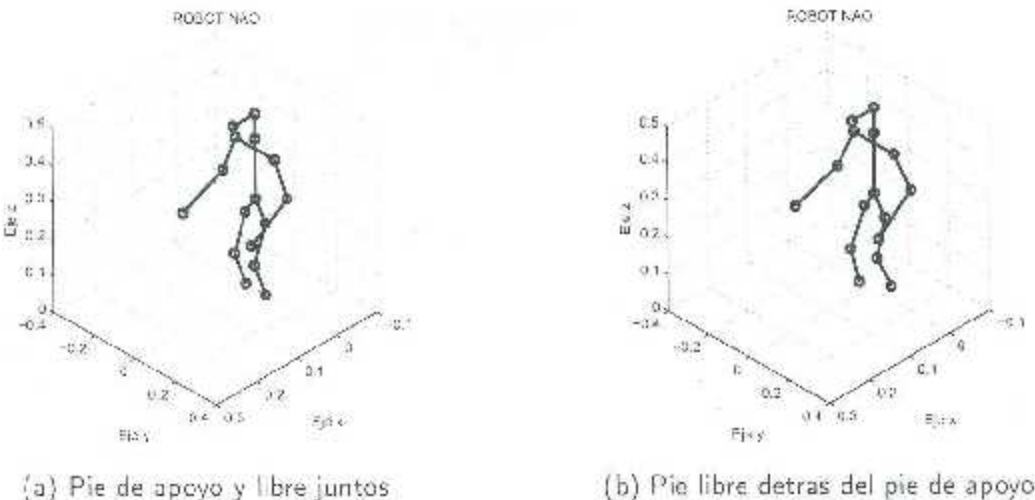


Figura 7.1: Posiciones iniciales del caminado

Para realizar el caminado del robot NAO se propone un patrón de marcha diferente al del capítulo 6, en este caso se propone que el robot inicié su caminado con los dos pies juntos es decir, pie de apoyo y pie libre juntos véase Figura 7.1a , en comparación con el capítulo 6 donde el robot iniciaba su caminado con el pie libre detrás del pie de apoyo como se muestra en la Figura 7.1b. Esto se hace con la finalidad de hacer un caminado más sencillo, los valores de los parámetros utilizados en el patrón de marcha se especifican en la Tabla 7.1.

Realizadas las simulaciones del patrón de marcha hecha en MATLAB véase Figura 7.2, y gracias a la cinemática inversa de posición, se obtienen las consignas de posición de las variables articulares de las piernas del robot NAO durante todo su caminado. Las consignas de posición se guardan en un archivo.txt para después ser exportadas al programa python. Dentro de python se realiza el programa que enviará las consignas de posición a las articulaciones de las piernas del robot NAO. A continuación se muestra paso a paso el programa realizado en python para poder realizar la marcha del robot NAO.

Tabla 7.1: Parámetros Del Patrón de marcha del robot NAO

Parámetros	Unidades	Magnitud
n_s	Pasos	4
x_{ci}	mm	0
v_c	mm/seg	1.5
z_{ci}	mm	245
H_c	mm	0
y_{ci}	mm	0
f_c	mm	-50
S	mm	60
H_p	mm	20

7. Evaluación experimental

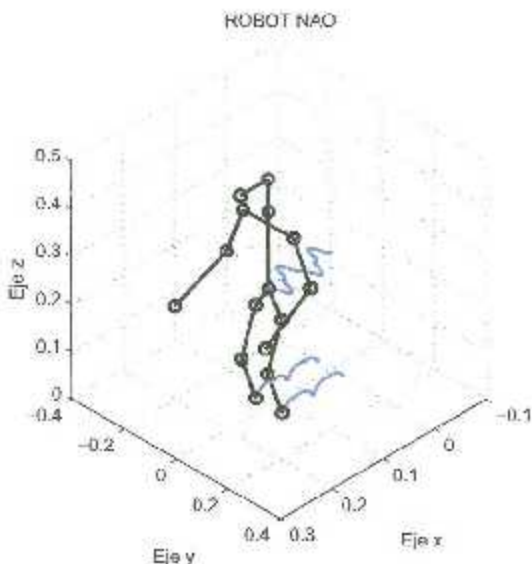


Figura 7.2: Patrón de marcha para el caminado del robot

Como se muestra en la Figura 7.3, lo primero que se hizo fue agregar las librerías necesarias para realizar la prueba, las cuales se muestran en la parte superior de la figura. Enseguida se define el puerto y el proxy, en este caso el proxy a utilizar es *ALMotion* el cual se utiliza para el control de las articulaciones.

Enseguida se define el primer argumento, en este caso *Nombre1*, el cual nos indica el nombre de las articulaciones que se desean mover, en este caso para realizar el primer paso hay que especificar las 12 articulaciones de las piernas, las cuales son, *LAnkleRoll*, *LAnklePitch*, *LKneePitch*, *LHipPitch*, *LHipRoll*, *LHipYawPitch*, *RHipYawPitch*, *RHipRoll*, *RHipPitch*, *RKneePitch*, *RAnklePitch* y *RAnkleRoll*, después se declara *ListaAngulos1*, en el cual van los valores de las consignas de posición en radianes de cada articulación durante todo el caminado. Debido a que el programa es muy extenso sólo se muestra el primer valor de cada articulación. Luego se declara *ListaTiempos1*, es decir la lista de tiempos en segundos para el traslado de cada articulación, en este caso para realizar un paso al robot le toma 20 segundos, el numero de consignas en *ListaTiempol* debe de ser de la misma dimensión que la de *ListaAngulos1*, y por último se declara el parámetro *Absolute1* el cual nos indica el valor booleano *true* para absoluto y *false* para relativo véase Figura 7.4.

Finalmente se llama a la función *motion.angleInterpolation*, la cual recibe los 4 argumentos anteriores y los ejecuta y se define la variable *name* la cual es una palabra reservada del modulo *sys*, el cual es propio de python para definir la función principal, en este caso se define la dirección IP del robot NAO véase Figura 7.5.

En las Figuras 7.6a - 7.17a se muestran las gráficas de las 12 posiciones articulares

7. Evaluación experimental

```
import sys
import time
import math
from naoqi import ALProxy

def main(robotIP):
    PORT=9559
    try:
        motion=ALProxy("ALMotion", robotIP, PORT)
    except Exception, e:
        print "Error al poder conectar al proxy"
    return motion
```

Figura 7.3: Código en Python1

```
#Variables
#LadoIzquierdo, LadoDerecho, TijeraAbierta, TijeraCerrada, AbiertoCerrado, CerradoAbierto
ListaAngulos=[0.0,0.0,-1.5, -1.0,2.735,...], [0.0,0.0,...], [-0.2925,...], [-4.8781e-12,..., 0,...])
ListaTiempo=[(0.25,...), (0.25,...), (0.25,...), (0.25,...), (0.25,...), (0.25,...)]
Absolute=True

Nombre2=[0.0,0.0,-1.5, -1.0,2.735,...], [0.0,0.0,...], [-0.2925,...], [-4.8781e-12,...])
ListaAngulos2=[0.0,...], [-4.8779e-12,...], [0.2818,...], [-0.2925,...], [4.8779e-12,...])
ListaTiempo2=[0.25,...], (0.25,...), (0.25,...), (0.25,...), (0.25,...)]
Absolute2=False
```

Figura 7.4: Código en Python 2

deseadas de las piernas del robot NAO durante todo su caminado, de igual forma en las figuras 7.6b - 7.17b se muestran las 12 posiciones articulares reales durante todo el caminado del robot NAO; hay que señalar que diez posiciones articulares reales se obtienen mediante un programa proporcionado por el fabricante del robot NAO llamado MONITOR, el cual nos permite monitorizar las posiciones articulares en tiempo real del robot, debido a que no es posible obtener los valores articulares del programa para poderlos exportar a MATLAB y poder realizar la diferencia entre la posición deseada y la posición real con el objetivo de obtener el error, sólo se muestran las gráficas de la posición deseadas del lado izquierdo y del lado derecho las posiciones reales durante el caminado del robot NAO.

Finalmente en la Figura 7.18 se muestra los resultados del caminado del robot NAO. Como se puede observar el robot inicia con los dos pies juntos, después con los valores de los parámetros especificados se logró hacer que el robot incline su cadera primero hacia la izquierda y luego hacia la derecha; esto se hizo con la finalidad de desplazar su centro de masa al polígono de soporte el cual se encuentra en el pie fijo (pie izquierdo para el primer

```
motion.angleInterpolation(Nombre1,ListaAngulos1,ListaTiempo1,Absolute1)

if __name__ == '__main__':
    robotIP="192.168.1.100"
    main(robotIP)
```

Figura 7.5: Código en Python 3

7. Evaluación experimental

paso, pie derecho para el segundo paso). Hecho esto el robot despega del piso el pie libre para poder dar el primer paso, después el robot posiciona de nuevo su cadera a la posición inicial para volver a inclinar su cadera pero ahora hacia la derecha con la finalidad de desplazar su centro de masa al pie fijo y así poder realizar el segundo paso; finalmente el robot regresa su cadera a su posición inicial y se vuelve a repetir la secuencia para n pasos.

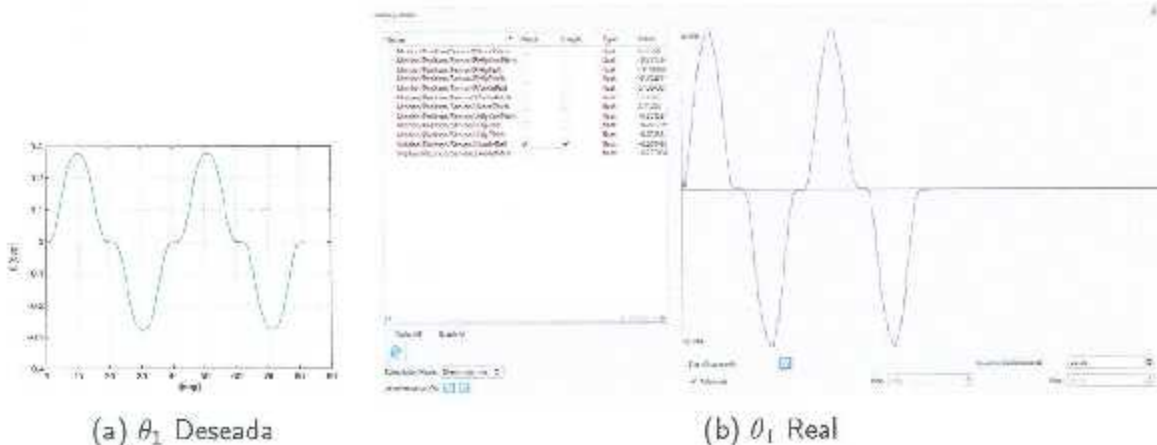


Figura 7.6: Posiciones articulares de θ_1



Figura 7.7: Posiciones articulares de θ_2

7. Evaluación experimental



Figura 7.8: Posiciones articulares de θ_3

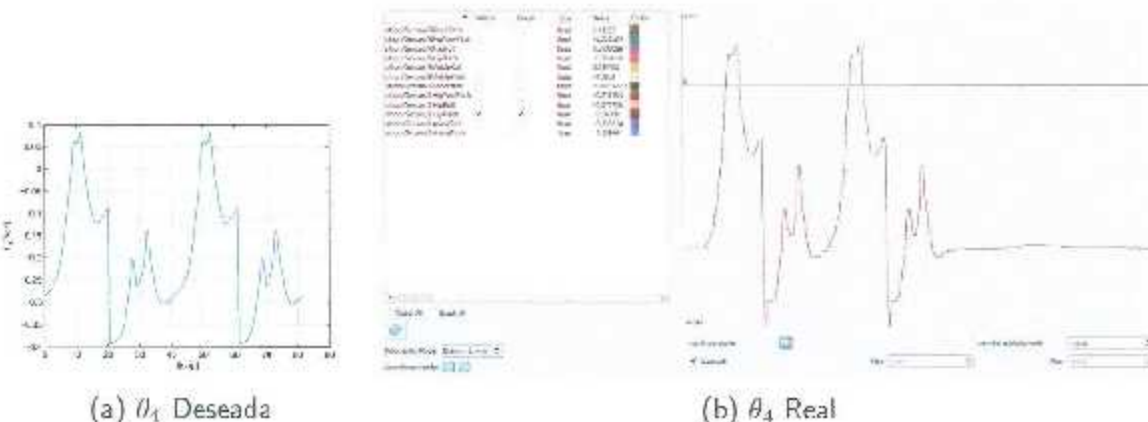


Figura 7.9: Posiciones articulares de θ_4

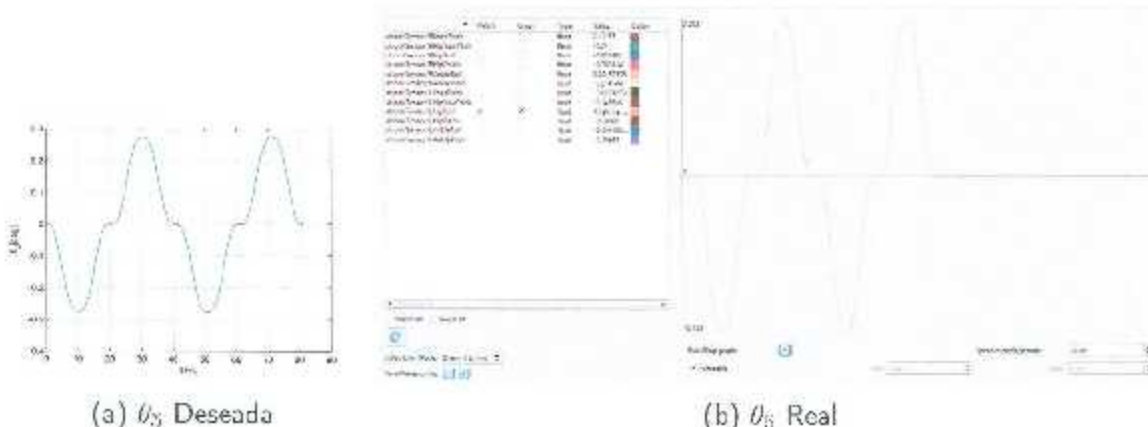


Figura 7.10: Posiciones articulares de θ_5

7. Evaluación experimental

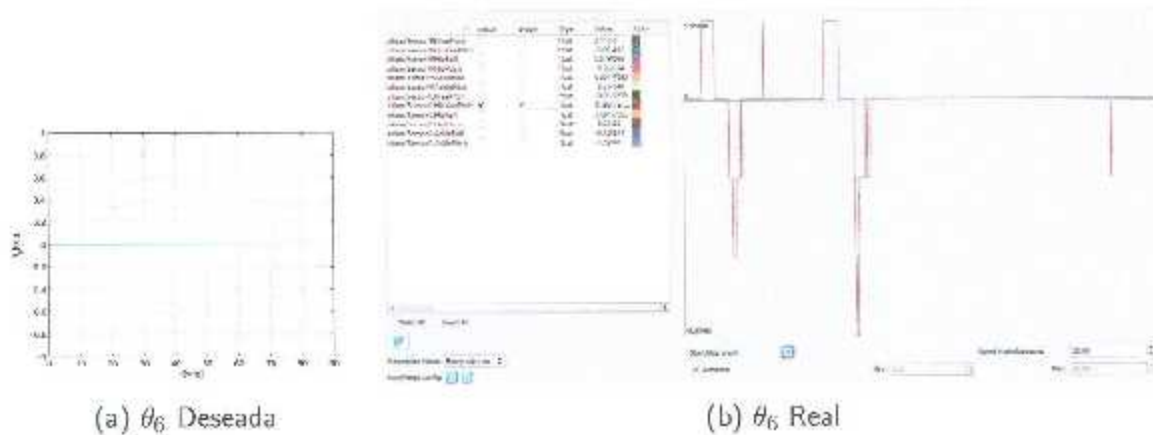


Figura 7.11: Posiciones articulares de θ_6

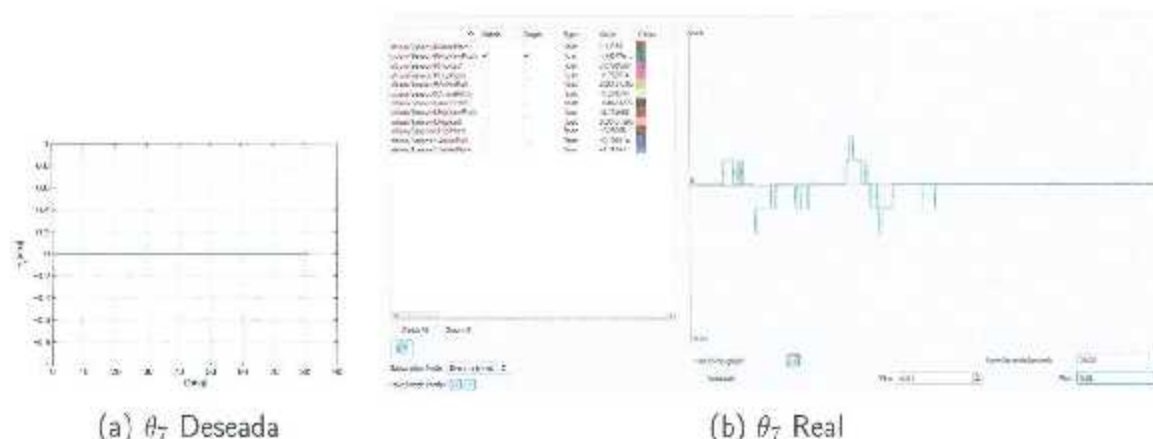


Figura 7.12: Posiciones articulares de θ_7

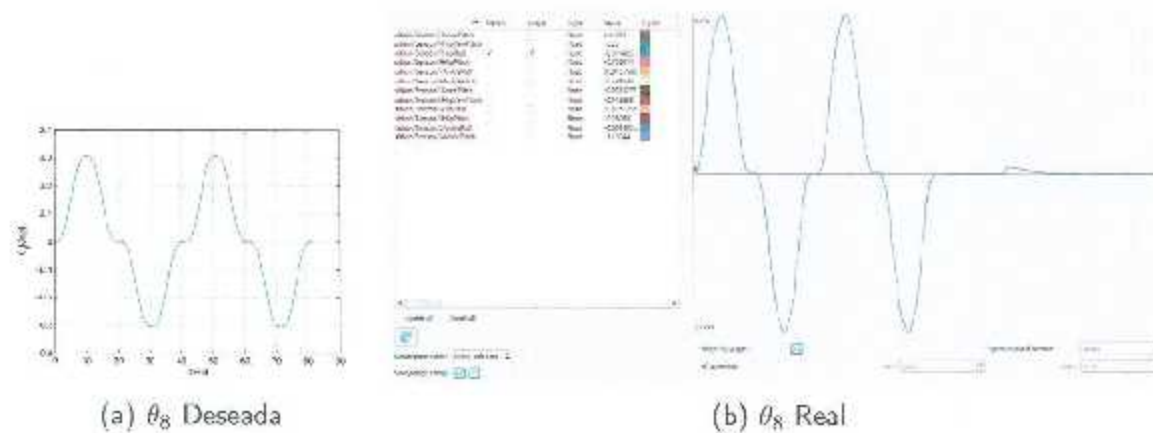


Figura 7.13: Posiciones articulares de θ_8

7. Evaluación experimental

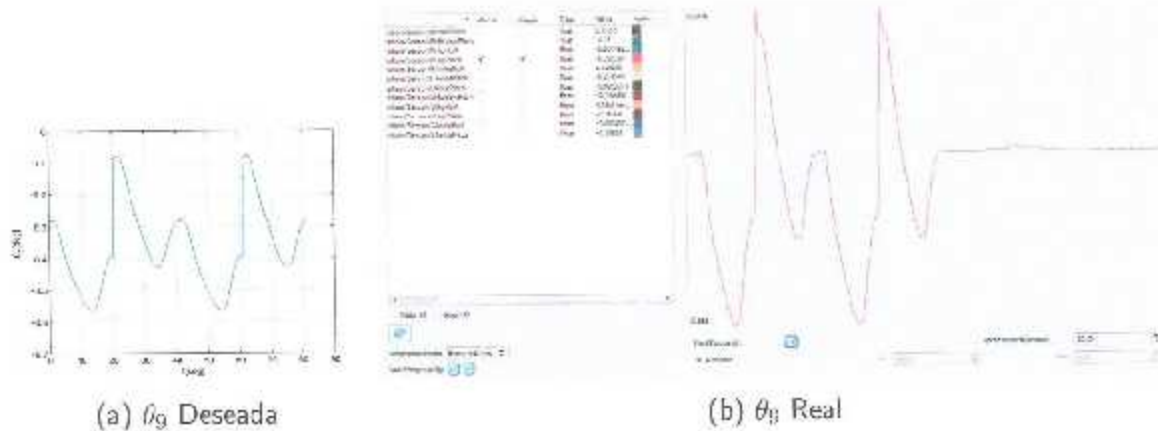


Figura 7.14: Posiciones articulares de θ_9

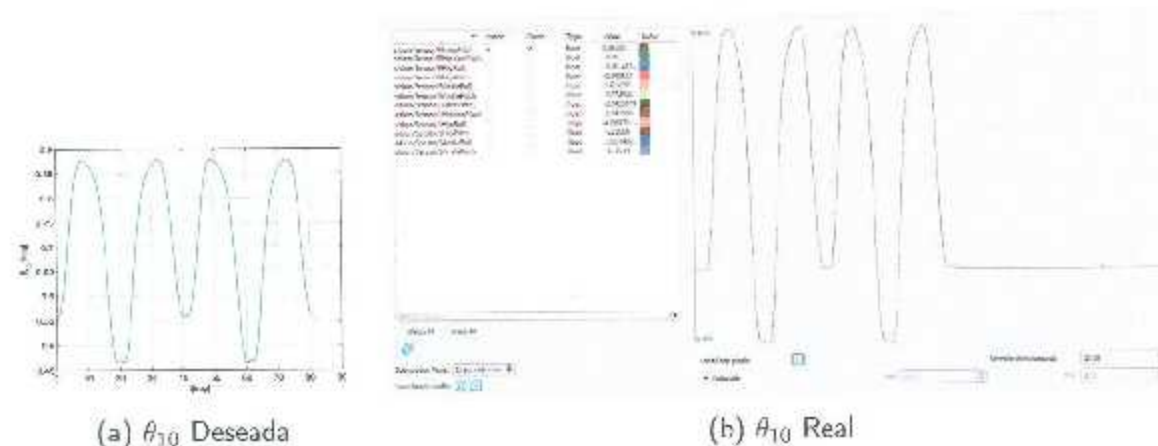


Figura 7.15: Posiciones articulares de θ_{10}

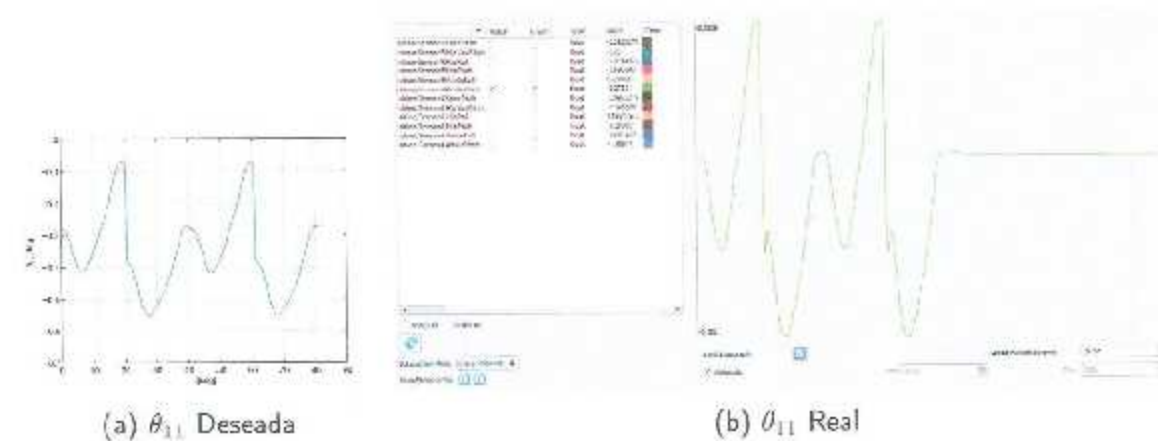


Figura 7.16: Posiciones articulares de θ_{11}

7. Evaluación experimental

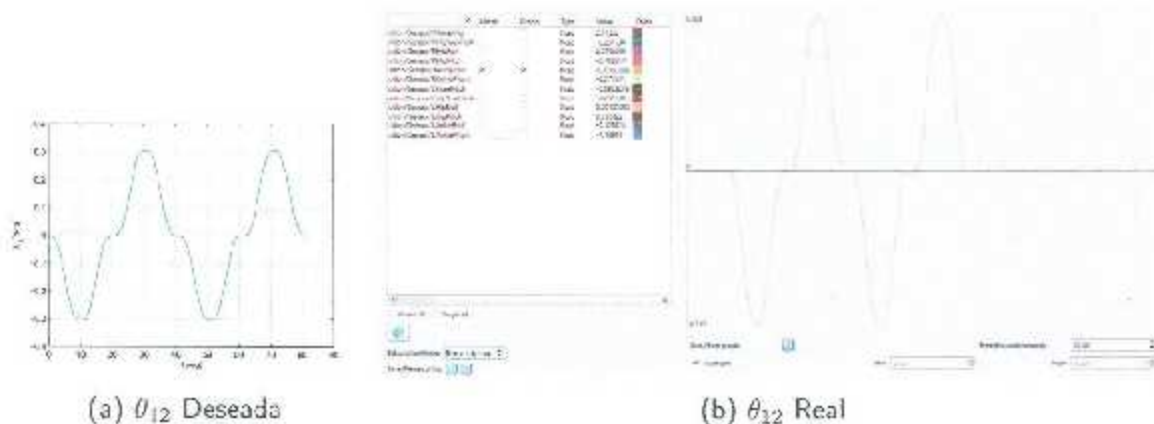


Figura 7.17: Posiciones articulares de θ_{12} .

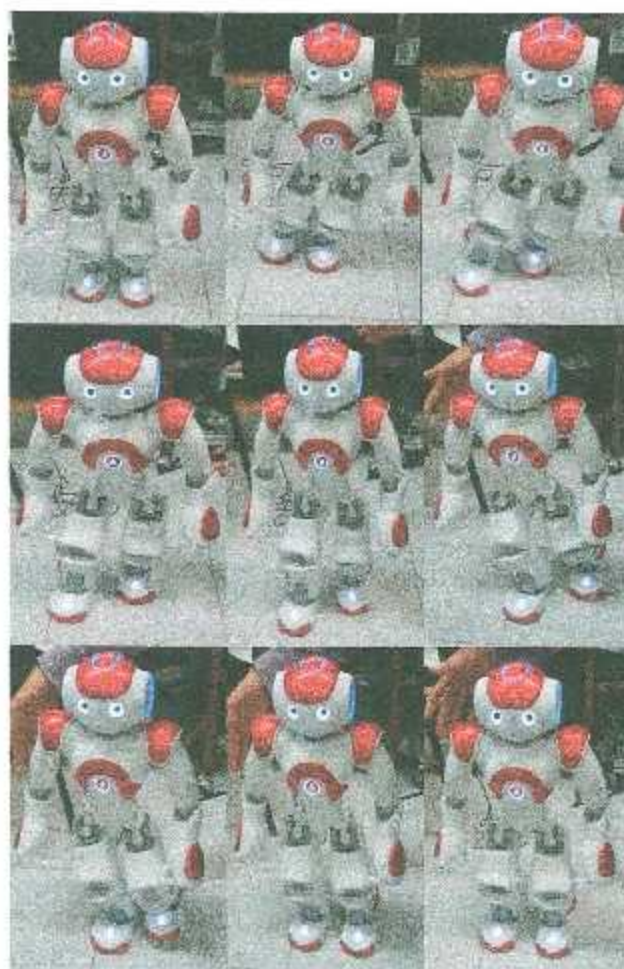


Figura 7.18: Secuencia de configuraciones del robot NAO durante la ejecución de dos pasos de la marcha con el patrón propuesto

Capítulo 8

Conclusión

Los robots humanoides han sido un punto de partida para el desarrollo tecnológico, los avances en su investigación son esenciales para incrementar las funciones de los robots de servicio, y además, su estudio es útil para comprender el sistema de la locomoción humana. Algunos problemas planteados dentro del caminado de robots humanoides son la estabilidad, la generación de ciclos de marcha y el diseño de controladores para generar movimientos en lazo cerrado. Conocer la historia de la robótica en humanoides permite entender su importancia, ayuda a asimilar sus alcances y a esclarecer la viabilidad de sus metas; además, es necesario para conocer los problemas que plantea y las maneras en las que se han abordado. El Capítulo 1 resultó vital para este trabajo, proporcionó algunos de los antecedentes históricos en robots humanoides, brindó una idea de los aportes y contribuciones de esta investigación a la robótica en humanoides y, además ayudó a plantear objetivos futuros. Al comparar la locomoción de un robot humanoide con la del ser humano, resulta increíble la naturalidad, coordinación, flexibilidad y versatilidad que el ser humano ha llegado a desarrollar, gracias a un proceso de evolución y adaptación que ha llevado millones de años y a un proceso de aprendizaje y experimentación que se lleva a cabo durante la infancia. En cambio, los robots humanoides surgieron hace algunas décadas y, por lo general, los algoritmos que utilizan para la generación de movimientos consideran a la marcha como un reflejo innato. Algunos métodos para la generación de patrones de marcha emplean demostraciones de ciclos de marcha realizados por humanos, y algunos controladores para la estabilidad del robot están inspirados en el funcionamiento del sistema locomotor humano. Las investigaciones en la marcha humana han facilitado el avance de la robótica en humanoides. Tener una idea de la complejidad de la marcha humana y de las actividades que realiza el sistema locomotor durante la marcha, ayuda a entender y a conocer las razones de las diferencias entre el desempeño de un robot humanoide y un humano, pero también brindar posibles respuestas para reducirlas.

En el capítulo 3 se obtuvieron las ecuaciones que representan el modelado cinemático directo e inverso de posición del robot NAO así como también el modelado de velocidad y aceleración. Para obtener el modelado cinemático inverso de posición de las piernas del robot se basó en un enfoque propuesto en [43] que a su vez, se inspira en el principio

8. Conclusión

del que parte el método de Paul. Para obtener el modelado cinemático inverso de posición de los brazos y la cabeza del robot se utilizó el método de Paul, y se comprobó con el programa SYMORO. Ambos modelos cinemáticos fueron fundamentales en el estudio realizado, el modelo inverso para la generación de las consignas articulares del robot, y el modelo directo para la visualización preliminar de los movimientos del robot mediante un modelo alambre realizado en el paquete MATLAB. En la referencia [53] se realiza un estudio completo del modelado cinemático directo e inverso de posición del robot NAO, sin embargo en el modelado inverso las consignas articulares es decir $\theta_1, \theta_2, \dots, \theta_{12}$, están en función de senos y cosenos por lo que al momento de hacer las simulaciones en MATLAB para poder realizar una trayectoria cícloidal dichas trayectorias no son seguidas adecuadamente. Además se resolvió el modelado dinámico de las piernas del robot mediante las ecuaciones de Euler-Lagrange, el cual se basó en un enfoque propuesto en [49] sin embargo este modelo obtiene el vector de posición de los centros de masa con respecto a un marco fijo que tiene una orientación idéntica a la del marco del mundo, esto es factible si el robot se encuentra en posición cero pero cuando se realiza un movimiento articular las posiciones de los centros de masa ya no son factibles, sin embargo para aplicar el método de forma correcta, es necesario encontrar el vector de posición local del centro de masa referido al marco Σ_M más próximo unido a la articulación anterior más cercana, para esto es necesario realizar una rotación constante proporcionada por la ecuación (3.15), esto se puede ver con más detalle en la sección 3.5 del capítulo 3.

En el Capítulo 4 se propuso un patrón de marcha, el cual está basado en la propuesta [47] y [48]; sin embargo los parámetros que definen estos patrones de marcha, en el caso del robot NAO, han sido elegidos de tal forma que el robot pueda realizar el caminado. Se probó que si se especifica una marcha del robot NAO basada en movimientos traslacionales de la pelvis y del pie libre, el caminado del robot es factible bajo un criterio cinemático. Esta condición es necesaria para la realización de una caminata del NAO, mas no es suficiente. Es indispensable la realización de un segundo estudio que permita obtener los parámetros del movimiento del robot que verifiquen una marcha dinámicamente balanceada. En el Capítulo 5 se realizó un control de marcha en simulación mediante seguimiento de trayectorias, este controlador se llevó a cabo gracias al patrón de marcha, el modelado dinámico y las ecuaciones de la cinemática anteriormente descritos.

En el Capítulo 7 se hicieron pruebas experimentales con el robot NAO, en físico en las cuales se le dieron las consignas de posición obtenidas con el modelo cinemático inverso. Se obtuvieron las gráficas en MATLAB de las 12 posiciones articulares deseadas de las piernas del robot NAO así como también las 12 posiciones articulares reales obtenidas de los encoders del robot NAO; esto se hizo durante todo su caminado. La lectura de los encoders se logró gracias a que el fabricante del robot NAO proporciona un programa llamado MONITOR el cual nos permite monitorizar la posición de cualquier articulación del robot NAO en tiempo real, la única desventaja de este programa es que no es posible extraer los valores articulares. Finalmente se muestra una imagen del caminado del robot NAO, cabe mencionar que durante el caminado el robot nunca sufrió ninguna caída, esto es debido

8. Conclusión

a que primero se hicieron pruebas en WEBOST y se fueron modificando los valores de los parámetros del patrón de marcha para lograr un caminado estable. Además como se sabe los patrones de marcha basados en movimientos cícloidales evitan el impacto del pie oscilante durante el aterrizaje en cada paso, con lo que favorece el equilibrio dinámico del robot y se reduce el desgaste de los elementos mecánicos que componen sus piernas.

Como resultado de esta tesis, en colaboración con el Dr. Alfonoso Pámanes, se generó un artículo [51], el cual fue presentado en el Congreso Mexicano de Robótica COMRob 2015.

- "Condiciones para una marcha elemental del robot NAO" Jesús E. Fierro, J. Alfonso Pámanes, Víctor A. Santibáñez, Gerardo Ruiz, Javier Ollervides. Memorias del Congreso Mexicano de Robótica (COMRob), 2015, Los Cabos, Baja California Sur, México.

Bibliografía

- [1] S. SCHAAAL *the new robotics.*, towards human - centered machines; pp. 115-126, 2007.
- [2] MORALES EDUARDO Y SUCAR SUCCAR ENRIQUE., *Los robots del futuro y su importancia para México.*, Komputer Sapiens; pp. 7-12, 2009
- [3] KATO T, TAKANISHI A, ISHIKAWA H, KATO I *The realization of dynamic walking by the biped walking robot WL-10RD*”, Proc. of the 1985 Int. Conf. on Advanced Robotics ; pp. 159-166, Tokyo, Sep 9-10, 1985.
- [4] GEPPERT L.; *Qrio, the robot that could*, IEEE Spectrum, 41(5), pp. 34-37, May 2004.
- [5] HIRAI K, HIROSE M, HAIKAWA Y, TAKENAKA T; *The Development of Honda Humanoid Robot.*, Proc. of the IEEE International Conference on Robotics and Automation, pp.1321-1326, 1998.
- [6] YAMASAKI F, MIYASHITA T, MATSUI T, GIANO H; *PINO the humanoid*; Proc. of the Fourth International Workshop on RoboCup, Melbourne, Australia, August 2000.
- [7] ARACHI K, KANEKO K, KANEHIRA N, OTA S, MIYAMORI M, HIRATA M, KAJITA S, KANEHIRO K, *Development of humanoid robot HRP-3P*; Proc. of the 2004 IEEE International Conference on Humanoid Robots, Tsukuba, Japan.
- [8] SANDINI G., METTA G., VERON D. *Robotcub: An open framework for research in embodied cognition*; International Journal of Humanoid Robotics, 8 (2), November 2004.
- [9] BEIRA R., LOPEZ M., PRAÇA M., SANTOS - VICTOR J., BERNARDINO A., METTA G., BECCCHI F., SALTAREN R. *Design of the Robot-Cub (iCub) Head*; Proc. of the IEEE International Conference on Robotics and Automation, Orlando, May 2006.
- [10] RUESCH J, LOPEZ M, BERNARDINO A, HÖRNSTEIN J, SANTOS-VICTOR, PFEIFER R; *Multimodal Saliency-Based Bottom-Up Attention: A Framework for the Humanoid Robot iCub*; Proc. of IEEE International Conference on Robotics and Automation; Pasadena, CA, USA, May, 2008.
- [11] PAMANES JA, MURILLO OF, SANTOS-VICTOR J, ZEGHOUSSI S; *Análisis de los Movimientos del Cuello y los Ojos del Robot iCub Basados en Velocidades Articulares de Minima Norma*; 10 Congreso Mexicano de Robótica Septiembre 2008, México D.F.

- [12] FUKUDA T., KOMATA Y., ARAKAWA T.; *Stabilization Control of Biped Locomotion Robot based Learning with Gait having Self-adaptive Mutation and Recurrent Neural Networks*; Proc. of the IEEE International Conference on Robotics and Automation, pp. 217-221, 1997.
- [13] MC GEER T.; *Passive dynamic walking*; International Journal of Robotic Research, Vol. 9, No.6, pp-62-82, 1990.
- [14] ROSTAMI M., BESSONET G; *Impactless Sagittal Gait of a Biped Robot During the Simple Support Phase*; Proc. of the IEEE International Conference on Robotics and Automation, pp. 1385-1391, 1998.
- [15] CHAVALLEREAU C, SARDIN P; *Design and Actuation Optimization of a 4 axes Biped Robot for Walking and Running*; Proc. of the IEEE International Conference on Robotics and Automation, pp. 3365-3370, 2000.
- [16] VUKOBRAHOVIC, M. AND JURICIC, D; *Contribution to the synthesis of biped gait*; In IEEE Trans. Bio-Medical Eng., Vol. 16, pp. 1-6, 1969.
- [17] NISHIWAKI K, KAGAMI S, KUNIYOSHI Y, INABA M AND INOUE H, *Online Generation of Humanoid Walking Motion based on a Fast Generation Method of Motion Pattern that Follows Desired ZMP*; Proc. of the 2002 IEEE/RSJ Int. Conference on Intelligent Robots and Systems, pp. 2684-2689, 2002.
- [18] PARK JH AND RHEE YK; *ZMP Trajectory Generation for Reduced Trunk Motions of Biped Robots*; Proc. of 1998 IEEE/RSJ International Conference on Intelligent Robots and Systems, Victoria, B.C., Canada, pp. 90-95, October 1998..
- [19] YAMAGUCHI J, SOGA E, INOUE S AND TAKANASHI A. *Development of a Bipedal Humanoid Robot Control Method of Whole Body Cooperative Dynamic Biped Walking*; Proceedings of the 1999 IEEE International Conference of Robotics and Automation, Detroit Michigan, pp. 368-374, May 1999.
- [20] BRUNEAU O., OUESDOU F.B., WIEBER P.B.; *Dynamic transition simulation of a walking anthropomorphic robot*; Proc. of the IEEE International Conference on Robotics and Automation, 1998.
- [21] SILVA F., TENREIRO J.A; *Controllability analysis of biped walking robots*; Proc. of the 2000 International Workshop on Advance Motion Control, pp. 595-600, 2000.
- [22] PARK J.H.; *Impedance control for biped robot locomotion*; IEEE Transactions on Robotics and Automation, Vol. 17, No. 6, pp.870-882, 2001.
- [23] MARCHESE S., MUSCATO G., VIRK G.S.; *Dynamically stable trajectory synthesis for a biped robot during the single support phase* ;Proc. of the IEEE/ASME International Conference on Advanced Intelligent Mechatronics, pp 953-958, 2001.

BIBLIOGRAFÍA

- [24] HUANG Q, KANEKO K, YOKOI K, KAJITA S, KOTOKU T, KOYACHI N, ARAI H, IMAMURA N, KOMORIYA K AND TANIE K.; *Balance Control of a Biped Robot Combining Off-line Pattern with Real time Modification*; Proc. of the 2000 IEEE International Conference on Robotics and Automation, pp. 3346-3352, 2000.
- [25] HUANG Q, YOKOI K, S. KAJITA, KANEKO K, ARAI H, KOYACHI N AND TANIE K.; *Planning Walking Patterns for a Biped Robot*; IEEE Transactions on Robotics and Automation, Vol. 10, No. 3, pp. 280-289, June 2001.
- [26] SHIH CHL, ZHU Y, GRUVER WA; *Optimization of the Biped Robot Trajectory*; Proc. of the 1991 IEEE International Conference on Robotics and Automation (ICRA 1991), pp. 899-903, 1991.
- [27] LIM H, TAKANISHI A.; *Realization of Continuous Biped Walking*; Paper IEEE 0-7803-7087-2/0, pp. 1630-1635, 2001.
- [28] PAMANES GJA, NUÑEZ NJV; *Análisis del Caminado de un Robot Bípedo Para un Patrón de Marcha Basado en Movimientos Cicloídeos*; Memorias del III Congreso Mexicano de Robótica de la AMRob, pp. 62-57, Querétaro, México, 2001.
- [29] ÁLVAREZ FE.; *Modelado Dinámico de un Robot Bípedo: Aplicación al Diseño de sus Mecanismos y al Análisis de la Marcha*; Tesis para la obtención del grado de Maestro en Ciencias en Mecatrónica y Control, por el Instituto Tecnológico de la Laguna, Torreón, México, 2006.
- [30] MCGEER, T; *Passive dynamic walking*; tech. report, Simon Fraser University, Burnaby, British Columbia, Canada, 1988.
- [31] MCGEER, T; *Stability and control of two-dimensional bipedal walking*; tech. report, Simon Fraser University, Burnaby, British Columbia, Canada, 1988.
- [32] MCGEER, T; *Passive bipedal running*; tech. report, Simon Fraser University, Burnaby, British Columbia, Canada, 1989.
- [33] MCGEER, T; *Passive walking with knees*; Proc. 1990 IEEE Robotics Automation Conference, Cincinnati, OH, (1990), pp. 1640-1645.
- [34] COLLINS AL, *Efficient Bipedal Robots Based on Passive-Dynamic Walkers*; Science, 307 (2005), pp. 1082-1085.
- [35] J. GRIZZLE, G. ABBA, AND F. PLESTAN, *Asymptotically stable walking for biped robots: Analysis via systems with impulse effects*, IEEE Trans. Automatic Control, vol. 46, no. 1, pp. 51-64, January 2001.
- [36] E. WESTERVELT, J. GRIZZLE, AND D. KODITSCHEK, *Hybrid zero dynamics of planar biped walkers*, IEEE Trans. Automatic Control, vol. 48, no. 1, pp. 42-56, 2003.

- [37] C. CHEVALLEREAU, G. ABBA, Y. AOUSTIN, E. R. W. F. PLESTAK, C. CANUDAS, AND J. GRIZZLE, *Rabbit: a testbed for advanced control theory*, IEEE Control Systems Magazine, vol. 23(5), pp. 57-79, October 2003.
- [38] HIRAI K, HIROSE M, HAIKAWA Y, TAKENAKA T. *The Development of Honda Humanoid Robot*, Proc. of the IEEE International Conference on Robotics and Automation, pp.1321-1326, 1998.
- [39] ARMADA M, CABALLERO R, AKINFIEV T, MONTES H, MANZANO C, PEDRAZA L, RÍOS S, GONZÁLEZ P. *Design of SIL-O2 humanoid robot*, Proc. of the International Workshop on Humanoid and Friendly Robots, 2002.
- [40] MOQUET S, WENGER P, PÁMANES GJA, MORENO H, FRANCO G. *Aspectos del Diseño Conceptual de un Robot Ambulante Bípedo de 4 Grados de Libertad*, Memorias del VI Congreso Mexicano de Robótica COMRob 2004, pp. 35-44, Tercerón, México, 2004.
- [41] CISNEROS LR. *Estrategias de Modelado Cinemático y Simulación en Robots Humanoides*, Tesis para la obtención del grado de Maestro en Ciencias en Control Automático, por el Centro de Investigación y Estudios Avanzados del IPN, México DF, 2009.
- [42] KHAILI W, KLEIFINGER M *A new geometric notation for open and closed-loop robots*, Proc. of the IEEE International Conference on Robotics and Automation, pp. 1174-1180, San Francisco, 1986.
- [43] ARIAS, I., OLVERA L., PÁMANES, J., Y NUÑEZ, J. *Patrón de Marcha 3D de Tipo Cicloidal para Humanoides y su Aplicación al robot Bioloid*.
- [44] PAUL, R. (1981) *Robot Manipulators: Mathematics, Programming, and Control*. Massachusetts Institute of Technology, 1981.
- [45] R. KELLY AND V. SANTIBANEZ, *Control de Movimiento de Robots Manipuladores*. Madrid: Prentice Hall, 2003.
- [46] JOHN, J.; CRAIG. *Introduction to Robotics: Mechanics and Control*, Pearson Prentice Hall, 3rd edn (2005). ISBN: 0-13-123629-6
- [47] PÁMANES J A, NUÑEZ J V *Análisis del Caminado de un Robot Bípedo Para un Patrón de Marcha Basado en Movimientos Cicloidales*, Memorias del III Congreso Mexicano de Robotica de la AMRob; pp. 62-67, Querétaro, México, 2001.
- [48] ARIAS L E, PÁMANES J A *Especificación de Movimientos Generales de la Pelvis y el Pie Libre de Robots Bipedos para Marcha sin Impacto*, Memorias del IX Congreso Iberoamericano de Ingeniería Mecánica (CIBILM9), pp. 10-141 a 10-148, ISBN 978-84-692-8516-9, Las Palmas de Gran Canaria, España: Noviembre de 2009.

BIBLIOGRAFÍA

- [49] E. HASHEMI AND M. GHAFARI JADIDI *Dynamic Modeling and Control Study of the NAO Biped Robot with Improved Trajectory Planning*, Materials with Complex Behaviour II, Berlin Heidelberg 2012
- [50] MARK W. SPONG, SETH HUTCHINSON, AND M. VIDYASAGAR *Robot Modeling and Control*, First Edition John Wiley and Sons, INC.
- [51] JESÚS E. FIERRO, J. ALFONSO PÁMANES, VÍCTOR A. SANTIBÁÑEZ, GERARDO RUIZ, JAVIER OLLERVIDES *Condiciones para una marcha elemental del robot NAO*, Memorias del Congreso Mexicano de Robótica, Los Cabos, Baja California Sur, México 2015.
- [52] FIERRO J.E, J. PÁMANES J.A., ARIAS L.E; *Marcha del robot humanoid NAO basada en movimientos cícloídale*, Artículo A4-219, aceptado para su publicación en las Memorias del XXI Congreso Internacional anual de la SOMIV, Coatzacoalcos, México, Septiembre 23-25, 2015.
- [53] SAMUEL FERNANDEZ IGLESIAS, JOSEP M. FUERTES I ARMENGOL; *Locomoción bipeda del robot humanoid NAO*, Proyecto final de la carrera, Universitat Politècnica de Catalunya, 2009.
- [54] J.J. ALCARAZ JIMÉNEZ, D. HERRERO PEREZ II, H. MARTÍNEZ BARBERA; *Planning COM Trajectories for an Omnidirectional Dynamic Gait in Humanoid Soccer Robots*, Faculta Informatica, Universidad de Murcia.

Capítulo 9

Anexos

A continuación se presenta el código utilizado en MATLAB para poder hacer las simulaciones del caminado del robot NAO. Este código está desarrollado en un script de MATLAB y genera las consignas articulares para que el humanoide pueda caminar.

Breve descripción del programa.

1. Declaración de variables. Se declaran dimensiones físicas y tiempos a utilizar.
2. Movimientos y coordenadas del robot. Ubicaciones espaciales del robot en sus fases.
3. Modelo directo e inverso. A partir de una posición deseada del órgano terminal se obtienen las consignas articulares.
4. Visualización del caminado del robot NAO.
5. Visualización de las 12 posiciones articulares de las piernas del robot durante todo su caminado.
6. Visualización de las velocidades y aceleraciones articulares durante cada paso que realiza el robot.

```

1 % PROGRAMA PARA LA ESTIMACION DEL CINEMATICO DEL ROBOT NAO
2 % CREADO POR EL AUTOR, GRACIAS AL MANUEL RICIO GOMEZ.
3
4 clear all
5clc
6
7 np=20; Numero de puntos
8 t=6; t= tiempo estimacion
9
10 %PARAFMETROS ESTIMACION DEL ROBOT NAO
11
12
13 d3 = 0.1029; % Longitud de la tibia
14 d4 = 0.1; % Longitud del muslo.
15 d7 = 0.05; % Desplazamiento de la mano en x.
16 d10 = d4; % Longitud del muslo.
17 d11 = d3; % Longitud de la tibia.
18 d77 = 0.0707106781; %longitud de la articulacion 6 a 7 a la palma.
19 d1 = 0;
20
21 L4 = 0.090; % Desplazamiento del hombro en x.
22 L5 = 0.135; % Desplazamiento del hombro en y.
23 L6 = 0.1157; % Desplazamiento de la mano en x ; Longitud del brazo interior.
24 c31 = 0.015; % Desplazamiento del codo en y.
25 r31 = 0.105; % Longitud del brazo exterior.
26
27 L1 = 0.0539; % Longitud de la cadera en x.
28 L2 = 0.0679; % Longitud de la cadera en y.
29 L3 = 0.1615; % Desplazamiento del ombligo en z.
30
31
32 % Definicion de los angulos theta en grados en modo directo de posicion.
33 % 010,020,030,040,050,060,070,080,090,0100,0110,0120,0130,0140,0150,0160,0170,0180,0190,0200
34
35 % Para definir los angulos theta en grados en modo directo de posicion.
36
37 Q10=deg2rad(0);
38 Q20=deg2rad(0);
39
40 % NANO DERECHA
41
42 % NANO DERECHA
43
44 %Para definir los angulos theta que caen en el modo directo de posicion:
45
46 Q1D = deg2rad(80); %cadera(dcha).
47 Q2D = deg2rad(-17.2); %hombro(dcha).
48 Q3D = deg2rad(15.0); %brazo (dcha).
49 Q4D = deg2rad(97.0); %codo (dcha).
50 Q5D = deg2rad(0); %mano (dcha).
51
52
53

```

54
 55 * MANGA 170011020
 56
 57
 58 Para definir las siguientes theta's en grados del modelo articulos de piezas.
 59
 60 Q11 = deg2rad(80); Thomero (piton).
 61 Q21 = deg2rad(17.2); Thomero (tibia).
 62 Q31 = deg2rad(-70.6); Sundin (pierna).
 63 Q41 = deg2rad(-57.9); Sundin (tibia).
 64 Q51 = deg2rad(6); Sundin (pierna).
 65
 66
 67
 68 *****
 69
 70
 71
 72 * Para Gráficas las posiciones, velocidades y aceleraciones si es true.
 73
 74 qIDesPie = true; * Grafica las trayectorias de los pies deseadas en
 75 X y Y del pie.
 76 Acel_Articulares = true; * Grafica las aceleraciones articulares (en cada
 77 paso).
 78 Vel_Articulares = true; * Grafica las velocidades articulares (en cada
 79 paso).
 80 qPosContinuas = true; * Grafica las condiciones de codo trabajando durante
 81 todo el ciclido.
 82 qPosContinuas2 = true; * Grafica las posiciones de codo estacionaria
 83 cuando el caminado.
 84 qIDesCodo = true; * Grafica las trayectorias de velocidad deseadas en
 85 X y Y de la cadera (para un ciclo de caminada) si es true.
 86 qIDesCodoI = true; * Grafica las trayectorias de aceleración deseadas
 87 en X y Y de la cadera (para un ciclo de caminada).
 88
 89
 90
 91 *****
 92 * Recorridos para el brazo al momento del comando del robot MNG.
 93
 94
 95 * Lanza el brazo derecho.
 96 Ejini = deg2rad(-50); * Es el angulo inicial de la articulacion
 97 rotatoria(pitón).
 98 Roj = 0.125; * Es la velocidad de la articulacion de la rotacion
 99 rotatoria (pitón) o giro de Ejini.
 100 Lo=-1; * Es 1 si lo estacionar es hacia adelante y -1 si se
 101 estacionar hacia afuera.
 102 K=1; * Se hace igual a uno en el primer paso y en el ultimo
 103 paso.
 104 Ts = 2*T; * Es el periodo de ejecucion del desplazamiento
 105 adecuado.

```

107                                l Para el bucle iniciando.
108  Bjini2 = deg2rad(-100);  l Es el angulo de final de la articulacionombro
109  (punto).
110  Sbj2 = 0.25;     l Es la amplitud de la oscilacion de la articulacion
111  hombro (punto) a partir de Bjini.
112  Eb2=1;         l Es 1 si la oscilacion se hace ediente y -1 si la
113  oscilacion es hacia afuera.
114  KZ=1;         l Se hace round a uno en el primer paso y en el
115  ultimo paso.
116
117  %%%%%%%%%%%%%%%%%%%%%%%%%%%%%%%%%%%%%%%%
118
119  Parametros para el caminado del robot 100
120
121
122  xfijo = 0;
123  Trayectoria = 12;
124  nPasos = 4;  Número de pasos que dacone que haga el robot para
125  permitirPausa = false;
126  switch Trayectoria
127      case 12
128          s = 0.06;  l Longitud del pie en milimetros.
129          sp = 0.015;  l Altura del pie masima.
130          zci = 0.245;  l Posicion inicial de la cadera en milimetros.
131          hc = 0;         l Desplazamiento vertical maximo de la cadera.
132          T1 = T;
133          Cadera = T1;
134  end
135
136
137  Xc1el = -s/2;     l Posicion inicial del pie (desde la punta del pie de apoyo)
138  Xc1 = xp.e./2;     l Posicion inicial de la cadera al comienzo del robot
139  entre las 2 piernas)
140
141
142  Vc = s/(2*Cadera);  Velocidad de la cadera (Es entre 2 porque la cadera
143  movera la mitad de la longitud del paso)
144  i=1;
145
146  for j=1:nPasos
147      for i=0:rp
148          z=I*i/rp;
149
150      if rem(j,2)==1
151          Yci = 0;  l Posicion inicial de la cadera en y0.
152          Ycf = -0.04;  l Desplazamiento horizontal de la cadera.
153      else
154          Yci = 0;
155          Ycf = 0.04;
156      end
157
158
159  %%%%%%%%%%%%%%%% Leves de Movimiento Ciclo Caderas %%%%%%%%%%%%%%%
160

```

```

161 % Funciones auxiliares para el movimiento rotativo del momento de inercia.
162
163 if t<T1
164     B1 = B1ini+R0*x1*Sb1*((z/Ts)-(1/2*pi)*sin((2*t*pi)/Ts))/t;
165 end
166 B1 = round(B1);
167
168 if t<T1
169     B12 = B1ini2+R02*K2*Sg12*((z/Ts)-(1/2*pi)*sin((2*t*pi)/Ts));
170 end
171
172
173
174 %----- Movimiento de la cadera ----
175
176 switch trayectoria
177     case 1121
178         if z<T1
179             Xc = Xci + Vct;
180             if t< T1/2
181                 Zc = Zci - Hct*(2*t/T1 - (1/(2*pi))*sin(4*L*pi/T1));
182                 Yc = Yci - Yct*(2*t/T1 - (1/(2*pi))*sin(4*L*pi/T1));
183             else
184                 Zc = Zci + Hct*(1-((2*t-1)/T1 - (1/(2*pi)))*sin(4*L*pi/T1));
185                 Yc = Yci + Yct*(1-((2*t-1)/T1 - (1/(2*pi)))*sin(4*L*pi/T1));
186             end
187             else
188                 Xc = Xci - Sct;
189                 Zc = Zct;
190             end
191         otherwise
192             Xc = Xci+ Vct*t;
193             if t<=T/2
194                 Zc = Zci + Hct*(2*t/T - (1/(2*pi))*sin(4*t*pi/T));
195                 Yc = Yci + Yct*(2*t/T - (1/(2*pi))*sin(4*t*pi/T));
196             else
197                 Zc = Zci + Hct*(1-(2*t-T)/T - (1/(2*pi))*sin(4*t*pi/T));
198                 Yc = Yci + Yct*(1-(2*t-T)/T - (1/(2*pi))*sin(4*t*pi/T));
199             end
200         end
201     end
202
203
204 %----- Movimiento del pie libre -----
205
206 if t<=T1
207     Xpie = Xpi0 + S*(t/T1-(1/(2*pi))*sin(2*pi*t/T1));
208 end
209
210 if z< T1/2
211     Ypie = R0*(2*t/T1 - (1/(2*pi))*sin(4*t*pi/T1));
212 elseif z<=T1
213

```

```

215     zpfo = Vp + Hs*((2*t-T1)/T1 - (1/(2*pi))*sin(4*pi*t/T1));
216 end
217
218 % Velo iniciales establecidas en la trayectoria definida en la ley de
219 % movimiento
220
221 %-----  

222 %-----  

223 switch Trayectoria
224 case {1,2}
225     if t<=T1
226         Xcp = Vc;
227     if t< T1/2
228         Zcp = (2*Hc/T1)*(1-cos((4*pi*t)/T1));
229     else
230         Zcp = -(2*Hc/T1)*(1-cos((4*pi*t)/T1));
231     end
232     else
233         Xcp = 0;
234         Zcp = 0;
235     end
236
237 otherwise
238     Xcp = Vc;
239     if t<=T/2
240         Zcp = (2*Hc/T)*{(1-cos((4*pi*t)/T)} ;
241     else
242         Zcp = -(2*Hc/T)*{(1-cos((4*pi*t)/T)} ;
243     end
244 end
245
246
247 %-----  

248 if t< T1
249     Xpiep = (S/T1)*{(-cos(2*pi*t/T1));
250 end
251
252 switch Trayectoria
253 case {1,4}
254     zpiep = 0;
255 otherwise
256     zpiep = ((3p*pi)/S)*cos((Xpie/S+L/2)*pi)*Xpiep;
257 end
258
259
260
261
262 % Aceleraciones introducidas en la trayectoria definida en la ley de
263 % movimiento
264
265 %-----  

266 %-----  

267 %-----  

268

```

```

269 switch Trayectoria
270 case 1,2:
271     if t<=T1
272         Xopp = 0;
273     if t<=T1/2
274         Zopp = (8*pi*fc/(T1^2))*sin((4*pi*t)/T1);
275     else
276         Zopp = -(8*pi*fc/(T1^2))*sin((4*pi*t)/T1);
277     end
278 else
279     Xopp = 0;
280     Zopp = 0;
281 end
282 otherwise
283     Kopp = 0;
284     if t< T/2
285         Zopp = (8*pi*fc/(T^2))*sin((4*pi*t)/T);
286     else
287         Zopp = -(8*pi*fc/(T^2))*sin((4*pi*t)/T);
288     end
289 end
290
291 %----- Pie libre -----
292 if t<=T1
293     Xpiepp = (2*pi*S/(T1^2))*sin(2*pi*t/T1);
294 end
295
296 switch Trayectoria
297 case 1,4
298     Zpiepp = 0;
299 otherwise
300     Zpiepp = ((Rp*pi*pi*Xpiepp/(S^2))*sin((Zpie/S+1/2)*pi)*Xpiepp -
301     Xpiepp*((Mp*pi*pi*Xpiepp/(S^2))*sin((Zpie/S+1/2)*pi));
302 end
303
304 %----- Modulacion de velocidad de las ondas, basandose en las 10 funciones de
305 %----- la onda (SUSPENSIÓN DE TIEMPO DE ALTO Y BAJO EN LA DENSIDAD DE ONDAS LIBRE DE
306 %----- LAS DIFUSIONES)
307
308 %----- Calculo de la velocidad de las ondas
309
310
311 if rem(j,2)==1
312
313 if rem(i,2)==1
314
315 %Posicion Desacel de las ondas en el sistema de vista
316
317 t11 = 1;
318 t21 = 0;
319 t31 = 0;
320
321 t12 = 0;
322 t22 = sqrt(.5);
323 t32 = -sqrt(.5);

```

```

324
325 L13 = 0;
326 t22 = sqrt(.5);
327 t33 = sqrt(.5);
328
329 xp = Xc1;
330 yp = Yc1;
331 zp = Zc1;
332
333
334 *THETA 1
335
336 a1 = d77*t23-yp*d7;
337 b1 = d77*t33-zp;
338 c1 = 1;
340
341 Q1 = atan2(E1*a1 , -E1*c1);
343
344 theta1 = rad2deg(Q1);
345
346 *THETA 2
347
348 a2 = t21*cos(Q1)+t31*sin(Q1);
349 b2 = -t22*cos(Q1)+t32*sin(Q1);
350 c2 = 1;
351
352 Q2 = atan2(t36*a2 , -t36*b2);
353
354 theta2 = rad2deg(Q2);
355
356 *THETA 3
357
358 s5 = (t22*cos(Q1)+t32*sin(Q1))*cos(Q6)+(t21*cos(Q1)+t31*sin(Q1))*sin(Q6);
359 c5 = -t23*cos(Q1)-t33*sin(Q1);
360
361 Q5 = atan2(s5 , c5)-(3*pi/4);
362
363 theta5 = rad2deg(Q5);
364
365 * THETA 2 Y 3
366
367 x14 = zp*cos(Q1)+d7*sin(Q1); yp*sin(Q1)-d7*(t33*cos(Q1)-t23*sin(Q1));
368 z14 = zp-t13*a1;;
369
370 FOR i=1 TO
371
372 z14 = sqrt((z14)^2+((x14)^2));
373 z14a = z14/r14;
374 x14a = x14/r14;
375
```

```

376 % s = 0.3;
377 rfa = d4;
378
379 g = ((x1s^2)+(r^2s^2)+(z14^2))/(2*r14);
380 n = ((x1a^2)+(r^2a^2)+(z14^2))/(2*r14);
381 h = sqrt((z1a^2)-(g^2));
382
383 E11 = ";
384 rtax = abs(E11*n*x14a+g*z14a);
385 rtay = abs(g*x14a-E11*h*z14a);
386
387 rfax = z14-rtax;
388 rtau = x14-rtay;
389
390 Qfach = atan2(rtay, rtax);
391 Qtach = atan2(rtau, rfax);
392
393 Q2 = Qfach-pi/2;
394
395 theta2 = rad2deg(Q2);
396
397 Q3 = Qtach-Qfach;
398
399 theta3 = rad2deg(Q3);
400
401 theta4 = pi/4;
402
403 S234 = (-t12*cos(Q6)-t11*sin(Q6))*cos((3*pi/4)+Q5)-t13*sin((3*pi/4)+Q5);
404 C234 = -t11*cos(Q6)-t12*sin(Q6);
405
406 Q234 = atan2(S234, C234);
407
408 Q4 = Q234-Q2-Q3;
409
410 theta4 = rad2deg(Q4);
411
412 % Parameters needed for the 7-12 orientation
413
414
415 sfpz = 0;
416 sfpy = sqrt(.5);
417 zipz = -sqrt(.5);
418
419 nfpx = 0;
420 nfpy = sqrt(.5);
421 nfcz = sqrt(.5);
422
423 nfpx = 1;
424 nfpy = 0;
425 nfcz = 0;
426
427 pfpx = x0ie-Xc;
428
```

```

429 pfpz = sqrt(.5)*Zc-sqrt(.5)*Yc-sqrt(.5)*Zpiet(25/1000)*2^(1/2);
430 pfpz = sqrt(.5)*Zpi-sqrt(.5)*Zc-sqrz(.5)*Ypi(25/1000)*2^(1/2);
431
432
433
434 %THETA %
435
436 a7 = d77*pfpz+afcy*pfpz-pfpz*afcy;
437 b7 = d77*pfpz+afcy*pfpz-pfpz*afcy;
438 E7 = 1;
439
440 Q7 = atan2(E7+a7 , - (E7+b7));
441
442 theta7 = rad2deg(Q7);
443 %theta7 is
444
445 a8 = d77-pfpz;
446 b8 = pfpz*cos(Q7)-pfpz*sin(Q7);
447 E8 = -1;
448
449 Q8 = -atan2(78*a8 , -(E8*c8)+(3*p1/4));
450
451 theta8 = rad2deg(Q8);
452
453 %theta8 is the final
454
455 z812x = pfpz*sin((3*p1/4)-Q8)-d77*sin((3*pi/4)-Q8)-pfpz*cos(Q7)*cos((3*p1/4)-
456 Q8)+pfpz*sin(Q7)*cos((3*p1/4)-Q8);
457 z812z = pfpz*cos(Q7)-pfpz*sin(Q7);
458
459 r812 = sqrt((z812x^2)+(z812z^2));
460
461 r812ax = z812x/r812;
462
463 r812az = z812z/r812;
464
465 r11 = d11;
466 rti = d11;
467
468 gg = ((r11^2)-(r11^2)+(r812^2))/(2*r812);
469 mq = ((r11^2)-(r11^2)+(r812^2))/(2*r812);
470
471 Rg = sqrt((d10^2)-(gg^2));
472
473 Rg = 1;
474
475 rflx = cos(Rg*hg*x812ax-gg*x812az);
476 rfly = sin(gg*x812ax-Rg*hg*x812az);
477 rflx = r812x-rflx;
478 rfly = r812z-rfly;
479
480 flch = atan2(rflly , rflx);
481 Qflch = atan2(rfly , rflx);

```

```

482
483 Q9 = Qf1ch*pi/2;
484 Q10 = Qf1ch-Qf1c;
485
486 theta9 = rad2deg(Q9);
487 theta10 = rad2deg(Q10);
488
489 %CARTA 12
490
491 S12 = sfpz*cos(Q7)*sin((3*pi/4)-Q8)-sfpy*cos((3*pi/4)-
492 Q8)+sfpx*sin(Q7)*sin((3*pi/4)-Q8);
493 C12 = rfpz*cos(Q7)*sin((3*pi/4)-Q8)-rfpy*cos((3*pi/4)-
494 Q8)+rfpx*sin(Q7)*sin((3*pi/4)-Q8);
495
496 Q12 = atan2(S12 , C12);
497 theta12 = rad2deg(Q12);
498 %CARTA 13
499
500 all = cos(Q9-Q10);
501 phi = -sin(Q9-Q10);
502 chi = sfpx*cos(Q7)-sfpy*sin(Q7);
503
504 E11 = 1;
505
506 S11 = h11*c11+E11*all*sqrt(abs((s11^2)+(b11^2)-(c11^2)));
507
508 C11 = all*c11-E11*s11*sqrt(abs((s11^2)+(b11^2)-(c11^2)));
509
510
511 Q11 = atan2(S11 , C11);
512
513 theta11 = rad2deg(Q11);
514
515 else
516
517 %-----%
518 % Rotacion inversa de posiciones de los patines, calculo de las 12 direcciones
519 % la ciertra (cuando el pie se apoya en la esquina y el pie libre)
520 % DIRECCION
521 %
522
523 %sección pasadas de las Secciones & Ajustaciones
524
525 t11 = 1;
526 t21 = 0;
527 t31 = 0;
528
529 t12 = 0;
530 t22 = sqrt(.5);
531 t32 = -sqrt(.5);
532
533 t13 = 0;
534 t23 = sqrt(.5);

```

```

535 t23 = sqrt(.5);
536
537
538 xp = Xc;
539 yp = Yc;
540 zp = Zc;
541
542 % x0 = 50;
543 % y0 = -50;
544 % z0 = 0;
545
546 xtt = 60;
547 ytt = -50;
548 ztt = 0;
549
550 %INITIAL %
551
552 q1 = d/-yp-d/2*t22;
553 b1 = -d77*t32-zp;
554 E1 = 1;
555
556
557 Q1 = atan2(E1*a1 , -(E1*b1));
558
559 theta1 = rad2deg(Q1);
560
561 %WIND %
562
563 a6 = t21*cos(Q1)+t32*sin(Q1);
564 b6 = -t22*cos(Q1)-t32*sin(Q1);
565 E6 = 1;
566
567 Q6 = atan2(E6*a6 , -(E6*b6));
568
569 theta6 = rad2deg(Q6);
570
571 %ROTATION %
572
573 S5 = (-22*cos(Q1)-t32*sin(Q1))*cos(Q6) + (-21*cos(Q1)-t31*sin(Q1))*sin(Q6);
574 C5 = -t23*cos(Q1)+t33*sin(Q1);
575
576 Q5 = atan2(S5 , C5)-(3*pi/4);
577
578 theta5 = rad2deg(Q5);
579
580 % WIND 2 3 %
581
582 x14 = d*xsin(Q1)+zp*cos(Q1)-yp*sinc(Q1)+(d77*(t32*cos(Q1)-t22*sin(Q1)));
583 z14 = zp+ti2*d/2;
584
585 % END OF AGE
586
587 z14 = sqrt((x14)^2+(z14)^2);

```

```

588 z14u = z^4/z^4;
589 z14u = z^4/z14;
590
591 rta = d3;
592 rta = d4;
593
594 q = ((rta^2)-(r^2)+(14^2))/(2*z14);
595 m = ((r^2a^2)-(zta^2)+(z14^2))/(2*z^4);
596 n = sqrt((zta^2)-(q^2));
597
598 El1 = 0;
599 rtax = abs(El1*h*z14a+g*z14a);
600 rtay = abs(g*z14a-El1*h*z14a);
601
602 ztax = z^2-zta*x;
603 ztay = z14-rtay;
604
605 Qtaut = atan2(rtay, ztax);
606 Qtaut = atan2(rtay, ztax);
607
608 Q2 = Qtaut-pi/2;
609
610 theta2 = rad2deg(Q2);
611
612 Q3 = Qtaut-Qtaut;
613
614 theta3 = rad2deg(Q3);
615
616 %THREE
617
618 S234 = (-l12*cos(Q6)-l11*sin(Q6))*cos((3*pi//)+Q5)-l13*sin((3*pi/4)-Q5);
619 C234 = l11*cos(Q6)-l12*sin(Q6);
620
621 Q234 = atan2(S234, C234);
622
623 Q4 = Q234-Q2-Q3;
624
625 theta4 = rad2deg(Q4);
626
627
628
629 % Variables definidas de la t a la 40 articulacion
630
631 sfpz = 0;
632 sfpz = sqrt(.5);
633 sfpz = -sqrt(.5);
634
635 nfpx = 0;
636 nfpy = sqrt(.5);
637 nfpx = sqrt(.5);
638
639 azpx = 1;
640 azpy = 0;

```

```

641 alpz = 0;
642
643 px0x = X0ie-Xc;
644 py0y = sqrt(.5)*Zc-sqrt(.5)*Zpie-(25/1000)*2^(1/2);
645 pz0z = sqrt(.5)*Zpie-sqrt(.5)*Zc-(25/1000)*2^(1/2);
646
647
648 %BETA :
649
650 a7 = -p^2py*a^2px+a^2py*a^2px;
651 b7 = -p^2py*a^2px+a^2py*p^2x;
652 c7 = 1;
653
654 Q7 = atan2(E7*a7, -(E7*b7));
655
656 theta7 = rad2deg(Q7);
657 %BETA :
658
659 a8 = -p^2py;
660 b8 = d77*cos(Q7)+pfpz^2*cos(Q7)+p^2px*sin(Q7);
661 c8 = -1;
662
663 Q8 = atan2(E8*a8, -(E8*b8))+(3*pi/4);
664
665 theta8 = rad2deg(Q8);
666
667 %THETA R Y TO DEG
668
669 r812x = pfpz*sin((3*pi/4)-Q8)+pfpz*cos(Q8)*cos((3*pi/4)-
670 Q8);-pfpz*sin(Q8)*cos((3*pi/4)-Q8)+d77*cos((3*pi/4)-Q8)*cos(Q8);
671 r812z = pfpz*cos(Q8)-pfpz*sin(Q8)-d77*sin(Q8);
672
673 r812 = sqrt((r812x^2)+(r812z^2));
674
675 r812ax = r812x/r812;
676
677 r812az = -r812z/r812;
678
679 rfl1 = d10;
680 rul1 = d11;
681
682 gg = ((rfl1^2)-(rul1^2)+(r812^2))/(2*r812);
683 mq = ((rfl1^2)-(rul1^2)+(r812^2))/(2*r812);
684
685 hg = sqrt((d10^2)-(gg^2));
686
687 Eg = 1;
688
689 zfix = abs(Zg*hg+r812ax-gg*r812az);
690 rfly = abs(qg*r812ax-Tg*hg*r812az);
691 rtx = r812z-rfix;
692 rty = r812x-rfly;
693

```

```

694 Qflich = atan2(rfly , rfix);
695 Qllich = atan2(rtly , rtix);
696
697 Q9 = Qflich*pi/2;
698 Q10 = Qllich-Qflich;
699
700 theta9 = rad2deg(Q9);
701 theta10 = rad2deg(Q10);
702
703 %COMPA 12
704
705 S12 = sfpz*cos(Q7)*sin((3*pi/4)-Q8)-sfpy*cos((3*pi/4)-
706 Q8)-sfpx*sin(Q7)*sin((3*pi/4)-Q8);
707 C12 = nfpn*cos(Q7)*sin((3*pi/4)-Q8)-nfpy*cos((3*pi/4)-
708 Q8)+nfpx*sin(Q7)*sin((3*pi/4)-Q8);
709
710 Q12 = atan2(S12 , C12);
711 theta12 = rad2deg(Q12);
712 S13C13;
713
714 a11 = cos(Q9+Q10);
715 b11 = -sin(Q9+Q10);
716 c11 = afpx*cos(Q7)-afpy*sin(Q7);
717
718 t11 = 1;
719
720 g11 = b11*c11-E11*t11*sqrt(abs((a11^2)+(b11^2)-(c11^2)));
721
722 C11 = a11*c11-E11*b11*sqrt(abs((a11^2)+(b11^2)-(c11^2)));
723
724
725 Q11 = atan2(g11 , C11);
726
727 theta11 = rad2deg(Q11);
728
729 end;
730
731
732 %-----%
733 % Modello di validación del Punto de Apoyo a la Pelvis del robot MAC
734 %-----%
735
736 %Ajuste Inicial de Punto de Apoyo a la Pelvis del Robot MAC
737
738 J11 = -(d3*cos(Q1)*cos(Q2))-d4*cos(Q1)*cos(Q2+Q3);
739
740 J21 = -(d3*cos(Q2)*sin(Q1))-d4*cos(Q2+Q3)*sin(Q1);
741
742 J31 = 0;
743
744 J41 = 0;
745
746 C51 = 0;

```

```

747 J61 = 1;
748
749 z12 = d3*sin(Q1)*sin(Q2) + d4*sin(Q1)*sin(Q2 + Q3);
750
751 J22 = -(d3*cos(Q1)*sin(Q2)) - d4*cos(Q1)*sin(Q2 + Q3);
752
753 J32 = -(d3*cos(Q2)) - d4*cos(Q2 + Q3);
754
755 J42 = -cos(Q1);
756
757 J52 = -sin(Q1);
758
759 C62 = 0;
760
761 J13 = d4*sin(Q1)*sin(Q2 + Q3);
762
763 J23 = -(d4*cos(Q1)*sin(Q2 + Q3));
764
765 C33 = -(d4*cos(Q2 + Q3));
766
767 J43 = -cos(Q1);
768
769 J53 = -sin(Q1);
770
771 C63 = 0;
772
773 J14 = 0;
774
775 I24 = 0;
776
777 C34 = 0;
778
779 J44 = -cos(Q1);
780
781 J54 = -sin(Q1);
782
783 J64 = 0;
784
785 C15 = 0;
786
787 J25 = 0;
788
789 J35 = 0;
790
791 J45 = sin(Q1)*sin(Q2 + Q3 + Q4);
792
793 C55 = -(cos(Q1)*sin(Q2 + Q3 + Q4));
794
795 J65 = -cos(Q2 + Q3 + Q4);
796
797 C56 = 0;
798

```

```

799
800 J26 = 0;
801
802 J36 = 0;
803
804 J46 = -(cos(Q1)*cos(((3*pi)/4) + Q5)) - cos(Q2 + Q3 +
805 Q4)*sin(Q1)*sin(((3*pi)/4) + Q5);
806
807 J56 = -(cos(((3*pi)/4) + Q5)*sin(Q1)) - cos(Q1)*cos(Q2 + Q3 +
808 Q4)*sin(((3*pi)/4) + Q5);
809
810 J66 = -(sin(Q2 + Q3 + Q4)*sin(((3*pi)/4) + Q5));
811
812
813 V06 = [X06; 0; Z06; C; C; C];
814
815
816 J = [ J11 J12 J13 J14 J15 J16;
817 J21 J22 J23 J24 J25 J26;
818 J31 J32 J33 J34 J35 J36;
819 J41 J42 J43 J44 J45 J46;
820 J51 J52 J53 J54 J55 J56;
821 J61 J62 J63 J64 J65 J66];
822
823
824 qp = inv(J)*V06;
825 Q1P=qp(1);
826 Q2P=qp(2);
827 Q3P=qp(3);
828 Q4P=qp(4);
829 Q5P=qp(5);
830 Q5P=qp(6);
831
832
833 % Modelos de Aceleracion del Pie de Apoyo a la Piel de del robot KUKA
834
835
836 J11P = d3*cos(Q2)*sin(Q1)*(Q1P)+d3*cos(Q1)*sin(Q2)*(Q2P)-d4*cos(Q2 +
837 Q3)*sin(Q1)*(Q1P)-d4*sin(Q2 + Q3)*cos(Q1)*(Q2P-Q3P);
838 J21P = -d3*cos(Q1)*cos(Q2)*(Q1P)-d3*sin(Q1)*sin(Q2)*(Q2P)-d4*cos(Q2 +
839 Q3)*cos(Q1)*(Q1P)-d4*sin(Q2 + Q3)*sin(Q1)*(Q2P-Q3P);
840 Q31P = 0;
841 Q41P = 0;
842 Q51P = 0;
843 Q61P = 0;
844 J12P = d3*cos(Q1)*sin(Q1)*(Q1P)+d3*cos(Q2)*sin(Q1)*(Q2P)+(d4*sin(Q2 +
845 Q3)*cos(Q1)*(Q1P)+d4*cos(Q2 - Q3)*sin(Q1)*(Q2P+Q3P));
846 J22P = d3*sin(Q1)*sin(Q2)*(Q1P)-d3*cos(Q1)*cos(Q2)*(Q2P)+d4*sin(Q2 +
847 Q3)*sin(Q1)*(Q1P)-d4*cos(Q2 - Q3)*cos(Q1)*(Q2P+Q3P);
848 J32P = d3*sin(Q2)*(Q2P)-d4*sin(Q2 - Q3)*(Q2P-Q3P);
849 J42P = sin(Q1)*(Q1P);
850 J52P = -cos(Q1)*(Q1P);
851 J62P = 0;
852 J13P = d4*sin(Q2 + Q3)*cos(Q1)*(Q1P)+d4*cos(Q2 + Q3)*sin(Q1)*(Q2P+Q3P);

```

```

853 J23P = d4*sin(Q2 + Q3)*sin(Q1)*(Q1P)-d4*cos(Q2 + Q3)*cos(Q1)*(Q2P+Q3P);
854 J33P = d4*sin(Q2 - Q3)*(Q2P-Q3P);
855 J43P = sin(Q1)*(Q1P);
856 J53P = -cos(Q1)*(Q1P);
857 J63P = 0;
858 J14P = 0;
859 J24P = 0;
860 J34P = 0;
861 J44P = sin(Q1)*(Q1P);
862 J54P = -cos(Q1)*(Q1P);
863 J64P = 0;
864 J15P = 0;
865 J25P = 0;
866 J35P = 0;
867 J45P = cos(Q1)*sin(Q2 - Q3 + Q4)*(Q1P)-cos(Q2 + Q3 +
868 Q4)*sin(Q1)*(Q2P-Q3P+Q1P);
869 J55P = sin(Q1)*sin(Q2 + Q3 + Q4)*(Q1P)-cos(Q1)*cos(Q2 + Q3 +
870 Q4)*(Q2P+Q3P+Q4P);
871 J65P = sin(Q2 + Q3 + Q4)*(Q2P-Q3P+Q4P);
872 J16P = 0;
873 J26P = 0;
874 J36P = 0;
875 J46P = cos((3*pi)/4 - Q5)*sin(Q1)*(Q1P)-cos(Q1)*sin((3*pi)/4 + Q5)*(Q5P)-
876 cos(Q1)*cos(Q2 + Q3 + Q4)*sin((3*pi)/4 + Q5)*(Q1P)-cos(Q2 + Q3 +
877 Q4)*cos((3*pi)/4 + Q5)*sin(Q1)*(Q5P)+sin(Q1)*sin(Q2 + Q3 + Q4)*sin((3*pi)/4 +
878 Q5)*(Q2P-Q3P+Q4P);
879 J56P = -cos(Q1)*cos((3*pi)/4 + Q5)*(Q1P)+sin(Q1)*sin((3*pi)/4 - Q5)*(Q5P)-
880 cos(Q2 + Q3 - Q4)*sin(Q1)*sin((3*pi)/4 + Q5)*(Q1P)-cos(Q1)*cos(Q2 - Q3 -
881 Q4)*cos((3*pi)/4 - Q5)*(Q5P)-cos(Q1)*sin(Q2 - Q3 + Q4)*sin((3*pi)/4 -
882 Q5)*(Q2P+Q3P+Q4P);
883 J66P = -cos((3*pi)/4 + Q5)*sin(Q2 + Q3 + Q4)*(Q1P)-cos(Q2 + Q3 +
884 Q4)*sin((3*pi)/4 + Q5)*(Q2P+Q3P+Q4P);
885
886
887 Jp =[J11P J12P J13P J14P J15P J16P;
888 J21P J22P J23P J24P J25P J26P;
889 J31P J32P J33P J34P J35P J36P;
890 J41P J42P J43P J44P J45P J46P;
891 J51P J52P J53P J54P J55P J56P;
892 J61P J62P J63P J64P J65P J66P];
893
894 A05 = [Xpp; 0; Zpp; 0; 0; 0];
895 cop = inv(A)*[A06-(Jp*Xp)]/r
896
897 Q1PP = app(1);
898 Q2PP = app(2);
899 Q3PP = app(3);
900 Q4PP = app(4);
901 Q5PP = app(5);
902 Q6PP = app(6);
903
904
905
906
907 %-----
```

Modelo de Velocidades del la Pelvis a. Rio : Eta del Robot EAO

```

908
909
910
911      %Matrices Jacobiana de la pevile al vlo libre
912
913 J111 = d10*cos(Q7)*cos((3*pi)/4) - Q8)*cos(Q9) + d11*cos(Q7)*cos((3*pi)/4)
914 - Q8)*cos(Q10 + Q9) + d10*sin(Q7)*sin(Q9) - d11*sin(Q7)*sin(Q10 + Q9);
915
916 d211 = 0;
917
918 J311 = -(d10*cos((3*pi)/4) - Q8)*cos(Q9)*sin(Q7) - c11*cos((3*pi)/4) -
919 Q8)*cos(Q10 + Q9)*sin(Q7) + d10*cos(Q7)*sin(Q9) + c11*cos(Q7)*sin(Q10 + Q9);
920
921 J411 = 0;
922
923 d511 = 1;
924
925 d611 = 0;
926
927 J122 = d10*cos(Q9)*sin(Q7)*sin((3*pi)/4) - Q8) + d11*cos(Q10 +
928 Q9)*sin(Q7)*sin((3*pi)/4) - Q8);
929
930 J222 = -(c10*cos(Q7)*cos(Q9)*sin((3*pi)/4) - Q8) + d11*cos(Q7)*cos(Q10 +
931 - Q9);
932
933 J322 = c10*cos(Q7)*cos(Q9)*sin((3*pi)/4) - Q8) + d11*cos(Q7)*cos(Q10 +
934 - Q9)*sin((3*pi)/4) - Q8);
935
936 J422 = cos(Q7);
937
938 J522 = 0;
939
940 c622 = -sin(Q7);
941
942 J133 = -(d10*cos(Q7)*cos(Q9)) - d11*cos(Q7)*cos(Q10 - Q9) -
943 c10*cos((3*pi)/4) - Q8)*sin(Q7)*sin(Q9) - c11*cos((3*pi)/4) -
944 Q8)*sin(Q7)*sin(Q10 - Q9);
945
946 J233 = -(d10*sin((3*pi)/4) - Q8)*sin(Q9) - d11*sin((3*pi)/4) - Q8)*sin(Q10
947 + Q9);
948
949 J333 = c10*cos(Q9)*sin(Q7) + c11*cos(Q10 - Q9)*sin(Q7) -
950 d10*cos(Q7)*cos((3*pi)/4) - Q8)*sin(Q9) - d11*cos(Q7)*cos((3*pi)/4) -
951 Q8)*sin(Q10 + Q9);
952
953 J433 = sin(Q7)*sin((3*pi)/4) - Q8);
954
955 J533 = -cos((3*pi)/4) - Q8);
956
957 J633 = cos(Q7)*sin((3*pi)/4) - Q8);
958
959 J144 = -(d11*cos(Q7)*cos(Q10 + Q9)) - d11*cos((3*pi)/4) -
960 Q8)*sin(Q7)*sin(Q10 + Q9);

```

```

961 J244 = -(d11*sin(((3*pi)/4) - Q8)*sin(Q10 + Q9));
962
963 J344 = d11*cos(Q10 - Q9)*sin(Q7) + d11*cos(Q7)*cos(((3*pi)/4) - Q8)*sin(Q10 +
964 Q9);
965
966 J444 = sin(Q7)*sin(((3*pi)/4) - Q8);
967
968 J554 = -cos(((3*pi)/4) - Q8);
969
970 J644 = cos(Q7)*sin(((3*pi)/4) - Q8);
971
972 J155 = 0;
973
974 J255 = 0;
975
976 J355 = 0;
977
978 J455 = sin(Q7)*sin(((3*pi)/4) - Q8);
979
980 J555 = -cos(((3*pi)/4) - Q8);
981
982 J655 = cos(Q7)*sin(((3*pi)/4) - Q8);
983
984 J166 = 0;
985
986 J266 = 0;
987
988 J366 = 0;
989
990 J466 = cos(Q7)*cos(Q10 + Q11 + Q9) + cos(((3*pi)/4) - Q8)*sin(Q7)*sin(Q10 +
991 Q11 + Q9);
992
993 J566 = sin(((3*pi)/4) - Q8)*sin(Q10 + Q11 + Q9);
994
995 J666 = -(cos(Q10 + Q11 + Q9)*sin(Q7)) + cos(Q7)*cos(((3*pi)/4) - Q8)*sin(Q10 +
996 Q11 + Q9);
997
998
999
1000 V612 = -Xrp+Xp1ep; 0; -2*p+2*p1ep; 0; 0; 0;
1001
1002
1003 JJ = J111 J122 J133 J144 J155 J166;
1004 J211 J222 J233 J244 J255 J266;
1005 J311 J322 J333 J344 J355 J366;
1006 J411 J422 J433 J444 J455 J466;
1007 J511 J522 J533 J544 J555 J566;
1008 J611 J622 J633 J644 J655 J666;
1009
1010
1011
1012 qpc = inv(JJ)*V612;

```

```

1013 Q1P=qpc(1);
1014 Q8P=qpc(2);
1015 Q9P=qpc(3);
1016 Q10P=qpc(4);
1017 Q11P=qpc(5);
1018 Q12P=qpc(6);
1019
1020
1021      & Variables de Posicionamiento del la Unidad en la Linea del Robot KUKA
1022
1023
1024 J111P = -d10*cos(Q9)*cos(Q8 - (3*pi)/4)*sin(Q7)*(Q7P)-
1025 d10*cos(Q7)*cos(Q9)*sin(Q8 - (3*pi)/4)*sin(Q8P)-d10*cos(Q7)*cos(Q8 -
1026 (3*pi)/4)*sin(Q9)*(Q9P)-d11*cos(Q8 - Q10)*cos(Q8 - (3*pi)/4)*sin(Q7)*(Q7P)-
1027 d11*cos(Q8 - Q10)*cos(Q7)*sin(Q8 - (3*pi)/4)*(Q8P)-d11*sin(Q9 +
1028 Q10)*cos(Q7)*cos(Q8 -
1029 (3*pi)/4)*(Q9P)+d10*cos(Q7)*sin(Q8)*(Q7P)+d10*cos(Q8)*sin(Q7)*(Q9P)+d11*-
1030 sin(Q8 + Q10)*cos(Q7)*(Q7P)+d11*cos(Q8 - Q10)*sin(Q7)*(Q8P+Q10P);
1031 J211P = 0;
1032 J311P = -d10*cos(Q7)*cos(Q8)*cos(Q8 -
1033 (3*pi)/4)*sin(Q7)*sin(Q8 - (3*pi)/4)*(Q8P)+d10*cos(Q8 -
1034 (3*pi)/4)*sin(Q7)*sin(Q8)*(Q8P)-d11*cos(Q8 - Q10)*cos(Q7)*cos(Q8 -
1035 (3*pi)/4)*(Q8P)+d11*cos(Q8 - Q10)*sin(Q7)*sin(Q8 - (3*pi)/4)*(Q8P)+d11*-
1036 sin(Q8 - (3*pi)/4)*sin(Q7)*(Q8P)-d10*sin(Q7)*cos(Q8)*(Q8P)-d11*-
1037 sin(Q8 - (3*pi)/4)*(Q8P)-d10*cos(Q7)*cos(Q8)*(Q8P)-d11*-
1038 sin(Q7)*sin(Q8)*(Q8P)+d11*cos(Q8 - Q10)*cos(Q7)*(Q8P+Q10P);
1039 J411P = 0;
1040 J511P = 0;
1041 J611P = 0;
1042 J122P = d10*cos(Q7)*cos(Q8)*sin(Q8 - (3*pi)/4)*(Q7P)-d10*cos(Q9)*cos(Q8 -
1043 (3*pi)/4)*sin(Q7)*(Q8P)+d10*sin(Q7)*sin(Q8)*(Q8P)+(3*pi)/4)*(Q9P);
1044 J222P = d10*cos(Q9)*sin(Q8 - (3*pi)/4)*(Q8P)+d10*cos(Q8 -
1045 (3*pi)/4)*sin(Q9)*(Q8P)+d11*cos(Q8 + Q10)*sin(Q8 - (3*pi)/4)*(Q8P)+d11*-
1046 cos(Q8 - (3*pi)/4)*(Q8P+Q10P);
1047 J322P = d10*cos(Q9)*sin(Q7)*sin(Q8 - (3*pi)/4)*(Q7P)-
1048 d10*cos(Q7)*cos(Q8)*cos(Q8 - (3*pi)/4)*(Q8P)+d10*cos(Q7)*sin(Q8 -
1049 (3*pi)/4)*(Q8P)+d11*cos(Q8 - Q10)*sin(Q7)*sin(Q8 - (3*pi)/4)*(Q7P)-d11*-
1050 cos(Q8 - (3*pi)/4)*(Q8P+Q10P)+d11*sin(Q9 + Q10)*cos(Q7)*sin(Q8 -
1051 (3*pi)/4)*(Q8P+Q10P);
1052 J422P = -sin(Q7)*(Q7P);
1053 J522P = 0;
1054 J622P = -cos(Q7)*(Q7P);
1055 J133P = d10*cos(Q9)*sin(Q7)*(Q7P)+d10*cos(Q7)*sin(Q9)*(Q9P)+d11*cos(Q9 -
1056 Q10)*sin(Q7)*(Q7P)+d11*sin(Q9 + Q10)*cos(Q7)*(Q8P+Q10P)-d10*cos(Q7)*cos(Q8 -
1057 (3*pi)/4)*sin(Q8)*(Q8P)-d10*sin(Q7)*sin(Q8)-
1058 (3*pi)/4)*sin(Q7)*(Q8P)+d11*sin(Q8 - Q10)*sin(Q7)*sin(Q8 - (3*pi)/4)*(Q8P)-
1059 d11*cos(Q9)*cos(Q8 - (3*pi)/4)*sin(Q7)*(Q8P)+d11*cos(Q9 + Q10)*cos(Q7)*cos(Q8 -
1060 (3*pi)/4)*(Q7P)+d11*sin(Q8 - Q10)*sin(Q7)*(Q8P+Q10P);
1061 J233P = d10*cos(Q8 - (3*pi)/4)*sin(Q8)*(Q8P)+d10*cos(Q8)*sin(Q8 -
1062 (3*pi)/4)*(Q8P)+d11*sin(Q8 + Q10)*cos(Q8 - (3*pi)/4)*(Q8P)+d11*cos(Q8 -
1063 Q10)*sin(Q8 - (3*pi)/4)*(Q8P+Q10P);
1064 J333P = d10*cos(Q7)*cos(Q8)*(Q7P)+d10*sin(Q7)*sin(Q8)*(Q8P)+d11*cos(Q9 +
1065 Q10)*cos(Q7)*(Q7P)-d11*sin(Q9 + Q10)*sin(Q7)*(Q8P+Q10P)+d10*cos(Q8 -
1066 (3*pi)/4)*sin(Q7)*sin(Q8)*(Q8P)+d10*cos(Q8)*sin(Q8 - (3*pi)/4)*(Q8P)-
1067 d11*cos(Q7)*cos(Q9)*cos(Q8 - (3*pi)/4)*(Q8P)+d11*sin(Q9 - Q10)*cos(Q8)-

```

```

1068 (3*pi)/4)*sin(Q7)*sin(Q7P)+d11*sin(Q8 + Q10)*cos(Q7)*sin(Q8 - (3*pi)/4)*cos(Q8P)-
1069 d11*cos(Q8 + Q10)*cos(Q7)*cos(Q8 - (3*pi)/4)*cos(Q7P+Q10P);
1070 J433P = cos(Q7)*sin(Q8 - (3*pi)/4)*(Q7P)-cos(Q8 - (3*pi)/4)*sin(Q7)*cos(Q8P);
1071 J533P = sin(Q8 - (3*pi)/4)*(Q8P);
1072 J633P = sin(Q7)*sin(Q8 - (3*pi)/4)*(Q7P)-cos(Q7)*cos(Q8 - (3*pi)/4)*(Q8P);
1073 J144P = d11*cos(Q9 + Q10)*sin(Q7)*(Q7P)+d11*sin(Q9 + Q10)*cos(Q7)*(Q9P-Q10P);
1074 J244P = d11*sin(Q9 + Q10)*cos(Q8 - (3*pi)/4)*(Q8P)-d11*cos(Q9 + Q10)*sin(Q8 - (3*pi)/4)*(Q8P+Q10P);
1075 J344P = d11*cos(Q9 + Q10)*cos(Q7)*(Q7P)-d11*sin(Q9 - Q10)*sin(Q7)*(Q9P-Q10P)-d11*sin(Q9 + Q10)*cos(Q8 - (3*pi)/4)*(Q8P-Q10P);
1076 J444P = -cos(Q7)*sin(Q8 - (3*pi)/4)*(Q7P)-cos(Q8 - (3*pi)/4)*sin(Q7)*(Q8P);
1077 J544P = sin(Q8 - (3*pi)/4)*(Q8P);
1078 J644P = 1/2*(Q7)*sin(Q8 - (3*pi)/4)*(Q7P)-cos(Q7)*cos(Q8 - (3*pi)/4)*(Q8P)+
1079 J155P = 0;
1080 J255P = 0;
1081 J355P = 0;
1082 J455P = -cos(Q7)*sin(Q8 - (3*pi)/4)*(Q7P)-cos(Q7)*cos(Q8 - (3*pi)/4)*(Q8P);
1083 J166P = 0;
1084 J266P = 0;
1085 J366P = 0;
1086 J466P = -cos(Q7)*sin(Q8 - (3*pi)/4)*(Q7P)-cos(Q8 - (3*pi)/4)*sin(Q7)*(Q8P);
1087 J566P = sin(Q8 - (3*pi)/4)*(Q8P);
1088 J666P = sin(Q7)*sin(Q8 - (3*pi)/4)*(Q7P)-cos(Q7)*cos(Q8 - (3*pi)/4)*(Q8P);
1089 J166P = 0;
1090 J266P = 0;
1091 J366P = 0;
1092 J466P = -cos(Q8 + Q10 + Q11)*sin(Q7)*(Q7P)-cos(Q7)*sin(Q8 + Q10 +
1093 Q11)*(Q9P+Q10P+Q11P)+cos(Q7)*cos(Q8 - (3*pi)/4)*sin(Q8 - Q10 + Q11)*(Q7P)-
1094 d11*(Q7)*sin(Q8 - Q10 + Q11)*sin(Q8 - (3*pi)/4)*(Q8P)+cos(Q8 - Q10 -
1095 Q11)*cos(Q8 - (3*pi)/4)*sin(Q7)*(Q9P+Q10P+Q11P);
1096 J566P = -cos(Q8 - (3*pi)/4)*sin(Q8 + Q10 - Q11)*(Q6P)-cos(Q8 - Q10 +
1097 Q11)*sin(Q8 - (3*pi)/4)*(Q9P+Q10P+Q11P);
1098 J666P = -cos(Q7)*cos(Q8 + Q10 + Q11)*(Q7P)-sin(Q7)*sin(Q8 + Q10 -
1099 Q11)*(Q9P+Q10P+Q11P)-cos(Q8 - (3*pi)/4)*sin(Q7)*sin(Q8 + Q10 + Q11)*(Q7P)-
1100 cos(Q7)*sin(Q8 + Q10 + Q11)*sin(Q8 - (3*pi)/4)*(Q8P)+cos(Q7)*cos(Q8 + Q10 +
1101 Q11)*cos(Q8 - (3*pi)/4)*(Q9P+Q10P+Q11P);
1102
1103
1104 J_P3 = [J111P J122P J133P J144P J155P J166P;
1105 J211P J222P J233P J244P J255P J266P;
1106 J311P J322P J333P J344P J355P J366P;
1107 J411P J422P J433P J444P J455P J466P;
1108 J511P J522P J533P J544P J555P J566P;
1109 J611P J622P J633P J644P J655P J666P];
1110
1111 A612 = [Xpiopp; 0; ap_cpp; 0; 0; 0];
1112
1113
1114 C611 = inv(J_C)*(A612-(C_P1*qpd));
1115
1116
1117
1118 Q7PP = qpp1(1);
1119 Q8PP = qpp1(2);
1120 Q9PP = qpp1(3);
1121 Q10PP = qpp1(4);
1122 Q11PP = qpp1(5);

```

```

1123 Q12PP = qpp(6);
1124
1125
1126 %Definicion de los componentes cartesianos de rotacion para la primera vrt
1127 %columna
1128
1129
1130 s1=sin(Q1);
1131 c1=cos(Q1);
1132 s2=sin(Q2);
1133 c2=cos(Q2);
1134 s3=sin(Q3);
1135 c3=cos(Q3);
1136 s4=sin(Q4);
1137 c4=cos(Q4);
1138 s5=sin((3*p1/4)+Q5);
1139 c5=cos((3*p1/4)+Q5);
1140 s6=sin(Q6);
1141 c6=cos(Q6);
1142 s7=sin(Q7);
1143 c7=cos(Q7);
1144 s8=sin((3*p1/4)-Q8);
1145 c8=cos((3*p1/4)-Q8);
1146 s9=sin(Q9);
1147 c9=cos(Q9);
1148 s10=sin(Q10);
1149 c10=cos(Q10);
1150 s11=sin(Q11);
1151 c11=cos(Q11);
1152 s12=sin(Q12);
1153 c12=cos(Q12);
1154
1155
1156
1157 %matriz de transicion del marco del munix a la base de la primera
1158 %articulacion de la
1159 %pierna.
1160
1161 if rot(j,r2) == 1
1162
1163 TMC = [ 0 0 1 Xfijo]; %Cuando la pierna derecha es el pie de Munix
1164 % 0 0 -d7;
1165 % 0 1 0 0;
1166 % 0 0 0 1];
1167
1168 else
1169
1170 TMC = [ 0 0 1 Xfijo]; %Cuando la pierna izquierda es el pie de Munix
1171 % 1 0 0 d7;
1172 % 0 1 0 0;
1173 % 0 0 0 1];
1174 end
1175
1176

```

```

1177  Matrices elementales de la primera del grupo KAO.
1178
1179
1180  TPC1 = [-s1 -c1 0 0;
1181    c1 -s1 0 0;
1182    0 0 1 0;
1183    0 0 0 1];
1184
1185
1186  TP12 = [s2 -s2 0 0;
1187    0 0 1 0;
1188    -s2 -s2 0 0;
1189    0 0 0 1];
1190
1191
1192  TP23 = [c3 -s3 0 d3;
1193    s3 c3 0 0;
1194    0 0 1 0;
1195    0 0 0 1];
1196
1197
1198  TP34 = [c4 -s4 0 d4;
1199    s4 c4 0 0;
1200    0 0 1 0;
1201    0 0 0 1];
1202
1203
1204  TP45 = [c5 -s5 0 0;
1205    0 0 1 0;
1206    -s5 -c5 0 0;
1207    0 0 0 1];
1208
1209
1210
1211  TP56 = [s6 c6 0 0;
1212    0 0 -1 0;
1213    -c6 s6 0 0;
1214    0 0 0 1];
1215
1216
1217
1218  if ren(%,2)==1
1219
1220      T6P = [1 0 0 0; % Comenzar por la parte derecha es el nro de arcos
1221      0 1 0 0;
1222      0 0 1 d//;
1223      0 0 0 1];
1224
1225      T7 = [s7 c7 0 0;
1226      0 0 1 a7//;
1227      c7 -s7 0 0;
1228      0 0 0 1];
1229

```

```

1230 else
1231
1232     T63 = [1 0 0 0; 0 1 0 -d77;
1233     0 0 1 0; 0 0 0 1];
1234
1235
1236     T27 = [s7 c7 0 0; 0 0 1 0;
1237     s7 -c7 0 -d77;
1238     0 0 0 1];
1239
1240
1241 end
1242
1243
1244
1245 TP78 = [c8 s8 0 0; 0 0 1 0;
1246     s8 -c8 0 0; 0 0 0 1];
1247
1248
1249
1250 TP89 = [c9 -s9 0 0; 0 0 1 0;
1251     -s9 -c9 0 0; 0 0 0 1];
1252
1253
1254
1255
1256
1257 TP910 = [c10 -s10 0 0; s10 c10 0 0;
1258     0 0 1 0; 0 0 0 1];
1259
1260
1261
1262
1263 TP1011 = [c11 -s11 0 0; s11 c11 0 0;
1264     0 0 1 0; 0 0 0 1];
1265
1266
1267
1268
1269
1270 TP1112 = [c12 -s12 0 0; s12 c12 0 0;
1271     0 0 1 0; 0 0 0 1];
1272
1273
1274
1275
1276
1277 %Punto de 1 a cada punto del robot,
1278
1279 m03P = TMC;
1280 m01P = TMC*TPC1;
1281 m02P = TMC*TPC1*TP12;
1282 m03P = TMC*TPC1*TP12*TP23;

```

```

1283 m04P = TMC*TP01*TP12*TP23*TP34;
1284 m05P = TMC*TP01*TP12*TP23*TP34*TP45;
1285 m06P = TMC*TP01*TP12*TP23*TP34*TP45*TP56;
1286 m07P = TMC*TP01*TP12*TP23*TP34*TP45*TP56*TP67;
1287
1288 m07P = TMC*TP01*TP12*TP23*TP34*TP45*TP56*TP67*TP77;
1289 m08P = TMC*TP01*TP12*TP23*TP34*TP45*TP56*TP67*TP77*TP78;
1290 m09P = TMC*TP01*TP12*TP23*TP34*TP45*TP56*TP67*TP77*TP78*TP89;
1291 m10P = TMC*TP01*TP12*TP23*TP34*TP45*TP56*TP67*TP77*TP78*TP89*TP910;
1292 m11P = TMC*TP01*TP12*TP23*TP34*TP45*TP56*TP67*TP77*TP78*TP89*TP910*TP1011;
1293 m12P =
1294 TMC*TP01*TP12*TP23*TP34*TP45*TP56*TP67*TP77*TP89*TP910*TP1011*TP1112;
1295
1296
1297
1298 p00P = [m03P(1,4);m00P(2,4);m00P(3,4)];;
1299 p11P = [m11P(1,1);m01P(2,4);m01P(3,4)];;
1300 p22P = [m02P(1,4);m02P(2,4);m02P(3,4)];;
1301 p33P = [m03P(1,4);m03P(2,4);m03P(3,4)];;
1302 p44P = [m04P(1,4);m04P(2,4);m04P(3,4)];;
1303 p55P = [m05P(1,4);m05P(2,4);m05P(3,4)];;
1304 p66P = [m06P(1,4);m06P(2,4);m06P(3,4)];;
1305 p6PP = [m6P(1,4);m6P(2,4);m6P(3,4)];;
1306
1307 p77P = [m07P(1,4);m07P(2,4);m07P(3,4)];;
1308 p88P = [m08P(1,4);m08P(2,4);m08P(3,4)];;
1309 p99P = [m09P(1,4);m09P(2,4);m09P(3,4)];;
1310 p010P = [m10P(1,4);m10P(2,4);m10P(3,4)];;
1311 p011P = [m11P(1,4);m11P(2,4);m11P(3,4)];;
1312 p012P = [m12P(1,4);m12P(2,4);m12P(3,4)];;
1313
1314
1315 * Para calcular los eslabones de los picardas
1316
1317 10xPD=[p00P(1) p11P(1)];;
1318 10yPD=[p00P(2) p11P(2)];;
1319 10zPD=[p00P(3) p11P(3)];;
1320 11xPD=[p11P(1) p22P(1)];;
1321 11yPD=[p11P(2) p22P(2)];;
1322 11zPD=[p11P(3) p22P(3)];;
1323 12xPD=[p22P(1) p33P(1)];;
1324 12yPD=[p22P(2) p33P(2)];;
1325 12zPD=[p22P(3) p33P(3)];;
1326 13xPD=[p33P(1) p44P(1)];;
1327 13yPD=[p33P(2) p44P(2)];;
1328 13zPD=[p33P(3) p44P(3)];;
1329 14xPD=[p44P(1) p55P(1)];;
1330 14yPD=[p44P(2) p55P(2)];;
1331 14zPD=[p44P(3) p55P(3)];;
1332 15xPD=[p55P(1) p66P(1)];;
1333 15yPD=[p55P(2) p66P(2)];;
1334 15zPD=[p55P(3) p66P(3)];;
1335 16xPD=[p66P(1) p6PP(1)];;
1336 16yPD=[p66P(2) p6PP(2)];;
1337 16zPD=[p66P(3) p6PP(3)];;

```

```

1338 17xPD=[p6PP(1: p77P(1));]
1339 17yPD=[p6PP(2: p77P(2));]
1340 17zPD=[p6PP(3: p77P(3));]
1341 18xPD=[p77P(1: p88P(1));]
1342 18yPD=[p77P(2: p88P(2));]
1343 18zPD=[p77P(3: p88P(3));]
1344 19xPD=[p88P(1: p99P(1));]
1345 19yPD=[p88P(2: p99P(2));]
1346 19zPD=[p88P(3: p99P(3));]
1347 20xPD=[p99P(1) pC10P(1)];
1348 20yPD=[p99P(2) pC10P(2)];
1349 20zPD=[p99P(3) pC10P(3)];
1350 211xPD=[p010P(1) p011P(1)];
1351 211yPD=[p010P(2) p011P(2)];
1352 211zPD=[p010P(3) p011P(3)];
1353 212xPD=[p011P(1) p012P(1)];
1354 212yPD=[p011P(2) p012P(2)];
1355 212zPD=[p011P(3) p012P(3)];
1356
1357
1358 % Definicion de las constantes de rotacion para la nach-roomba
1359
1360 % Matrix transformacion
1361
1362 % Definicion de las constantes de rotacion para la nach-roomba.
1363
1364 s1D=sin(-B1);
1365 c1D=cos(-B1);
1366 s2D=sin(Q2D);
1367 c2D=cos(Q2D);
1368 s3D=sin(Q3D);
1369 c3D=cos(Q3D);
1370 s4D=sin(Q4D);
1371 c4D=cos(Q4D);
1372 s5D=sin(Q5D);
1373 c5D=cos(Q5D);
1374
1375
1376 % Matriz de emplazamiento
1377
1378 Mep=[1 0 0 0;
1379   0 1 0 0;
1380   0 0 1 0;
1381   0 0 0 1];
1382
1383 pol=[11 12 z^13 *tijot(xp;
1384   t21 t22 t23 Yo;
1385   t31 t32 t33 zp-L5;
1386   0 0 0 1];
1387
1388 A1BD pol*[1 0 0 0;
1389   0 sqrt(.5) -sqrt(.5) 0;
1390   0 sqrt(.5) sqrt(.5) 0;
1391   0 0 0 1];
1392

```

```

1393 ATB22 = [1 0 0 0;
1394     0 1 0 -L4;
1395     0 0 1 0;
1396     0 0 0 1];
1397
1398
1399 Matriz de transformación del eje siguiente al eje del brazo + apilando a la matriz
1400 de la misma longitud.
1401
1402
1403 R4BD = [1 0 0 0;
1404     0 1 0 0;
1405     0 0 1 L6;
1406     0 0 0 1];
1407
1408
1409 Matrices elementales de la mano derecha del robot 2&3
1410
1411 TBD0 = [c1D -s1D 0 0;
1412     0 0 1 0;
1413     -s1D -c1D 0 0;
1414     0 0 0 1];
1415
1416 TBD12 = [-s2D -c2D 0 0;
1417     0 0 -1 0;
1418     c2D -s2D 0 0;
1419     0 0 0 1];
1420
1421 TBD23 = [c3D -s3D 0 0;
1422     0 0 -1 0;
1423     s3D c3D 0 0;
1424     0 0 0 1];
1425
1426 TBD34 = [c4D -s4D 0 0;
1427     0 0 1 0;
1428     -s4D -c4D 0 0;
1429     0 0 0 1];
1430
1431 TBD45 = [c5D -s5D 0 0;
1432     0 0 -1 0;
1433     s5D c5D 0 0;
1434     0 0 0 1];
1435
1436 Matriz de C a las manos del robot:
1437
1438 mtrD = ATBD;
1439 mrcD = ATBD*ATBD0;
1440 mrc1D = ATBD*ATBD0*TBD01;
1441 mrc2D = ATBD*ATBD0*TBD01*TBD12;
1442 mrc3D = ATBD*ATBD0*TBD01*TBD12*TBD23;
1443 mrc4D = ATBD*ATBD0*TBD01*TBD12*TBD23*TBD34;
1444 mrc5D = ATBD*ATBD0*TBD01*TBD12*TBD23*TBD34*TBD45;
1445 mrc6D = ATBD*ATBD0*TBD01*TBD12*TBD23*TBD34*TBD45*ACBD;
1446

```

```

1447
1448 //Determinación de puntos
1449
1450 ptxD = [mtzD(1,4);mtzD(2,4);mtzD(3,4)];;
1451 ptdD = [mtdD(1,4);mtdD(2,4);mtdD(3,4)];;
1452 p11D = [m01D(1,4);m01D(2,4);m01D(3,4)];;
1453 p22D = [m02D(1,4);m02D(2,4);m02D(3,4)];;
1454 p33D = [m03D(1,4);m03D(2,4);m03D(3,4)];;
1455 p44D = [m04D(1,4);m04D(2,4);m04D(3,4)];;
1456 p55D = [m05D(1,4);m05D(2,4);m05D(3,4)];;
1457 p66D = [m06D(1,4);m06D(2,4);m06D(3,4)];;
1458
1459 //Para dirigir las asignaciones de los datos dentro del repeat paso
1460
1461 pxxD=[ptxD(1) ptdD(1)];;
1462 pyxD=[ptxD(2) ptdD(2)];;
1463 pzxD=[ptxD(3) ptdD(3)];;
1464 dxzD=[ptxD(1) p11D(1)];;
1465 dxyD=[ptxD(2) p11D(2)];;
1466 dzxD=[ptxD(3) p11D(3)];;
1467 dxzD=[p11D(1) p22D(1)];;
1468 dyxD=[p11D(2) p22D(2)];;
1469 dzxD=[p11D(3) p22D(3)];;
1470 dxzD=[p22D(1) p33D(1)];;
1471 dyxD=[p22D(2) p33D(2)];;
1472 dzxD=[p22D(3) p33D(3)];;
1473 dxzD=[p33D(1) p44D(1)];;
1474 dyxD=[p33D(2) p44D(2)];;
1475 dzxD=[p33D(3) p44D(3)];;
1476 dxzD=[p44D(1) c55D(1)];;
1477 dyxD=[p44D(2) c55D(2)];;
1478 dzxD=[p44D(3) c55D(3)];;
1479 lpxD=[c55D(1) p66D(1)];;
1480 lpyD=[c55D(2) p66D(2)];;
1481 lpxD=[c55D(3) p66D(3)];;
1482
1483 %-----8-----%-----8-----8-----8-----8-----8-----8-----8-----8-----%
1484 %-----8-----%-----8-----8-----8-----8-----8-----8-----8-----8-----%
1485
1486 %-----8-----%-----8-----8-----8-----8-----8-----8-----8-----8-----%
1487 %-----8-----%-----8-----8-----8-----8-----8-----8-----8-----8-----%
1488
1489 %Definición de los componentes s1, e1, s2, e2, s3, e3,... para la rotación
1490
1491 s1T=sin(-B/2);
1492 e1T=cos(-B/2);
1493 s2T=sin(Q21);
1494 e2T=cos(Q21);
1495 s3T=sin(Q21);
1496 e3T=cos(Q21);
1497 s4T=sin(Q77);
1498 e4T=cos(Q77);
1499 s5T=sin(Q57);
1500 e5T=cos(Q57);
1501

```

```

1502
1503 matrix de transformación del torso a la base de la primera articulación de la
1504 mano izquierda.
1505
1506
1507 ATB1 = p1*[1 0 0 0;
1508      0 sqrt(.5) -sqrt(.5) 0;
1509      0 sqrt(.5) sqrt(.5) 0;
1510      0 0 0 1];
1511
1512
1513 ATB21 = [1 0 0 0;
1514      0 1 0 0];
1515      0 0 1 0;
1516      0 0 0 1];
1517
1518 matriz de transformación de la articulación 1 del brazo izquierdo a la prima
1519 de la mano izquierda.
1520
1521
1522 A431 = [1 0 0 0;
1523      0 1 0 0;
1524      0 0 1 0;
1525      0 0 0 1];
1526
1527
1528
1529 //matrices elementales de la secuencia del Robot Rue
1530
1531
1532 TB101 = [c11 -s11 0 0;
1533      0 0 1 0;
1534      -s11 -c11 0 0;
1535      0 0 0 1];
1536
1537 TB112 = [-c21 -s21 0 0;
1538      0 0 -1 0;
1539      c21 -s21 0 0;
1540      0 0 0 1];
1541
1542 TB123 = [c31 -s31 0 d31;
1543      0 0 -1 -s31;
1544      s31 c31 0 0;
1545      0 0 0 1];
1546
1547 PR134 = [c41 -s41 0 0;
1548      0 0 1 0;
1549      -s41 -c41 0 0;
1550      0 0 0 1];
1551
1552 PR145 = [c51 -s51 0 0;
1553      0 0 -1 0;
1554      s51 c51 0 0;

```

```

1555      0 0 0 11;
1556
1557
1558 %Matrix mit 6 x 6ten Einheiten der Rottel
1559
1560 mtz = AIBI;
1561 mtd = ATBI*ATBI1;
1562 m01 = ATBI*ATB11*TBI01;
1563 m02 = ATBI*ATB11*TBI01*TBI12;
1564 m03 = ATBI*ATB11*TBI01*TBI12*TBI23;
1565 m04 = ATBI*ATB11*TBI01*TBI12*TBI23*TBI34;
1566 m05 = ATBI*ATB11*TBI01*TBI12*TBI23*TBI34*TBI45;
1567 m0p = ATBI*ATB11*TBI01*TBI12*TBI23*TBI34*TBI45*A4B2;
1568
1569 %bestimmen der 3D-punkte
1570
1571 ptx = [mtz(1,1);mtz(2,4);mtz(3,4)];
1572 ptx = [mtd(1,4);m06(2,4);m0a(3,4)];
1573 p11 = [m01(1,4);m01(2,4);m01(3,4)];
1574 p22 = [m02(1,4);m02(2,4);m02(3,4)];
1575 p33 = [m03(1,4);m03(2,4);m03(3,4)];
1576 p44 = [m04(1,4);m04(2,4);m04(3,4)];
1577 p55 = [m05(1,4);m05(2,4);m05(3,4)];
1578 p5p = [m0p(1,4);m0p(2,4);m0p(3,4)];
1579
1580 %Punkte darunter fuer den Bildschirm %
1581
1582 px=[ptx(1);ptx(1)];
1583 py=[ptx(2);ptx(2)];
1584 pz=[ptx(3);ptx(3)];
1585 c2x=[ptd(1);p11(1)];
1586 d2y=[ptd(2);p11(2)];
1587 d2z=[ptd(3);p11(3)];
1588 l1x=[p11(1);p22(1)];
1589 l1y=[p11(2);p22(2)];
1590 l1z=[p11(3);p22(3)];
1591 l2x=[p22(1);p33(1)];
1592 l2y=[p22(2);p33(2)];
1593 l2z=[p22(3);p33(3)];
1594 l3x=[p33(1);p44(1)];
1595 l3y=[p33(2);p44(2)];
1596 l3z=[p33(3);p44(3)];
1597 l4x=[p44(1);p55(1)];
1598 l4y=[p44(2);p55(2)];
1599 l4z=[p44(3);p55(3)];
1600 lpx=[p55(1);p5p(1)];
1601 lpy=[p55(2);p5p(2)];
1602 lpz=[p55(3);p5p(3)];
1603
1604
1605 %CADTCA
1606
1607
1608

```

```

1609
1610 Substituir as las constantes c1,c1,s2,s2,s3,s3,... del la Capmo
1611
1612 s1c=sin(C1C);
1613 s1c=cos(C1C);
1614 s2c=sin(C2C);
1615 s2c=cos(C2C);
1616
1617
1618 pel=[t11 t12 t13 Xf];c=exp;
1619   t21 t22 t23 Ye;
1620   .31 t32 t33 ze;
1621   0 0 0 1];
1622
1623 AT0 = pel*[1 0 0 0;
1624   0 sqrt(.5) -sqrt(.5) 0;
1625   0 sqrt(.5) sqrt(.5) 0;
1626   0 0 0 1];
1627
1628
1629 ATC = [1 0 0 0;
1630   0 1 0 0;
1631   0 0 1 L3;
1632   0 0 0 1];
1633
1634 ATC = [1 0 0 0;
1635   0 1 0 0;
1636   0 0 1 L2;
1637   0 0 0 1];
1638
1639 AT2C = [1 0 0 L1;
1640   0 1 0 0;
1641   0 0 1 0;
1642   0 0 0 1];
1643 %Matrices de rotacion
1644
1645 Rx0 = [1 0 0 0;
1646   0 0 -1 0;
1647   0 1 0 0;
1648   0 0 0 1];
1649
1650 Ry0 = [0 0 1 0;
1651   0 1 0 0;
1652   -1 0 0 0;
1653   0 0 0 1];
1654
1655
1656 %INICIO DE ELEMENTOS DEL ROBO MDO
1657
1658 TCC1 = [clc -clc 0 0;
1659   clc clc 0 0;
1660   0 0 1 0;
1661   0 0 0 1];
1662

```

```

1663 T012 = "s2c -s2c 0 0";
1664      0 0 1 0;
1665      s2c -s2c 0 0;
1666      0 0 0 1;";
1667
1668
1669 * matriz de C a Cada punto de Renet
1670 mepc = Mep*AT0;
1671 m0CC = Mep*AT0*AIC;
1672 m0IC = AT0*AT0*T001;
1673 m02C = AT0*AT0*T001*T012;
1674 m1C = AT0*AT0*T001*T012*RAC*RYC*A2C;
1675 m22C = AT0*AT0*T001*T012*RAC*RYC*A2C*A22C;
1676
1677 terminacion de variables
1678
1679 p0pc = [mepc(1,1);mepc(2,4);mepc(3,4)];
1680 p00c = [m00C(1,4);m00C(2,4);m00C(3,4)];
1681 p11c = [m01C(1,4);m01C(2,4);m01C(3,4)];
1682 p22c = [m02C(1,4);m02C(2,4);m02C(3,4)];
1683 p2c = [m2C(1,4);m2C(2,4);m2C(3,4)];
1684 p2cc = [m22C(1,4);m22C(2,4);m22C(3,4)];
1685 % Para citar las variables
1686 lpxC=[p0pc(1) p00c(1)];
1687 lpyC=[p0pc(2) p00c(2)];
1688 lzcC=[p0pc(3) p00c(3)];
1689 l0xC=[p00c(1) c11c(1)];
1690 lCyC=[p00c(2) c11c(2)];
1691 lCzC=[p00c(3) p11c(3)];
1692 l1xC=[p11c(1) p22c(1)];
1693 l1yC=[p11c(2) p22c(2)];
1694 l1zC=[p11c(3) p22c(3)];
1695 l2xC=[p22c(1) p2c(1)];
1696 l2yC=[p22c(2) p2c(2)];
1697 l2zC=[p22c(3) p2c(3)];
1698 l22xC=[p2c(1) p2cc(1)];
1699 l22yC=[p2c(2) p2cc(2)];
1700 l22zC=[p2c(3) p2cc(3)];
1701
1702
1703
1704 * PC & posic* grados. Las posic de x, velocidad y aceleracion cesadas.
1705
1706
1707 time(i+1)= t*t/rpi;
1708
1709 PosDeseadas{1}{1}{1,:}=[Xc Zc Xpie Zpie];
1710 VelDeseadas{1}{1}{1,:}=[Xcp Zcp Xpiep Zpiepl];
1711 AccDeseadas{1}{1}{1,:}=[Xcpp Zcpp Xpiepp Zpiepp];
1712
1713 ValArticulares{j}{1}{1,:}=[Q1P Q2P Q3P Q4P Q5P Q6P];
1714 ValArticulares{j}{1}{-1,:}=[Q7P Q8P Q9P Q10P Q11P Q12P];
1715
1716 AccArticulares{j}{1}{1,:}=[Q1PP Q2PP Q3PP Q4PP Q5PP Q6PP];
1717 AccArticulares{j}{1}{-1,:}=[Q7PP Q8PP Q9PP Q10PP Q11PP Q12PP];

```

```

1718
1719
1720 %-----%
1721 % Para cada gráficas las posiciones, selecciónes y articulaciones
1722 % de cada simulación.
1723 %-----%
1724
1725
1726 if rem(i,2)==1 % Parte del paso 1,3,5...
1727   PosGlobales(k,:)= rad2deg([Q1 Q2 Q3 Q4 Q5 Q6]);
1728   PosGlobales2(k,:)= rad2deg([Q7 Q8 Q9 Q10 Q11 Q12]);
1729 else % Parte del paso 2,4,6...
1730   PosGlobales(k,:)= rad2deg([Q1 Q2 Q3 Q4 Q5 Q6]);
1731   PosGlobales2(k,:)= rad2deg([Q7 Q8 Q9 Q10 Q11 Q12]);
1732 end
1733
1734 if rem(j,2)==1 % Parte del paso 1,3,5...
1735   AccArticulares11(k,:)= rad2deg([Q1PP Q2PP Q3PP Q4PP Q5PP Q6PP]);
1736   AccArticulares22(k,:)= rad2deg([Q7PP Q8PP Q9PP Q10PP Q11PP Q12PP]);
1737 else
1738   Acc_Articulares11(k,:)= rad2deg([Q1PP Q2PP Q3PP Q4PP Q5PP Q6PP]);
1739   Acc_Articulares22(k,:)= rad2deg([Q7PP Q8PP Q9PP Q10PP Q11PP Q12PP]);
1740 end
1741
1742 timeTotal(k)= T^k(k-1)/np;
1743
1744 k=k+1;
1745
1746
1747 %-----%
1748 %-----% CORRELACION DE LOS GRÁFICOS
1749
1750 figure(1);
1751 clf
1752 hold on
1753
1754 %-----% MANO DERECHA %-----%
1755 plot3(pixD,piyD,pizD,'s',c2xD,c2yD,c2zD,'<',1xD,1yD,1zD,'b-');
1756 plot3(12xD,12yD,12zD,'k-o',13xD,13yD,13zD,'x--',14xD,14yD,14zD,'k-');
1757 plot3(1pxD,1pyD,1pzD,'k-o','LineWidth',2)
1758
1759
1760 %-----% MANO IZQUIERDA %-----%
1761
1762 plot3(pix,piy,piz,'k',d2z,d2y,d2x,'k',l1x,l1y,l1z,'b-o',12x,12y,12z,'k-');
1763 plot3(13x,13y,13z,'k-o',14x,14y,14z,'k-o',2px,2py,2pz,'k-o','LineWidth',2)
1764
1765
1766 %-----% CINTA %-----%
1767
1768
1769

```

```

1770 plot3(lpxC, lpyC, lpzC, 'r', 10xC, 10yC, 10zC, 'g', 11xC, 11yC, 11zC, 'b-
1771 -', 12xC, 12yC, 12zC, 'k-o', 122xC, 122yC, 122zC, 'r-o', 'lineal', 2)
1772
1773 %----- PANTALLA VISTAS -----
1774
1775 plot3(10xPD, 10yPD, 10zPD, 'k-o', 11xPD, 11yPD, 11zPD, 'k-o', 12xPD, 12yPD, 'k-
1776 -o', 13xPD, 13yPD, 13zPD, 'k-o', 14xPD, 14yPD, 14zPD, 'k-o', 15xPD, 15yPD, 15zPD, 'k-
1777 -o', 16xPD, 16yPD, 16zPD, 'k-o', 17xPD, 17yPD, 17zPD, 'k-o', 18xPD, 18yPD, 18zPD, 'k-
1778 -o', 19xPD, 19yPD, 19zPD, 'k-o', 110xPD, 110yPD, 110zPD, 'k-
1779 -o', 111xPD, 111yPD, 111zPD, 'k-o', 112xPD, 112yPD, 112zPD, 'k-o', 'lineal', 2)
1780
1781
1782 %----- VISTAS -----
1783
1784 % Configuracion de la ventana de visualizacion de la simulacion.
1785
1786 title('ROBOT MAC')
1787 xlabel('a'+'x')
1788 ylabel('a'+'y')
1789 zlabel('a'+'z');
1790 axis([-200,.300,-.400,.400,-3,.500])
1791 axis('square');
1792 view([0,0]);
1793 view([1,1,1])
1794 grid on
1795
1796
1797 end
1798
1799
1800 if rem(j,2) == 1
1801
1802
1803 b1ini = deg2rad(-80-10); %Es el angulo de inicial de la articulacion 1
1804 sb1 = 0.25; %Es la amplitud de la oscilacion de la articulacion 1 a partir de
1805 %esta
1806 Eb=1; % Es 1 si la oscilacion es hacia adelante y -1 si la oscilacion es hacia
1807 %atras
1808 K=1; % se hace igual a uno en el primer paso y en el ultimo paso
1809 Ts = 2*Tf; %Es el tiempo de ejecucion del desplazamiento angular
1810
1811
1812 b1ini2 = deg2rad(-100+10); %Es el angulo de inicial de la articulacion 2
1813 sb12 = 0.25; %Es la amplitud de la oscilacion de la articulacion 2 a partir de
1814 %esta
1815 Eb2=-1; % Es -1 si la oscilacion es hacia adelante y -1 si la oscilacion es hacia
1816 %atras
1817 K2=1; % de hace igual a uno en el primer paso y en el ultimo paso
1818
1819 else
1820
1821 b1ini = deg2rad(-80); %Es el angulo de inicial de la articulacion 1
1822 sb1 = 0.25; %Es la amplitud de la oscilacion de la articulacion 1 a partir
1823 %de esta

```

```

1824 Eb=1; % Es 1 si la articulación es hacia adelante y -1 si la articulación es
1825 hacia atrás
1826 Eb=1; % se hace igual a uno en el primer paso y en el último paso
1827 Ts = 2*T; %ts es periodo de ejecución del desplazamiento angular
1828
1829
1830 Rjiriz = deg2rad(-180); %Rr es angulo R, inicial de la articulación j
1831 Ebj2 = 0.25; %Ea la amplitud de la oscilación en la articulación j a
1832 mitad de su paso
1833 EbZ=1; % Es 1 si la articulación es hacia adelante y -1 si la articulación es
1834 hacia atrás
1835 Kj = 1 de cada igual a uno en el primer paso y en el último paso
1836 % Ts = 1*T; %ts si periodo de ejecución del desplazamiento angular
1837
1838 end
1839
1840
1841 % Desplazamiento del brazo fino
1842
1843 if rem(j,2)==1
1844     Xfijo = (j+8)/2;
1845     Yfijo = 0;
1846     Zfijo = 0;
1847 else
1848     Xfijo = (j+9)/2;
1849     Yfijo = 0;
1850     Zfijo = 0;
1851 end
1852
1853
1854
1855 end
1856
1857
1858 % Graficación de las trayectorias deseadas así como también de las
1859 % variaciones escalares de posición, velocidad y aceleración de cada
1860 % articulación durante todo su caminado.
1861
1862 i7 g'DesCad
1863 %Izque ('izqet','Trayectorias deseadas en X y Z en la cadera (para un
1864 % ciclo de caminado)'); % Aora figura 3
1865 subplot(3,2,1)
1866 plot(time,PosDeseadas(1) (:,1));
1867 xlabel('t');
1868 ylabel('Xc');
1869 subplot(3,2,3)
1870 plot(time,VelDeseadas(1) (:,1));
1871 xlabel('t');
1872 ylabel('Zcc');
1873 subplot(3,2,2)
1874 plot(time,AccDeseadas(1) (:,1));
1875 xlabel('t');
1876 ylabel('Xccp');
1877 subplot(3,2,2)

```

```

1878 plot(tine, PosDeseadas{1}(:,2));
1879 xlabel('z');
1880 ylabel('Zc');
1881 subplot(3,2,4)
1882 plot(tine, VelDeseadas{1}(:,2));
1883 xlabel('t');
1884 ylabel('Zcs');
1885 subplot(3,2,5)
1886 plot(tine, AccDeseadas{1}(:,2));
1887 xlabel('.');
1888 ylabel('Zapo');
1889 end
1890
1891 if qTDesPie
1892 figure ('name','Trayectorias deseadas en X y Y del pie (esta es la parte de
1893 caminado)');
1894 subplot(3,2,1)
1895 plot(tine, PosDeseadas{1}(:,3));
1896 xlabel('t');
1897 ylabel('Ran');
1898 subplot(3,2,3)
1899 plot(tine, VelDeseadas{1}(:,3));
1900 xlabel('t');
1901 ylabel('Rsep');
1902 subplot(3,2,5)
1903 plot(tine, AccDeseadas{1}(:,3));
1904 xlabel('t');
1905 ylabel('Rsep');
1906 subplot(3,2,2)
1907 plot(tine, PosDeseadas{1}(:,4));
1908 xlabel('t');
1909 ylabel('Rgle');
1910 subplot(3,2,4)
1911 plot(tine, VelDeseadas{1}(:,4));
1912 xlabel('t');
1913 ylabel('Rpsew');
1914 subplot(3,2,6)
1915 plot(tine, AccDeseadas{1}(:,4));
1916 xlabel('t');
1917 ylabel('Rgape');
1918 end
1919
1920
1921 if Vel_Articulares
1922 figure ('name','Velocidades articulares (en cada paso)');
1923 for j=1:nPasos
1924 rand1 = rand;
1925 rand2 = rand;
1926 rand3 = rand;
1927 for i=1:6
1928 subplot(3,6,i)
1929 hold on
1930 plot(zims,ValArticulares{j}(:,i),'Color',[rand1 rand2 rand3]);
1931 xlabel('t');
1932 ylabel(['\% int?str(i)]);
1933

```

```

1934     text(time(2+(j*3+2)),VelArticulares(j)(2-(j*3-3),1),int2str(j));
1935     subplot(3,6,6-i)
1936     hold on
1937     plot(time,VelArticulares2(j){:,i},'Color',[rand1 rand2 rand3]);
1938     xlabel(' ');
1939     ylabel(['t' time(2+(j*3-3)) int2str(6-i)]);
1940     text(time(2+(j*3+3)),VelArticulares2(j)(2+(j*3+3),i),int2str(j))
1941     hold on
1942 end
1943 end
1944 end
1945
1946
1947
1948 if AcelArticulares
1949   figure ('name','Posiciones articulares (en cada paso)');
1950   for j=1:nPasos
1951     rand4 = rand;
1952     rand5 = rand;
1953     rand6 = rand;
1954     for i=1:6
1955       subplot(4,6,i)
1956       hold on
1957       plot(time,AcelArticulares{j}{:,i}, 'Color',[rand4 rand5 rand6]);
1958       xlabel('t');
1959       ylabel(['t' time(2+(j*3-3)) int2str(i)]);
1960       text(time(2+(j*3-3)),AcelArticulares{j}(2-(j*3-3),i),int2str(j))
1961       subplot(4,6,6+i)
1962       hold on
1963
1964       plot(time,AcelArticulares{j}{:,i}, 'Color',[rand4 rand5 rand6]);
1965       xlabel(' ');
1966       ylabel(['t' time(2+(j*3-3)) int2str(6+i)]);
1967       text(time(2+(j*3-3)),AcelArticulares{j}(2+(j*3-3),i),int2str(j))
1968       hold on
1969
1970   end
1971 end
1972 end
1973 end
1974
1975
1976 if gPosContinua
1977   figure ('name','Posiciones en cada sección durante todo el ejercicio');
1978   rand1 = rand;
1979   rand2 = rand;
1980   rand3 = rand;
1981   for i=1:6
1982     names = '123456';
1983     subplot(3,2,i)
1984     plot(time_pos,PosGlobales{:,i}, 'Color',[rand1 rand2 rand3]);
1985     xlabel(' ');
1986     ylabel(['t' time_pos names(i)]);
1987   end
1988 end

```

```
1989
1990
1991 if gDnaContinua2
1992     figure ('name','Posiciones de cada talabón durante 1600 el recorrido');
1993     rand1 = rand;
1994     rand2 = rand;
1995     rand3 = rand;
1996     for i=1:6
1997         names = '11881311121';
1998         subplot(3,2,i)
1999         plot(timeTotal,PosGlobales2(:,i),'color',[rand1 rand2 rand3]);
2000         xlabel('t');
2001         ylabel(['\t\tDNA_ ' names(i)]);
2002     end
2003 end
2004
2005
```